



รายงานการวิจัย

การเตรียมและการดูดซึบของถ่านกัมมันต์จากไม้

Preparation and Adsorption of Wood-Based Activated Carbon

ได้รับทุนอุดหนุนการวิจัยจากมหาวิทยาลัยเทคโนโลยีสุรนารี

ปีงบประมาณ พ.ศ. 2550

ผลงานวิจัยเป็นความรับผิดชอบของหัวหน้าโครงการวิจัยแต่เพียงผู้เดียว

กิตติกรรมประกาศ

คณะผู้วิจัยขอบคุณ

- มหาวิทยาลัยเทคโนโลยีสุรนารี ที่ให้การสนับสนุนทุนอุดหนุนการวิจัยประจำปีงบประมาณ พ.ศ. 2550 สำหรับโครงการวิจัยนี้
- ศูนย์เครื่องมือวิทยาศาสตร์และเทคโนโลยี มหาวิทยาลัยเทคโนโลยีสุรนารี
- ผู้ช่วยวิจัย ได้แก่ น.ส. บุญรัตน์ เงินเย็น และ น.ส. สุพรรณา จันทร์กิริมณฑ์

บทคัดย่อ

งานวิจัยนี้มุ่งศึกษาการเตรียมถ่านกัมมันต์จากไม้ขุкалิปตัส โดยใช้วิธีกระตุ้นทางเคมีด้วยกรดฟอสฟอริก โดยได้ศึกษาผลของสภาวะการเตรียมในช่วงของอุณหภูมิการรับอุ่นซึ่ง $300-600^{\circ}\text{C}$ อัตราส่วนสารเคมีต่อวัตถุคิด $0.5:1-2:1$ โดยน้ำหนัก และเวลาการแข่ฟาร์เคมี $0.5-2$ ชั่วโมง จากผลการศึกษา พบว่าการเพิ่มขึ้นของระดับตัวแปรของสภาวะการเตรียมทำให้ได้ร้อยละผลผลิตของถ่านกัมมันต์ลดลง แต่พื้นที่ผิวและปริมาตรรูพุนนมีค่าเพิ่มขึ้น และมีค่าสูงสุดที่อุณหภูมิการรับอุ่นซึ่งเท่ากับ 400°C อัตราส่วนสารเคมีต่อวัตถุคิดเท่ากับ $1.5:1$ และเวลาการแข่ฟาร์เคมีเท่ากับ 1.5 ชั่วโมง ซึ่งจากการเตรียมที่สภาวะนี้ ได้ผลผลิตถ่านกัมมันต์ร้อยละ 41.8 พื้นที่ผิวจำเพาะเท่ากับ $1,857 \text{ m}^2/\text{g}$ และปริมาตรรูพุนรวมเท่ากับ $1.22 \text{ cm}^3/\text{g}$ เมื่อนำถ่านกัมมันต์ที่เตรียมได้จำนวน 2 ตัวอย่างที่มีความแตกต่างกันของพื้นที่ผิวและปริมาณหมู่ฟังก์ชันกรดรวมไปทดสอบการคุณภาพ ไอลินี พบร่วมกัน การคุณภาพไอลินีเข้มข้นกับปริมาณหมู่ฟังก์ชันกรดและลักษณะความพรุนของถ่านกัมมันต์ ลดลงตามความคันบอยไอลินี นั่นคือที่ความคันไอลินีต่ำ ความหนาแน่นของหมู่ฟังก์ชันกรดบนพื้นผิวถ่านกัมมันต์ เป็นตัวแปรสำคัญต่อการคุณภาพไอลินี โดยถ้ามีความหนาแน่นอยู่มากจะทำให้คุณภาพไอลินีได้นำากและในอัตราที่เร็วกว่า แต่ที่ความคันไอลินีสูง ค่าพื้นที่ผิวและลักษณะความพรุนของถ่านกัมมันต์เป็นตัวแปรที่สำคัญต่อการคุณภาพ โดยถ้ามีพื้นที่ผิวนากกว่าและรูพุนขนาดใหญ่กว่าจะสามารถลดคุณภาพไอลินีได้นำากกว่า

คำสำคัญ: ไม้ขุкалิปตัส, ถ่านกัมมันต์, การกระตุ้นทางเคมี, การคุณภาพ

Abstract

This research project aims to prepare activated carbon from eucalyptus wood by chemical activation using phosphoric acid. The preparation conditions studied are in the range of carbonization temperature 300-600°C, chemical ratio 0.5:1-2:1 and chemical impregnation time 0.5-2 h. The results indicated that the increasing level of preparation parameters decreased the yield of activated carbon but increased its porous properties, namely surface area and pore volume. These porous properties reached the maximum at the carbonization temperature 400°C, chemical ratio 1.5:1 and chemical impregnation time of 1.5 h, giving the BET surface area and total pore volume of 1,857 m²/g and 1.22 cm³/g, respectively. Water adsorption tests were performed with two samples of prepared activated carbons having different porous properties and total acidic functional group. It was found that the amount of water adsorbed at low partial pressure increased with increasing content of acidic group. However, at higher pressures, water adsorption was controlled by carbon porous structure, that is, carbon with higher surface area and larger pore size could adsorb higher amount of water.

Keywords: Eucalyptus wood, Activated carbon, Chemical activation, Adsorption

สารบัญ

| | หน้า |
|--|------|
| กิตติกรรมประกาศ..... | ก |
| บทคัดย่อภาษาไทย..... | ๗ |
| บทคัดย่อภาษาอังกฤษ..... | ก |
| สารบัญ..... | ๔๑ |
| สารบัญตาราง..... | จ |
| สารบัญรูป..... | ฉ |
| บทที่ ๑ บทนำ | |
| 1.๑ ความสำคัญและที่มาของปัญหาการวิจัย..... | ๑ |
| 1.๒ วัตถุประสงค์ของการวิจัย..... | ๓ |
| 1.๓ ขอบเขตของการวิจัย..... | ๓ |
| 1.๔ ระเบียบวิธีวิจัย..... | ๔ |
| 1.๕ ประโยชน์ที่คาดว่าจะได้รับ..... | ๔ |
| บทที่ ๒ ทฤษฎีและงานวิจัยที่เกี่ยวข้อง | |
| 2.๑ ความรู้พื้นฐานเกี่ยวกับถ่านกัมมันต์..... | ๖ |
| 2.1.๑ วัสดุดินที่ใช้ผลิตถ่านกัมมันต์..... | ๖ |
| 2.1.๒ โครงสร้างถ่านกัมมันต์..... | ๙ |
| 2.1.๓ วิธีการผลิตถ่านกัมมันต์..... | ๑๓ |
| 2.๒ การคุณชัน..... | ๑๗ |
| 2.2.๑ โภชนาการของการคุณชัน..... | ๑๗ |
| 2.2.๒ การคุณชันไอน้ำ..... | ๒๑ |
| 2.๓ งานวิจัยที่เกี่ยวข้อง..... | ๒๑ |
| บทที่ ๓ วิธีดำเนินงานวิจัย | |
| 3.๑ อุปกรณ์และเครื่องมือ..... | ๒๔ |
| 3.๒ วัสดุและสารเคมี..... | ๒๔ |
| 3.๓ วิธีทดลอง..... | ๓๔ |
| 3.3.๑ การวิเคราะห์สมบัติของไม้ขุคลิปต์ส..... | ๓๔ |
| 3.3.๒ การเตรียมถ่านกัมมันต์จากไม้ขุคลิปต์สโดยวิธีกระตุ้นทางเคมี..... | ๓๔ |

| | |
|--|-----------|
| 3.3.3 การวิเคราะห์สมบัติของถ่านกัมมันต์..... | 34 |
| 3.3.4 การดูดซับไอน้ำด้วยถ่านกัมมันต์..... | 36 |
| บทที่ 4 ผลการทดลองและวิจารณ์ผล | |
| 4.1 ผลวิเคราะห์องค์ประกอบแบบประมาณ องค์ประกอบเซลลูโลส และการสลายตัวทางความร้อนของไม้ยูคาลิปตัส..... | 38 |
| 4.2 การเตรียมถ่านกัมมันต์จากไม้ยูคาลิปตัสโดยการกระตุ้นทางเคมี ด้วยกรดฟอฟอริก..... | 41 |
| 4.2.1 ผลของอุณหภูมิการบ่อในเซชัน..... | 41 |
| 4.2.2 ผลของอัตราส่วนสารเคมีต่อวัตถุดิน..... | 50 |
| 4.2.3 ผลของเวลาการแช่สารเคมี..... | 56 |
| 4.3 การดูดซับไอน้ำด้วยถ่านกัมมันต์ที่เตรียมได้..... | 61 |
| บทที่ 5 สรุปผลและข้อเสนอแนะ..... | 65 |
| บรรณานุกรม..... | 67 |
| ภาคผนวก ก. ประวัติผู้เขียน..... | 61 |

สารบัญรูป

| | หน้า | |
|-------------------|--|----|
| รูปที่ 2.1 | ลำดับขั้นแสดงโครงสร้างถ่านกัมมันต์..... | 10 |
| 2.2 | โครงสร้างของผลึกแกรไฟต์..... | 11 |
| 2.3 | หมู่ฟังก์ชันต่าง ๆ บนผิวของถ่านกัมมันต์..... | 12 |
| 2.4 | แผนผังสำหรับการผลิตถ่านกัมมันต์โดยทั่วไป..... | 15 |
| 2.5 | แผนผังแสดงการผลิตถ่านกัมมันต์ทั้งแบบกระตุ้นทางเคมีและกระตุ้นทางเคมี..... | 16 |
| 2.6 | ชนิดของไอโซเทิร์นการคุณชั้บ..... | 20 |
| 3.1 | เดาเพาแบบท่อที่ใช้เตรียมถ่านกัมมันต์..... | 25 |
| 3.2 | ตู้อบสาร..... | 26 |
| 3.3 | ชุดตะแกรงร้อน และเครื่องเบย่าตะแกรง..... | 27 |
| 3.4 | เครื่องวัดค่าความเป็นกรดด่าง..... | 28 |
| 3.5 | เครื่องวิเคราะห์ทางความร้อน (TGA)..... | 29 |
| 3.6 | กล้องจุลทรรศน์แบบส่องกล้อง (SEM)..... | 30 |
| 3.7 | เครื่องวัดพื้นที่ผิวและช่วงนาครูพrun (ASAP2010)..... | 31 |
| 3.8 | เครื่องวิเคราะห์ไฮโซเทิร์นการคุณชั้บสถานะแก๊สบริชไอ (IGA)..... | 32 |
| 3.9 | ไม้ขุคลิปดัสด(ก)ในสภาพเป็นชิ้นใหญ่(ข)ในสภาพลดขนาด..... | 33 |
| 3.10 | แผนผังเครื่อง Intelligent Gravimetric Analyzer (IGA)..... | 37 |
| 4.1 | ร้อยละน้ำหนักที่เหลืออยู่และอัตราการหายไปของน้ำหนัก ในระหว่าง การไฟโรไลซิสไม้ขุคลิปดัสด..... | 40 |
| 4.2 | ภาพถ่าย SEM ที่กำลังขยาย 800 เท่า แสดงลักษณะพื้นผิวถ่านกัมมันต์จาก ไม้ขุคลิปดัสดกระตุ้นด้วยกรดฟอฟอริก เตรียมที่สภาพอุณหภูมิการรับอุ่นเชิง 400°C อัตราส่วนสารเคมีต่อวัตถุคิด 0.5:1 เวลาการแช่สารเคมี 1 ชั่วโมง..... | 43 |
| 4.3 | ผลของอุณหภูมิการควรรับอุ่นซึ่งต่อร้อยละผลผลิตรวมของถ่านกัมมันต์..... | 45 |
| 4.4 | ไฮโซเทิร์นการคุณชั้บแก๊สในโตรเรนที่อุณหภูมิ -196°C ของถ่านกัมมันต์ที่เตรียม จากสภาพต่างๆ เพื่อศึกษาผลของ อุณหภูมิการควรรับอุ่น..... | 46 |
| 4.5 | สมบัติความพรุน (ก) พื้นที่ผิว และ (ข) ปริมาตรรูพรุนแบ่งตามขนาดต่างๆของ ถ่านกัมมันต์ที่เตรียมจากสภาพอุณหภูมิการรับอุ่นซึ่งแตกต่างกัน..... | 47 |

สารบัญรูป (ต่อ)

| | หน้า |
|--|------|
| 4.6 กลไกการเกิดโครงข่ายฟอสฟेट (ก) เกิดฟอสเฟตออสเทอร์ (ข) เกิดโพลิฟอสเฟตจากปฏิกิริยาระหว่างเซลลูลาสและกรดฟอสฟอริก ที่อุณหภูมิสูง | 48 |
| 4.7 กลไกการแตกหักของโครงข่ายฟอสฟेट ที่อุณหภูมิสูงกว่า 450°C | 49 |
| 4.8 ผลของอัตราส่วนสารเคมีต่อวัตถุคิบต่อร้อยละผลผลิตรวมของถ่านกัมมันต์..... | 53 |
| 4.9 ไอโซเทิร์มการคุณชันแก๊สในไตรเจนที่อุณหภูมิ -196°C ของถ่านกัมมันต์ที่เตรียมจากสภาพะต่างๆ เพื่อศึกษาผลของ อัตราส่วนสารเคมีต่อวัตถุคิบ..... | 54 |
| 4.10 สมบัติความพรุน (ก) พื้นที่ ผิว และ (ข) ปริมาตรรูพรุนเบ่งตามขนาดต่างๆของถ่านกัมมันต์ที่เตรียมจากสภาพะต่างๆเพื่อศึกษาผลของ อัตราส่วนสารเคมีต่อวัตถุคิบแตกต่างกัน..... | 55 |
| 4.11 ผลของเวลาการแข็งสารเคมีต่อร้อยละผลผลิตรวมของถ่านกัมมันต์..... | 58 |
| 4.12 ไอโซเทิร์มการคุณชันแก๊สในไตรเจนที่อุณหภูมิ -196°C ของถ่านกัมมันต์ที่เตรียมจากสภาพะต่างๆ เพื่อศึกษาผลของเวลาการแข็งสารเคมี..... | 59 |
| 4.13 สมบัติความพรุน (ก) พื้นที่ ผิว และ (ข) ปริมาตรรูพรุนเบ่งตามขนาดต่างๆของถ่านกัมมันต์ที่เตรียมจากสภาพะต่างๆการแข็งสารเคมีแตกต่างกัน..... | 60 |
| 4.14 ไอโซเทิร์มการคุณชัน ไอ้น้ำที่ 30°C ของถ่านกัมมันต์จากไม้ยูคาลิปตัสที่มีสมบัติรูพรุนต่างกัน และถ่านกัมมันต์ทางการค้า..... | 64 |

บทที่ 1

บทนำ

1.1 ความสำคัญและที่มาของปัญหาการวิจัย

ถ่านกัมมันต์จัดเป็นสารอุดชับที่มีพื้นที่ผิวและรูพรุนสูง ซึ่งผลิตได้จากการน้ำวัตถุดินที่มีคาร์บอนเป็นองค์ประกอบหลัก เช่น ถ่านหิน ภัลามะพร้าว ชานอ้อyx และไม้ เป็นต้น นาผ่านกระบวนการก่อถ่านมันต์ (Activation) ทำให้เกิดโครงสร้างที่มีรูพรุนจำนวนมาก ส่งผลให้มีพื้นที่ผิวภายในเพิ่มมากขึ้น จึงเป็นวัสดุพิเศษที่มีความสามารถในการอุดชับสูงและถูกนำไปประยุกต์ใช้เป็นสารอุดชับในอุตสาหกรรมประเภทต่างๆ อุตสาหกรรมอาหาร เช่น อุตสาหกรรมน้ำผลิต อาหารและเครื่องดื่ม ตลอดจนอุตสาหกรรมชุมชนเลื่อนโลหะ สังกะ การกำจัดสารพิษต่างๆ และอื่นๆอีกมาก

กระบวนการผลิตถ่านกัมมันต์โดยทั่วไปมี 2 วิธี ได้แก่ วิธีใช้อุณหภูมิสูง ($800\text{-}1000^{\circ}\text{C}$) ด้วยกระบวนการออกซิเดชัน เรียกว่า วิธีการกระตุ้นทางกายภาพ (Physical Activation) โดยสารออกไซด์ที่ใช้มาก ได้แก่ ไอโน้และแแก๊สคาร์บอนไดออกไซด์ ส่วนอีกวิธีหนึ่งเป็นวิธีที่ใช้อุณหภูมิต่ำกว่า ($300\text{-}600^{\circ}\text{C}$) ด้วยกระบวนการคีไฮเดรชัน (Dehydration) เรียกว่า วิธีกระตุ้นทางเคมี (Chemical Activation) สารเคมีที่ใช้มากได้แก่ ซิงค์คลอไรด์ (ZnCl_2) โพแทสเซียมไฮดรอกไซด์ (KOH) และกรดฟอสฟอริก (H_3PO_4) ด้วยถ่านวัตถุดินที่นำมาใช้ในการผลิตถ่านกัมมันต์ ได้แก่ ถ่านหิน ไม้ ชาน ข้อบ 以及ภัลามะพร้าว เป็นต้น ในประเทศไทยมีการใช้ถ่านกัมมันต์ในปริมาณมาก แม้ว่ามีการผลิตถ่านกัมมันต์ในระดับอุตสาหกรรมอยู่บ้างแต่ไม่พอเพียง จึงมีแนวโน้มในการนำเข้าเพิ่มขึ้นทุกปี ด้วยจำนวนที่นำเข้าในปี พ.ศ. 2547 มีการนำเข้าถ่านกัมมันต์คิดเป็นมูลค่ารวม 540 ล้านบาท โดยนำเข้าจากประเทศสหรัฐอเมริกามากที่สุดคิดเป็นสัดส่วน 32%⁽¹⁾

จากรายงานการใช้ถ่านกัมมันต์ที่เพิ่มขึ้น พบว่าการใช้ประโยชน์ถ่านกัมมันต์ในกลุ่มประเทศไทยพัฒนาแล้ว มีการเติบโตในตลาดที่เกี่ยวข้องกับยาและวัสดุทางการแพทย์เป็นส่วนใหญ่ ส่วนในกลุ่มประเทศที่กำลังพัฒนาจะเกี่ยวข้องกับการใช้งานในประเด็นสิ่งแวดล้อม โดยส่วนใหญ่ เช่น กระบวนการบำบัดน้ำ กระบวนการบำบัดแก๊สที่ปล่อยออก และกระบวนการบำบัดของเสีย นอกจากนี้ การใช้งานที่เป็นที่นิยมมากขึ้นคือนำมาเป็นวัสดุการกรองในyanathanate ต่างๆ โดยเฉพาะเพื่อการกรองอากาศในห้องโดยสารรถยนต์⁽²⁾ นอกจากนี้ประโยชน์ของถ่านกัมมันต์อีกอย่างหนึ่งที่น่าสนใจในอนาคตคือ การเป็นวัสดุกักเก็บสมัยเท็นเพื่อใช้เป็นเครื่องเพลิงให้กับยานยนต์⁽³⁾

ในปี ก.ศ. 2005 มีการรายงานว่าปริมาณถ่านกัมมันต์ที่ใช้ทั่วโลกมีประมาณ 970,000 ตัน⁽²⁾ ตามรายงานดังกล่าวมีสัดส่วนการใช้ถ่านกัมมันต์แบ่งตามเขตพื้นที่ทั่วโลก แสดงดังตารางที่ 1.1 นอกจากนี้มีการประเมินว่า จะมีการใช้ถ่านกัมมันต์เพิ่มขึ้นปีละ 5% และในปี ก.ศ. 2010 ปริมาณถ่านกัมมันต์ที่ใช้ทั่วโลกจะมากกว่า 1.2 ล้านตัน ในส่วนของผู้ผลิตถ่านกัมมันต์ในระดับอุตสาหกรรม

มีมากกว่า 150 บริษัททั่วโลก ซึ่งในกลุ่มนี้บริษัทที่เป็นพื้นฐานคือ Calgon, Norit, MeadWestvaco, PICA, CECA, Kurary และ Takeda เป็นต้น

ถ่านกัมมันต์มีสมบัติในการดูดซับสารต่างๆได้ดี ทั้งสารที่อยู่ในสารละลายน้ำและแก๊สเนื้องจากสมบัติโครงสร้างรูปrunที่มีการกระขับรูปrunขนาดต่างๆ ทำให้มีพื้นที่ผิวสัมผัสดูง จากการศึกษาพบว่า ถ่านกัมมันต์ที่ผลิตมาจากวัตถุดินที่ต่างกัน และมีกระบวนการผลิตและกระบวนการกระดูกที่ต่างกัน ส่งผลให้สมบัติของถ่านกัมมันต์มีความแตกต่างกัน⁽⁴⁾ จึงทำให้ถ่านกัมมันต์แต่ละชนิดมีข้อจำกัดในการใช้งาน โดยจากข้อจำกัดของการใช้งานที่เกิดขึ้น และจากการที่ถ่านกัมมันต์ผลิตได้จากวัตถุดินหลากหลายชนิด จึงทำให้มีการศึกษาตื้นกว่า เพื่อผลิตถ่านกัมมันต์พร้อมกับพัฒนาสมบัติพื้นคิว ให้เหมาะสมกับการใช้งานอย่างต่อเนื่อง⁽⁵⁻¹²⁾

เนื่องจากพื้นผิวของถ่านกัมมันต์มีอะตอมของคาร์บอนที่อิเล็กตรอนไม่ครบแปด เป็นเหตุให้อะตอมของคาร์บอนบนพื้นผิวเป็นอะตอมที่ว่างไว จึงสามารถดูดซับทางเคมี กับธาตุอื่นๆ เช่น ออกซิเจน ในโตรเจน ไออกไซเจน คลอริน และชัลฟอร์ เป็นต้น เพื่อให้เสียรูป ดังนั้นพื้นผิวถ่านกัมมันต์จึงมีสมบัติเฉพาะตัว เช่น เป็นกลาง หรือ กรด หรือเบส ขึ้นกับการมีชาตุอื่นๆหรือหมุนฟังก์ชันชนิด ใดบนพื้นผิว ดังนั้น การปรับปรุงสมบัติพื้นผิวของถ่านกัมมันต์เป็นสิ่งจำเป็น หากต้องการใช้งานเฉพาะเจาะจงแต่ละประเภทต่างกัน หรือต้องการให้มีความสามารถในการดูดซับได้ดียิ่งขึ้น จึงทำโดยการลดหรือเพิ่มอะตอมของชาตุบางชนิดที่สร้างพันธะเคมีบนพื้นผิวถ่านกัมมันต์ ซึ่งจะส่งผลให้สมบัติพื้นผิวต่างกันออกไป โดยทำให้ความสามารถในการดูดซับแตกต่างกันออกไปด้วย ซึ่งหมุนฟังก์ชันที่มีออกซิเจนเป็นองค์ประกอบมีหลากหลาย เช่น Carboxylic, Phenolic, Lactone, Anhydride ทำให้สมบัติพื้นผิวของถ่านกัมมันต์แสดงสมบัติเบส เป็นต้น การเพิ่มหมุนฟังก์ชันที่มีออกซิเจนเป็นองค์ประกอบเพื่อทำให้สมบัติพื้นผิวเป็นกรดนั้น จะช่วยเพิ่มความสามารถเป็นขั้วลบ ได้มากขึ้น ทำให้ถ่านกัมมันต์มีสมบัติการแลกเปลี่ยนไอออนประจุบวก (cation exchange) ได้ดี ส่วนการลดหมุนฟังก์ชันที่มีออกซิเจนเป็นองค์ประกอบ หรือทำให้สมบัติพื้นผิวของถ่านกัมมันต์มีสมบัติเป็นเบส จะมีสมบัติการแลกเปลี่ยนไอออนประจุลบ (anion exchange) ได้ดี เป็นต้น

เนื่องจากโครงสร้างทางรูปrunตลอดงานสมบัติพื้นผิวของถ่านกัมมันต์ ขึ้นกับชนิดของวัตถุดิน วิธีการผลิต และกระบวนการกระดูก ตลอดจนวิธีการปรับปรุงสมบัติพื้นผิวตั้งกล่าวข้างต้น งานวิจัยนี้ จึงเริ่มต้นด้วยการเตรียมถ่านกัมมันต์ โดยใช้วัสดุเดียวไม่ได้เริ่ว ที่มีราคาถูก ปูดกได้แพร่หลายในภาคอีสาน เช่น ไม้บุด้า ลิปตัส ซึ่งมีรายงานวิจัยพบว่า ไม้สามารถใช้เตรียมถ่านกัมมันต์ได้ดี⁽⁵⁻⁷⁾ โดยสามารถเตรียมได้โดยการกระดูกทางภาษาภาพ และวิธีทางเคมี จากนั้นจะทำการศึกษา การปรับปรุงสมบัติพื้นผิว เพื่อให้มีหมุนฟังก์ชัน ที่มีออกซิเจนเป็นองค์ประกอบมากขึ้น เมื่อจากพบในรายงานวิจัยต่างๆ⁽⁸⁻¹²⁾ จึงกระบวนการปรับปรุงสมบัติพื้นผิว โดยทำให้ถ่านกัมมันต์มีความสามารถในการดูดซับ

ที่เฉพาะเจาะจงและคุณชั้นได้ดียิ่งขึ้น เนื่อง มีความสามารถในการดูดซับไอก้อนของโลหะหนัก สีเข้ม และสารอินทรีย์ที่มีขี้ร่วนต่างๆ ได้ดียิ่งขึ้น

ตารางที่ 1.1 สัดส่วนปริมาณการใช้ถ่านกัมมันต์ทั่วโลก⁽³⁾

| Region | Percent of activated carbon used |
|----------------|----------------------------------|
| Asia/Pacific | 52 |
| North America | 26 |
| Western Europe | 13 |
| Others | 9 |

1.2 วัสดุประสงค์ของการวิจัย

- เพื่อหาสาเหตุที่เหมาะสมในการผลิตถ่านกัมมันต์จากไม้ยูคาลิปตัสด้วยวิธีการ กระตุ้นทางเคมี โดยใช้สารละลายกรดฟอสฟอริกที่อัตราส่วนต่อวัสดุคงตัว 2:1 และอุณหภูมิที่ต้องกันเพื่อให้ได้ถ่านกัมมันต์ที่มีปริมาตรรูพุนและพื้นที่ผิวสูง
- เพื่อวิเคราะห์สมบัติพื้นที่ผิวและลักษณะรูพุนของถ่านกัมมันต์ที่เตรียมได้
- ศึกษาสมบัติความสามารถในการดูดซับของถ่านกัมมันต์ โดยใช้อินโน้ปีนสารถูกดูดซับ

1.3 ขอบเขตของการวิจัย

- วัสดุชีวมวลที่ใช้คือ ไม้ยูคาลิปตัส ซึ่งนำมาสับและบดให้มีขนาดเล็ก จากนั้นทำการตัดขนาดตัวบุคคลตามร่องร่อง
- วิธีการกระตุ้นทางเคมีใช้สารละลายกรดฟอสฟอริก และทำการคั่นอ่อนซึ่นเดาแพแบบท่อในแนวนอน ในบรรยายของแก๊สในโตรเจน
- ถ่านกัมมันต์ที่เตรียมได้ จะนำมาทำการวิเคราะห์สมบัติพื้นที่ผิวและลักษณะรูพุนโดยใช้ เครื่อง Surface Area Analyzer (ASAP 2010, Micromeritics)
- ศึกษาสมบัติการดูดซับของถ่านกัมมันต์ด้วยอินโน้ปีนสารโดยใช้เครื่อง Intelligent Gravimetric Analyzer (IGA)

1.4 ระเบียบวิธีวิจัย

1. นำเคมีไม้ยูคาลิปตัสมาสับและบดเป็นชิ้นเล็ก และนำมาคั่วขนาดต่างๆแล้วนำไปป้อนให้แห้งที่ 100°C เป็นเวลา 24 ชั่วโมง
2. นำไม้ยูคาลิปตัสที่ได้จากข้อ 1 แข็งในสารละลายกรดฟอสฟอริกที่มีความเข้มข้นตามกำหนด โดยเชื่อมเวลาที่กำหนด แล้วนำไปป้อนให้แห้ง
3. ทำการกรองอินซีไม้ยูคาลิปตัสที่ได้จากข้อ 2 ภายใต้ สภาพบรรยายกาศในไตรเจน ที่ อุณหภูมิต่าง ๆ ตามกำหนดและเวลา 1 ชั่วโมง
4. ถังสารเคมีที่ซึ้งติดอยู่ในถ่านกัมมันต์ดูดน้ำกักลั่นจนกว่า pH จะคงที่
5. อบถ่านกัมมันต์ให้แห้ง แล้วเก็บไว้ในโถดูดความชื้น
6. วิเคราะห์พื้นที่ผิวและปริมาตรรูพุนถ่านกัมมันต์ โดยเครื่อง Surface Area Analyzer (ASAP 2010)
7. วิเคราะห์สมบัติการดูดซับไอน้ำด้วยเครื่อง Intelligent Gravimetric Analyzer (IGA)
8. สรุปผลการทดลองงานวิจัย
9. เผยแพร่รายงานการวิจัย

1.5 ประโยชน์ที่คาดว่าจะได้รับ

งานวิจัยนี้สามารถ เตรียมถ่านกัมมันต์จากวัสดุเศษไม้ยูคาลิปตัสซึ่งเป็นวัสดุที่หาได้จำกัดและมี ราคาถูก และมีสมบัติพื้นที่ผิวและรูพุนสูง และมีความสามารถในการดูดซับได้ดี ซึ่งจะเป็นแนวทาง ให้มี การนำผลวิจัยไปใช้ประโยชน์ได้ดังนี้

1. ได้ทราบสภาวะเสื่อมไปที่เหมาะสมในการเตรียมถ่านกัมมันต์ ที่มีพื้นที่ผิวและรูพุนสูง ซึ่งมี ความจำเพาะในการดูดซับสารสูง
2. ได้ถ่านกัมมันต์ที่สามารถนำไปใช้งานดูดซับได้ดี ซึ่งผลของงานวิจัยนี้จะเป็นการเพิ่มคุณค่า ให้กับวัสดุชีวมวลและกำจัดวัสดุเหลือใช้ และเพิ่มพูนค่าให้กับถ่านกัมมันต์ที่มีคุณภาพสูง และราคาย่อมเยา หากมีการนำผลวิจัยไปขยายการผลิตถ่านกัมมันต์ไปถึงระดับอุตสาหกรรม ก็ สามารถลดการขาดดุลทางเศรษฐกิจอันเนื่องมาจากการนำเข้าถ่านกัมมันต์ในปริมาณสูงได้
3. ได้ช่วยพัฒนาให้มีนักวิจัยรุ่นใหม่ที่มีประสบการณ์การวิจัยและมีศักยภาพการท้าวเวิจัยสูงขึ้น จากโครงการนี้ โดยเป็นองค์ความรู้ในการวิจัยต่อไปให้กับ กลุ่มวิจัยถ่านกัมมันต์ สาขาวิชา เคมี สำนักวิชาวิทยาศาสตร์ และ สาขาวิศวกรรมเคมี สำนักวิศวกรรมศาสตร์ มหาวิทยาลัย เทคโนโลยีสุรนารี และมหาวิทยาลัยอื่นๆ ที่มีกุญแจวิจัยเรื่องเกี่ยวกับถ่านกัมมันต์และสารดูด ซับชนิดอื่นๆ
4. นอกจากนี้ยังสามารถให้บริการความรู้แก่ประชาชนและภาคธุรกิจได้โดย ให้คำปรึกษาได้ใน ด้านการผลิตถ่านกัมมันต์จากไม้และวัสดุชีวมวลต่างๆ และการปรับปรุงสมบัติถ่านกัมมันต์

ให้มีประสิทธิภาพสูงขึ้น ซึ่งจะนำไปสู่การผลิตเชิงพาณิชย์ โดยข้อมูลที่ได้จากการวิจัยนี้ สามารถนำไปทำการทดลองต่อไปอีกเพื่อขยายระดับการผลิตที่ใหญ่ขึ้นในระดับอุตสาหกรรมต่อไปได้ หรือเพิ่มประสิทธิภาพในการผลิตได้

บทที่ 2

ทฤษฎีและงานวิจัยที่เกี่ยวข้อง

2.1 ความรู้พื้นฐานเกี่ยวกับถ่านกัมมันต์

ถ่านกัมมันต์ (Activated carbon หรือ Active carbon) เป็นวัสดุที่มีความพรุนและพื้นที่ผิวสูงมาก ซึ่งเป็นตัวคุดชักที่ดีทั้งในกระบวนการกรุดชักแก๊สและของเหลว ส่วนประกอบหลักคือการบอนเจิง จัดเป็นประเภทหนึ่งของการบอนอสัมธาน (Amorphous carbon) ผลิตได้จากการนำวัตถุดินที่มีคาร์บอนเป็นองค์ประกอบหลักมาถ่านกัมมันต์หรือกระตุ้น (Activation) เพื่อให้เกิดโครงสร้างรูพรุน โดยทั่วไปถ่านกัมมันต์มีสมบัติดังแสดงในตารางที่ 2.1

2.1.1 วัตถุดินที่ใช้ผลิตถ่านกัมมันต์

วัตถุดินที่ใช้ผลิตถ่านกัมมันต์โดยทั่วไปเป็นสารอินทรีย์ที่มีการบอนเป็นองค์ประกอบหลัก เช่น กลาโนฟาร์ว กลาปาลีน ถ่านหิน ไม้ ซังข้าวโพด ชานอ้อย เป็นต้น วัตถุดินที่ใช้ผลิตถ่านกัมมันต์ ที่มีคุณภาพดีขึ้นกับปัจจัยหลายอย่าง เช่น มีปริมาณการบอนสูง มีปริมาณเดาต่า มีความหนาแน่นสูง และราคาถูก เป็นต้น นอกจากนี้ถ่านกัมมันต์ที่เตรียมจากวัตถุดินต่างชนิดกัน หรือเตรียมที่สภาวะหรือวิธีการต่างกัน จะได้ถ่านกัมมันต์ที่มีสมบัติทางกายภาพและเคมีที่แตกต่างกัน เช่น มีสมบัติการกระจายขนาดรูพรุนที่แตกต่างกัน หรือมีสมบัติเคมีพื้นผิวที่เป็นกรดหรือเบสที่แตกต่างกัน (ดังตารางที่ 2.2 แสดงสมบัติของวัตถุดินและสมบัติของถ่านกัมมันต์) ซึ่งส่งผลต่อการนำถ่านกัมมันต์ไปใช้ในงานกรุดชักด้านต่างๆ โดยทั่วไปหากการกรุดชักเป็นแบบการกรุดชักทางกายภาพ แล้วสมบัติที่สำคัญที่สุดของสารกรุดชัก ได้แก่ สมบัติโครงสร้างรูพรุน เนื่องจากส่วนใหญ่ให้เกิดพื้นที่ผิวได้มากจะเกิดการกรุดชักได้มาก แต่ถ้าการกรุดชักเป็นแบบการกรุดชักทางเคมีแล้ว นอกเหนือจากการที่ต้องพิจารณาสมบัติโครงสร้างรูพรุนแล้ว สมบัติเคมีพื้นผิวของถ่านกัมมันต์ นับเป็นปัจจัยที่สำคัญต่อการกรุดชักซึ่งต้องนำมาพิจารณาร่วมด้วย

บทที่ 2

ทฤษฎีและงานวิจัยที่เกี่ยวข้อง

2.1 ความรู้พื้นฐานเกี่ยวกับถ่านกัมมันต์

ถ่านกัมมันต์ (Activated carbon หรือ Active carbon) เป็นวัสดุที่มีความพรุนและพื้นที่ผิวสูงมาก ซึ่งเป็นตัวคูดซับที่ดีทั้งในกระบวนการคูดซับแก๊สและของเหลว ส่วนประกอบหลักคือการบอนเจิง จัดเป็นประเภทหนึ่งของการบอนอสัมฐาน (Amorphous carbon) ผลิตได้จากการนำวัตถุดิบที่มีการบอนเป็นองค์ประกอบหลักมาถูกเผาเผาอย่างรุนแรง หรือกระบวนการกระตุ้น (Activation) เพื่อให้เกิดโครงสร้างรูปพรรณ โดยทั่วไปถ่านกัมมันต์มีสมบัติดังแสดงในตารางที่ 2.1

2.1.1 วัตถุดิบที่ใช้ผลิตถ่านกัมมันต์

วัตถุดิบที่ใช้ผลิตถ่านกัมมันต์โดยทั่วไปเป็นสารอินทรีย์ที่มีการบอนเป็นองค์ประกอบหลัก เช่น กะลามะพร้าว กะลาปาล์ม ถ่านหิน ไม้ ชั้งข้าวโพด ชานอ้อย เป็นต้น วัตถุดิบที่ใช้ผลิตถ่านกัมมันต์ ที่มีคุณภาพดีขึ้นกับปัจจัยหลายอย่าง เช่น มีปริมาณการบอนสูง มีปริมาณถ่านต่ำ มีความหนาแน่นสูง และราคาถูก เป็นต้น นอกจากนี้ถ่านกัมมันต์ที่เตรียมจากวัตถุดิบต่างชนิดกัน หรือเตรียมที่สภาพแวดล้อมต่างกัน จะได้ถ่านกัมมันต์ที่มีสมบัติทางกายภาพและเคมีที่แตกต่างกัน เช่น มีสมบัติการกระจายขนาดรูปพรรณที่แตกต่างกัน หรือมีสมบัติเคมีพื้นผิวที่เป็นกรดหรือเบสที่แตกต่างกัน (ดังตารางที่ 2.2 แสดงสมบัติของวัตถุดิบและสมบัติของถ่านกัมมันต์) ซึ่งส่งผลต่อการนำถ่านกัมมันต์ไปใช้ในงานคูดซับด้านต่างๆ โดยทั่วไปหากการคูดซับเป็นแบบการคูดซับทางกายภาพ แล้วสมบัติที่สำคัญที่สุดของสารคูดซับ ได้แก่ สมบัติโครงสร้างรูปพรรณ เนื่องจากส่วนใหญ่ให้เกิดพื้นที่ผิวได้มากจะเกิดการคูดซับได้มาก แต่ถ้าการคูดซับเป็นแบบการคูดซับทางเคมีแล้ว นอกเหนือจากการที่ต้องพิจารณาสมบัติโครงสร้างรูปพรรณแล้ว สมบัติเคมีพื้นผิวของถ่านกัมมันต์ นับเป็นปัจจัยที่สำคัญต่อการคูดซับซึ่งต้องนำมาพิจารณาร่วมด้วย

ตารางที่ 2.1 ตัวอย่างสมบัติทั่วไปของถ่านกัมมันต์⁽¹³⁾

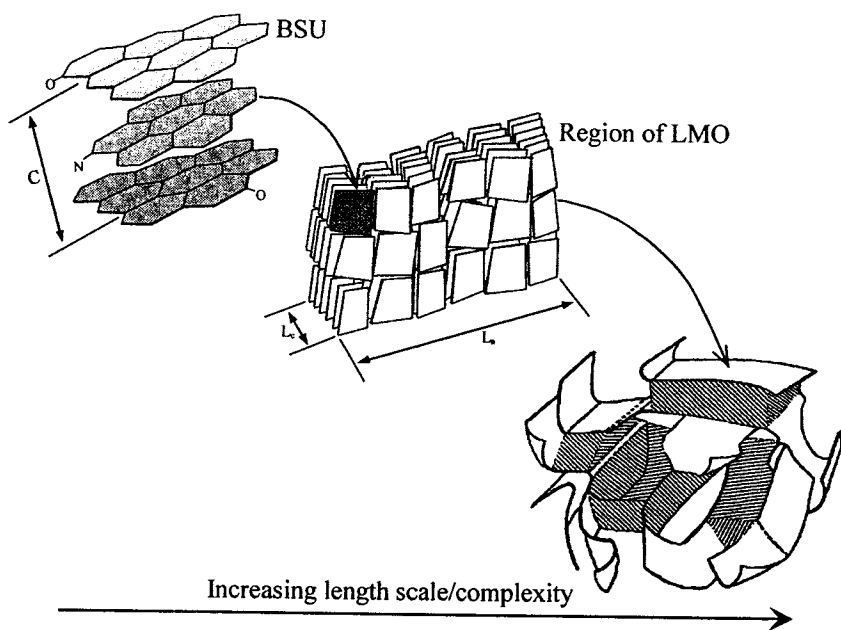
| | |
|---|----------------------------|
| พื้นที่ผิวจำเพาะ (Specific surface area) | 500–2500 m ² /g |
| ปริมาตรรูพรุนรวม (Total pore volume) | 0.5–2.5 cm ³ /g |
| ความแข็งของอนุภาค (Hardness number) | 50-100 |
| ปริมาณเถ้า (Ash content) | 1–20 wt% |
| ค่าการดูดซับไอโอดีน (Iodine number) | 500–1,200 |
| ค่าการดูดซับคาร์บอนเตตราคลอไรด์ (CCl ₄ activity) | 35-125 |
| ค่าการดูดซับบีวเทน(Butane working capacity) | 4-14 |
| ค่าการเก็บความร้อนที่ 100°C (Heat capacity at 100°C) | 0.84-1.3 J/g-K |
| ค่าการนำความร้อน(Thermal conductivity) | 0.05-0.10 W/m-K |

ตารางที่ 2.2 สมบัติทั่วไปของวัตถุดิบชนิดต่างๆ ที่ใช้เตรียมถ่านกัมมันต์⁽⁴⁾

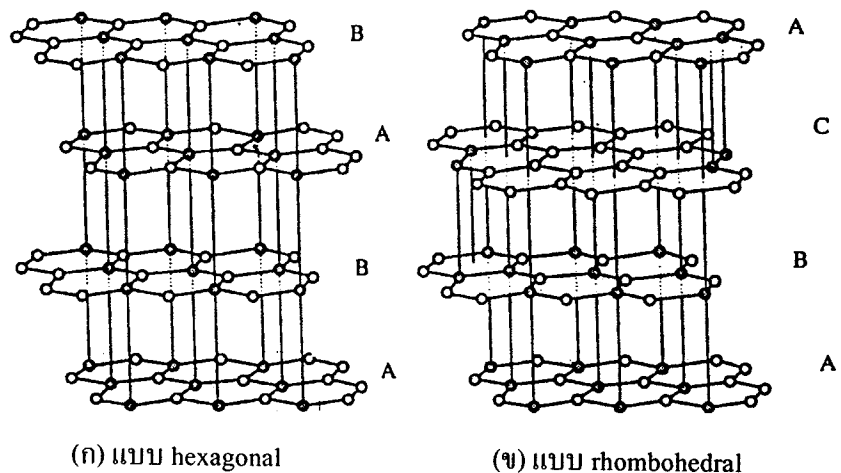
| Raw material | Carbon | Volatiles | Ash | Density | Texture of activated carbon |
|---------------------|---------------|------------------|------------|----------------------|------------------------------------|
| | (wt%) | (wt%) | (wt%) | (g/cm ³) | |
| Soft wood | 40–45 | 55–60 | 0.3–1.1 | 0.4–0.5 | Soft, large pore volume |
| Hard wood | 40–42 | 55–60 | 0.3–1.2 | 0.55–0.80 | Soft, large pore volume |
| Lignin | 35–40 | 58–60 | – | 0.3–0.4 | Soft, large pore volume |
| Nutshells | 40–45 | 55–60 | – | 1.4 | Hard, large micropore volume |
| Lignite | 55–70 | 25–40 | 5–6 | 1.0–1.35 | Hard, small pore volume |
| Soft coal | 65–80 | 20–30 | 2–12 | 1.25–1.5 | Medium hard, medium pore volume |
| Petroleum coke | 70–85 | 15–20 | 0.5–0.7 | 1.35 | Medium hard, medium pore volume |
| Semi-hard coal | 70–75 | 10–15 | 5–15 | 1.45 | Hard, large pore volume |
| Hard coal | 85–95 | 5–10 | 2–15 | 1.5–1.8 | Hard, large pore volume |

2.1.2 โครงสร้างถ่านกัมมันต์

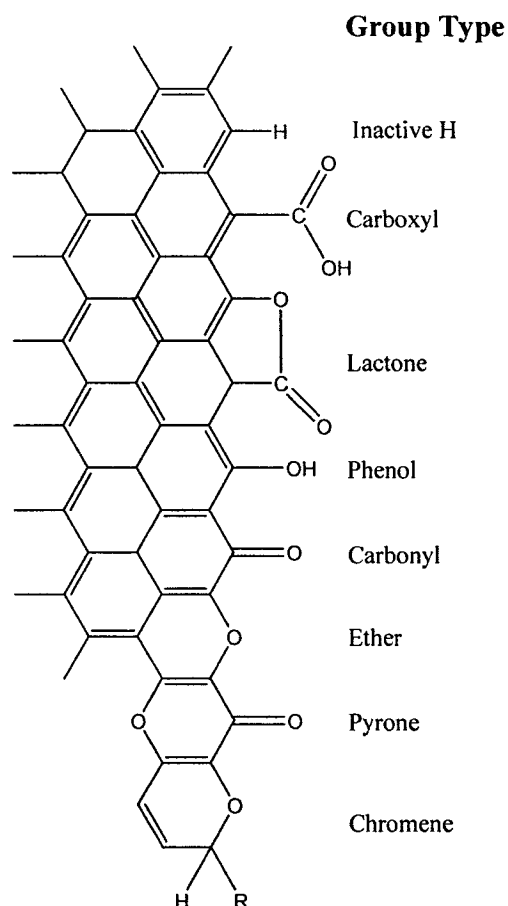
ถ่านกัมมันต์เป็นวัสดุที่มีโครงสร้างซับซ้อนมาก ซึ่งโดยพื้นฐานแล้วประกอบไปด้วยส่วนสำคัญสองส่วนคือ ส่วนที่เป็นการบอนอสัมฐาน และส่วนที่เป็นกลุ่มผลึกคล้ายแกรไฟต์ ซึ่งส่วนประกอบที่สองนี้คือส่วนที่แสดงโครงสร้างรูปrun ซึ่งมีบทบาทสำคัญต่อความสามารถในการดูดซับได้ของถ่านกัมมันต์ รูปแบบที่แท้จริงของโครงสร้างถ่านกัมมันต์ยังเป็นที่ไม่ทราบแน่ชัด แต่รูปแบบที่มีการยอมรับและนิยมใช้ในการอธิบายมากที่สุด เป็นขั้นตอนการรวมตัวของโครงสร้างพื้นฐานดังแสดงในรูปที่ 2.1 ลำดับขั้นตอนของโครงสร้างถ่านกัมมันต์เริ่มจาก หน่วยโครงสร้างพื้นฐาน (Basic structure unit, BSU) ซึ่งเป็นกลุ่มของแผ่นแกรฟินที่มีรูปแบบคล้ายโพลีอะโรมาติก และอาจมีหมู่ฟังก์ชันต่าง ๆ เกาะอยู่ที่ขอบของแผ่น จัดเรียงตัวกันอยู่คล้ายกับโครงสร้างของแกรไฟต์ (ครูปแบบของการจัดเรียงโครงสร้างแกรไฟต์ในรูปที่ 2.2) แต่จะไม่เป็นระเบียบเหมือนของแกรไฟต์ คือโดยทั่วไปจะมีช่องว่างที่วัสดุจะจากกันกลางของแต่ละแผ่นมากกว่า (ของแกรไฟต์มีค่าเท่ากับ 3.354 Å) และมีการเรียงซ้อนเหลื่อมของแต่ละแผ่นในแนวราบ (ในทิศทางตาม C ดังรูป 2.1) ไม่เป็นลำดับที่ตายตัวเหมือนของแกรไฟต์ที่มีการเรียงอยู่สองแบบ (ครูปที่ 2.2) คือ แบบ ABAB (hexagonal) และแบบ ABCA (rhombohedral) การเรียงซ้อนเหลื่อมที่ไม่เป็นระเบียบในถ่านกัมมันต์นี้เรียกว่า Turbostratic ลำดับขั้นต่ำของหน่วยโครงสร้างพื้นฐานจะรวมตัวกันอย่างไม่เป็นระเบียบเป็นหน่วยโมเลกุลย่อย (Local molecular orientation, LMO) และขั้นสุดท้ายหน่วยโมเลกุลย่อยจะรวมตัวกันอย่างไม่เป็นระเบียบอีกรึ่งครึ่งคล้ายเป็นอนุภาค ที่มีช่องว่างเกิดขึ้นมากจาก การเรียงตัวอย่างไม่เป็นระเบียบนั้น ซึ่งช่องว่างเหล่านี้คือรูปrun ที่ใช้ในการดูดซับของถ่านกัมมันต์นั้นเอง โดยทั่วไปแล้ว รูปร่างของรูปrun ในถ่านกัมมันต์จะสมมุติให้เป็นรูปrunแบบแผ่นขนาดของรูปrun จึงนิยมใช้ค่าความกว้างกึ่งกลางรูปrun (Half pore width) การที่แผ่นแกรฟินแต่ละแผ่นมีหมู่ฟังก์ชันเกาะอยู่นั้น เกิดจากการมีอิเล็กตรอนอิสระ ซึ่งอยู่ในสภาพที่ไม่เสถียรและมีเวลน์ไม่อันตัวจึงพยายามที่จะเกาะกับอะตอมหรือโมเลกุลอื่น เช่น ออกซิเจนในอากาศ หรือ อะตอน อื่น ๆ ที่มีอยู่ในสารตั้งต้น การเกาะกับอะตอมหรือโมเลกุลอื่นเป็นพันธะทางเคมีที่แข็งแรง ทำให้เกิดเป็นหมู่ฟังก์ชันต่าง ๆ บนผิวของถ่านกัมมันต์ เช่น หมู่คาร์บอคิล (Carboxyl) และ โภน (Lactones) ฟีโนอล (Phenol) การบอนนิล (Carbonyl) อีเทอร์ (Ether) ไฟโрон (Pyrone) และ โครมีน (Chromene) เป็นต้น ดังแสดงในรูปที่ 2.3



รูปที่ 2.1 ลำดับขั้นแสดงโครงสร้างถ่านกัมมันต์⁽¹⁴⁾



รูปที่ 2.2 โครงสร้างของผลึกแกรไฟต์



รูปที่ 2.3 หมู่ฟังก์ชันต่าง ๆ บนผิวของถ่านกัมมันต์

2.1.3 วิธีการผลิตถ่านกัมมันต์

โดยทั่วไปกรรมวิธีการผลิตถ่านกัมมันต์ประกอบด้วยขั้นตอนหลัก 3 ขั้นตอน ได้แก่ การเตรียมวัตถุคิบ คาร์บอนไซซ์ (Carbonization) และการกระตุ้น (Activation) รายละเอียดแสดงในรูปที่ 2.4 การเลือกวัตถุคิบต้องพิจารณาจากสมบัติถ่านกัมมันต์ที่ต้องการ สมบัติของวัตถุคิบ (ตารางที่ 2.2) ตลอดจนวิธีการที่จะทำการผลิตด้วย ส่วนในขั้นตอนการเตรียมวัตถุคิบนั้น จะนำวัตถุคิบมาบด และคัดขนาดก่อนที่จะนำไปทำการรับประทาน แต่สำหรับวัตถุที่มีความแข็งและเหนียวมาก การบดวัตถุคิบก่อนอาจจะทำได้ยาก จึงอาจนำวัตถุคิบนั้นไปคาร์บอนไซซ์ก่อน แล้วจึงนำมานบดและคัดขนาด ถ้าวัตถุคิบมีลักษณะเป็นผงอาจนำมาทำเป็นเม็ดก่อน โดยใช้ตัวประสาน (Binder) ซึ่งเป็นสารที่มีการรับอนเป็นองค์ประกอบ เช่น แป้ง น้ำมันเตา หรือ ทาร์ (Tar) ซึ่งเป็นผลผลิตได้จากการกระบวนการ การรับประทาน เมื่อทำเป็นเม็ดแล้วจึงนำไปผ่านขั้นตอนการรับประทานและทำการกระตุ้นต่อไป ดังขั้นตอนการผลิตแสดงในรูปที่ 2.4

การรับประทานเป็นกระบวนการแบบไฟฟ้าไลซิส ทำโดยการเผาวัตถุคิบในที่อันอากาศที่อุณหภูมิต่ำกว่า 800°C ทำให้เกิดผลิตภัณฑ์สามประเภทได้แก่ ถ่านที่มีลักษณะสีดำ เรียกว่า ถ่านชาร์ (Char) ส่วนที่เป็นของเหลว เรียกว่า ทาร์ (Tar) และแก๊ส คาร์บอนไซซ์เป็นขั้นตอนการพัฒนาโครงสร้างรูพรุนในวัตถุคิบ โดยกระบวนการทางความร้อน ทำให้เกิดการสลายตัวทางเคมีของสารที่ไม่ใช่การรับอน (เช่น ไฮโดรเจน ออกซิเจน และไนโตรเจน) ออกมายังรูปของเหลวและแก๊ส มีผลให้ถ่านชาร์มีปริมาณการรับอนสูงขึ้นกว่าวัตถุคิบ แต่ยังมีความสามารถในการดูดซับตัวเพรษยังมีทาร์ตกถังอยู่ในรูพรุนหรือเกาะอยู่ตามผิว จึงจำเป็นต้องนำถ่านชาร์ไปผ่านกระบวนการกระตุ้นต่อไป ด้วยประภานี้ขั้นตอนการรับประทานได้แก่ ชนิดของวัตถุคิบ อุณหภูมิ เวลาและอัตราการให้ความร้อน อุณหภูมิเป็นตัวแปรที่สำคัญ เนื่องจากเป็นพลังงานที่ใช้ทำให้เกิดการแตกหักของบริเวณที่มีพันธะที่อ่อนหรือหมุนที่หลุดออกได้่าย ทำให้ได้สารระเหยเป็นผลิตภัณฑ์ต่างๆ ที่มีโครงสร้างไม่เสื่อมหรือหมุนที่มีขนาดเล็ก เช่น น้ำ แอมโมเนีย ทาร์ และแก๊สต่างๆ ส่วนที่เหลืออยู่เป็นถ่านชาร์ ซึ่งมีโครงสร้างไม่เสื่อมแบบวงแหวนและอะโนมาริติกเป็นหลัก ซึ่งการรับอนจะมีการจัดระเบียบของโครงสร้างมากขึ้น ไปตามอุณหภูมิ ส่วนอัตราการให้ความร้อนนั้น มีความสำคัญต่อปริมาณและองค์ประกอบของสารระเหยที่ได้จากการรับประทาน ถ้าให้อัตราการให้ความร้อนสูง ปริมาณสารระเหยจะถูกปลดปล่อยอย่างรวดเร็ว การรับอนจะเริ่งตัวเป็นระเบียนน้อย ทำให้เกิดช่องว่างมากเกิดเป็นรูพรุนขนาดใหญ่กว่า เมื่อเทียบกับวัตถุคิบที่ผ่านการให้อัตราการให้ความร้อนต่ำ

ขั้นตอนการกระตุ้นเป็นการทำให้การรับอนหรือถ่านชาร์มีความพรุนมากขึ้น ส่งผลให้มีความสามารถในการดูดซับได้มากขึ้น ซึ่งเป็นผลมาจากการเพิ่มพื้นที่ผิวและการทำให้พื้นผิวมีความว่องไวมากขึ้น ขั้นตอนการกระตุ้นนอกจากเป็นการเพิ่มพื้นที่ผิว โดยการใช้พลังงานความร้อนทำให้เกิดการแตกหักของพันธะหรือหมุนที่หลุดออกได้่ายแล้ว ในปฏิกริยาเคมีที่เกิดขึ้น ยังกำจัดสารต่างๆ ที่

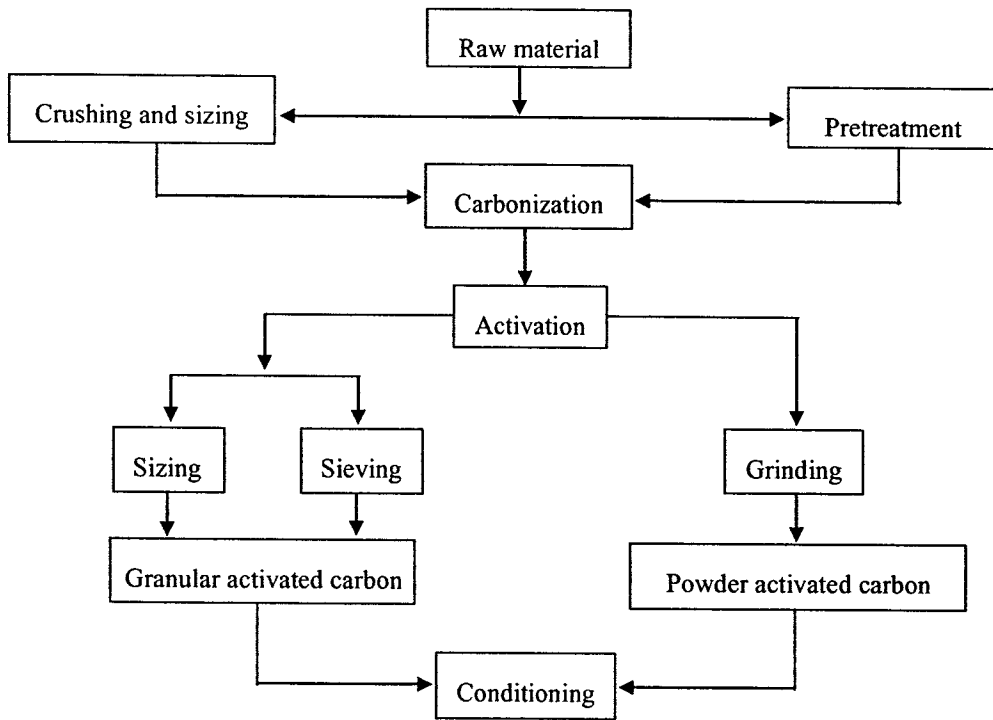
คั่งค้างอยู่ในช่องว่าง ให้ออกไปจากรูพรุนที่ใช้ดูดซับอีกด้วย ส่วนการทำให้พื้นผิวนิ่มความว่องไวมากขึ้น เกิดจากปฏิกิริยาเคมีทำให้โนเลกูลบานกกลุ่มหลุดออกไปและเกิดส่วนที่มีอำนาจดูดซับขึ้นมาแทน นอกจากนี้ยังพบว่าปฏิกิริยาเคมีในขั้นตอนการกระตุ้น ช่วยให้การบอนจัดเปลี่ยนโครงสร้างใหม่ให้มีประสิทธิภาพในการดูดซับถุงขึ้นได้

วิธีการกระตุ้นแบ่งออกเป็น 2 แบบ ได้แก่ วิธีกระตุ้นทางกายภาพ (Physical activation) และวิธีกระตุ้นทางเคมี (Chemical activation) รูปที่ 2.5 แสดงแผนผังของวิธีการผลิตทั้ง 2 แบบ สำหรับวิธีกระตุ้นทางกายภาพ ซึ่งเป็นการผลิตถ่านกัมมันต์ โดยที่ผู้carบอนเกิดการเปลี่ยนแปลงทางกายภาพ เช่น เกิดมีรูพรุนขนาดต่าง ๆ ทำให้มีพื้นที่ผิวนิ่มขึ้น และcarบอนมีการจัดเรียงโครงสร้างใหม่ ซึ่งจะเพิ่มความสามารถในการดูดซับให้สูงขึ้น โดยทั่วไปสารที่ใช้ในการกระตุ้นทางกายภาพได้แก่ ไอน้ำ คาร์บอนไดออกไซด์ อากาศ และออกซิเจน โดยใช้ร่วมกับการให้ความร้อน

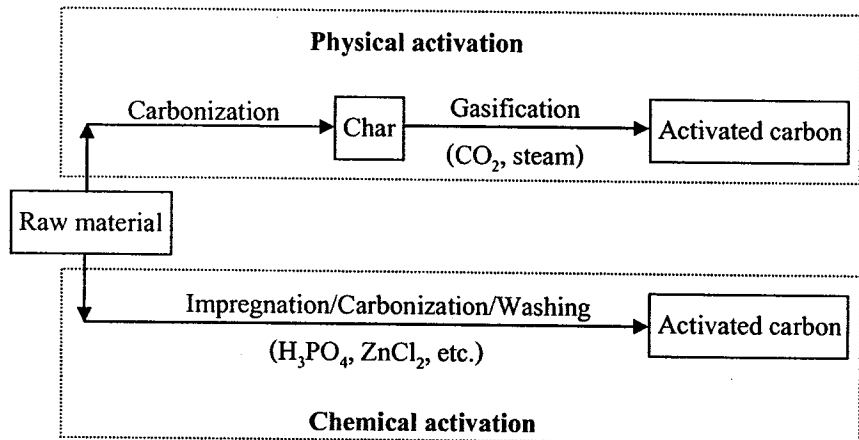
การกระตุ้นทางเคมีมักนิยมใช้กับการผลิตถ่านกัมมันต์ ที่มีวัตถุคือเป็นสารประกอบcarบอนที่มาจากพืชและชีวมวล โดยใช้การแร่ватถุคือกับสารเคมีก่อนแล้วนำสารมาทำการบอนในช่องที่อุณหภูมิในช่วง $400\text{--}800^{\circ}\text{C}$ ซึ่งขึ้นกับประเภทของวัตถุคือ และต้องทำการล้างสารเคมีออกก่อนนำไปใช้ สารเคมีส่วนใหญ่จะนำกลับมาใช้ใหม่ได้ สารเคมีที่ใช้กันมากได้แก่ กรดฟอสฟอริก (Phosphoric acid, H_3PO_4) ซิงค์คลอไรด์ (Zinc chloride, ZnCl_2) โพแทสเซียมไฮดรอกไซด์ (Potassium hydroxide, KOH) และโพแทสเซียมคาร์บอเนต (Potassium carbonate, K_2CO_3) เป็นต้น

กลไกการเกิดรูพรุนในถ่านกัมมันต์ที่กระตุ้นทางเคมี ยังไม่ทราบชัดเจนและจะแตกต่างกันไปขึ้นสารเคมีแต่ละชนิดที่ใช้ เป็นไปได้ว่าสารเคมีที่เติมลงไปอาจไปทำลายโครงสร้างเดิมของวัตถุคือ และในขั้นตอนการบอนในช่องทำให้เกิดการสลายตัวของสารอินทรีย์ในวัตถุคือ และการเขื่อนไขว้กันของโครงสร้างทำให้ถ่านเกิดรูพรุนขึ้นได้ สาระเหลบบางประเภทไม่สามารถหลุดออกจากโครงสร้างนี้ได้ ทำให้ได้เนื้อด่านเพิ่มขึ้นและเกิดثارน้อยบลง ประกอบกับสารเคมีที่ใช้สามารถแทรกตัวอยู่ภายใน ทำให้เกิดการหดตัวน้อยลง เมื่อนำถ่านมาล้างสารเคมีออกด้วยน้ำหรือกรดจีอง จะเกิดช่องว่างหรือรูพรุนเพิ่มเติมขึ้นอีก

ข้อดีของวิธีกระตุ้นทางเคมีคือ ใช้อุณหภูมิต่ำกว่าวิธีกระตุ้นทางกายภาพ แต่ข้อเสียคืออาจมีสารเคมีตกค้างในถ่านกัมมันต์ ทำให้ต้องใช้เวลาและมีค่าใช้จ่ายในการล้างสารเคมี



รูปที่ 2.4 แผนผังสำหรับการผลิตถ่านกัมมันต์โดยทั่วไป



รูปที่ 2.5 แผนผังแสดงการผลิตถ่านกัมมันต์ทั้งแบบกระตุ้นทางกายภาพ (แผนผังส่วนบน) และ กระตุ้นทางเคมี (แผนผังส่วนล่าง)

2.2 การดูดซับ

2.2.1 ไอโซเทิร์มของการดูดซับ

ข้อมูลสมดุลการดูดซับของสารเดี่ยวเป็นข้อมูลพื้นฐานที่มีความสำคัญในการทำความเข้าใจเกี่ยวกับกระบวนการดูดซับ ตลอดจนใช้ประโยชน์ในการวิเคราะห์ระบบดูดซับของสารผสม การศึกษาจานวนศาสตร์การดูดซับและการคำนวณออกแบบระบบดูดซับ เป็นต้น ในระบบการดูดซับสารเดี่ยว ปริมาณของการดูดซับจะขึ้นกับชนิดของตัวดูดซับ (Adsorbent) และตัวถูกดูดซับ (Adsorbate) และขึ้นกับอุณหภูมิและความดันสำหรับระบบดูดซับแก๊ส หรืออุณหภูมิและความเดี่ยวของตัวถูกดูดซับสำหรับระบบดูดซับของเหลว ในรูปของสมการเขียนได้เป็น

สำหรับระบบดูดซับของเหลว

$$q = f(P, T, \text{adsorbent}, \text{adsorbate}) \quad (2.1)$$

สำหรับระบบดูดซับของเหลว

$$q = f(C, T, \text{adsorbent}, \text{adsorbate}) \quad (2.2)$$

เมื่อ q = ปริมาณการดูดซับต่อหน่วยน้ำหนักของตัวดูดซับ ซึ่งอาจอยู่ในหน่วยของ mol/g, g/g หรือ $\text{cm}^3 \text{ STP/g}$ สำหรับการดูดซับแก๊ส

T = อุณหภูมิ, $^\circ\text{C}$

P = ความดันย่อยของตัวถูกดูดซับในวัสดุภาคแก๊ส

C = ความเข้มข้นของตัวถูกดูดซับในสารละลายน, g/cm^3 หรือ mol/L

ถ้าการดูดซับของตัวดูดซับและตัวถูกดูดซับคู่หนึ่ง ๆ เกิดขึ้นที่อุณหภูมิคงที่ สมการ 2.1 และ

2.2 เขียนได้เป็น

$$q = f(P)_T \quad (2.3)$$

และ

$$q = f(C)_T \quad (2.4)$$

สำหรับระบบดูดซับแก๊ส ถ้าอุณหภูมิการดูดซับมีค่าต่ำกว่าอุณหภูมิวิกฤตของสารถูกดูดซับ สมการ 2.3 เขียนได้ในอิกรูปแบบหนึ่ง ดังนี้

$$q = f(P/P^0)_T \quad (2.5)$$

เมื่อ P^0 คือความดันไอลิ่มตัวของสารถูกดูดซับที่อุณหภูมิการดูดซับ

ความสัมพันธ์ตามสมการ 2.5 เรียกไอโซเทิร์มของการดูดซับ (Adsorption isotherm) ซึ่งเป็นข้อมูลความสัมพันธ์ระหว่างความเข้มข้นหรือความหนาแน่นของตัวถูกดูดซับในวัสดุภาคแก๊สหรือวัสดุของเหลวกับปริมาณของตัวถูกดูดซับที่ถูกดูดซับ โดยตัวดูดซับของแข็งที่สภาวะสมดุลเมื่ออุณหภูมิของการดูดซับคงที่ ได้มีการจำแนกลักษณะของไอโซเทิร์มการดูดซับของระบบดูดซับแก๊ส เป็น 6 แบบโดย Brunauer และคณะ⁽¹⁵⁾ รายละเอียดดังปรากฏในรูปที่ 2.6 โดยแบ่งได้ดังนี้

แบบที่ 1 (Type I)

เป็นการดูดซับของโมเลกุลของตัวดูดซับที่เกิดขึ้นเพียงหนึ่งชั้น (Monolayer adsorption) เป็นลักษณะการดูดซับของวัสดุที่ไม่มีรูพรุนหรือมีความพรุนต่ำหรือพบในตัวดูดซับที่มีพื้นผิวภายนอกต่ำแต่มีรูพรุนขนาดเล็กเป็นจำนวนมาก เช่น ถ่านกัมมันต์หรือซีโอลิต โดยตัวถูกดูดซับแก่สภาวะถูกดูดซับจนเต็มรูพรุนและเข้าสู่สมดุลที่ช่วงความดันต่ำๆ อย่างรวดเร็ว

แบบที่ 2 (Type II)

เป็นการดูดซับของโมเลกุลมากกว่าหนึ่งชั้น (Multilayer adsorption) เกิดกับการดูดซับของวัสดุไม่มีความพรุน (non-porous) หรือมีการกระจายขนาดของรูพรุนขนาดกลางและขนาดใหญ่ ลักษณะของไอโซเทิร์นมีจุดเปลี่ยนกราฟ (จุด B) ซึ่งเป็นสภาวะที่พิวน้ำของตัวดูดซับถูกปักลุมด้วยโมเลกุลของตัวถูกดูดซับแบบชั้นเคบวนสมบูรณ์แล้ว ที่ช่วงความดันสูงกว่านี้จะเกิดการดูดซับเพิ่มขึ้นเป็นชั้นๆ จนถึงสภาวะที่ตัวถูกดูดซับแก่สเกิดการควบแน่นเป็นของเหลวที่ความดันสัมพัทธ์เข้าใกล้หนึ่ง ($P/P^{\circ} \approx 1$)

แบบที่ 3 (Type III)

เป็นไอโซเทิร์นที่ไม่มีจุดเปลี่ยนกราฟ มีลักษณะคล้ายกระบวนการดูดซับที่แรงดึงดูดระหว่างโมเลกุลของตัวถูกดูดซับมีค่ามากกว่าแรงดึงดูดระหว่างโมเลกุลของตัวถูกดูดซับและพิวน้ำของตัวดูดซับ ทำให้เกิดการดูดซับได้น้อยที่ความดันสัมพัทธ์ต่ำ แต่การดูดซับจะเพิ่มมากขึ้นเมื่อความดันสัมพัทธ์สูงขึ้น เนื่องจากเกิดการดูดซับแบบหลายชั้น ซึ่งเป็นผลมาจากการแรงดึงดูดระหว่างโมเลกุลของตัวถูกดูดซับด้วยกันเอง

แบบที่ 4 (Type IV)

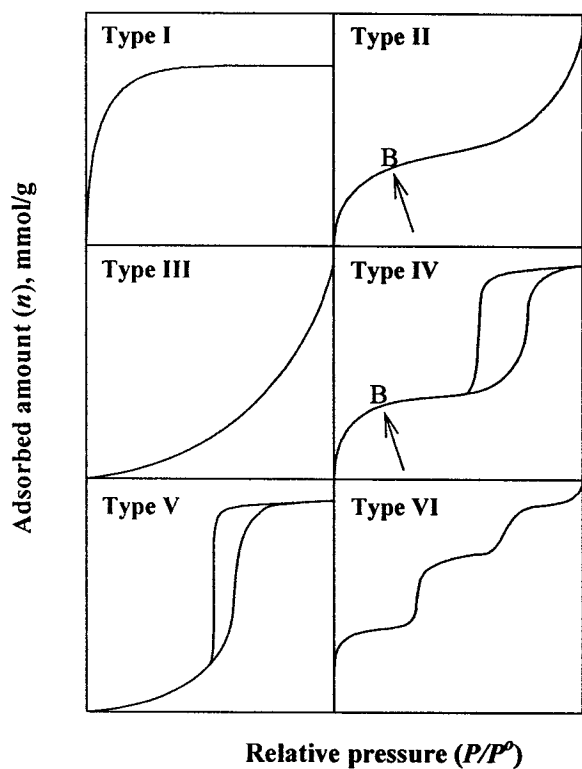
เป็นลักษณะไอโซเทิร์นที่พบในวัสดุที่มีช่วงรูพรุนขนาดกลาง (2 – 50 nm) เป็นส่วนใหญ่ เส้นไอโซเทิร์นในช่วงเพิ่มความดัน (Adsorption branch) จะคล้ายกับแบบที่ 2 แต่ไอโซเทิร์นในช่วงลดความดัน (Desorption branch) จากค่าความดันสัมพัทธ์ใกล้หนึ่งลงมา จะไม่ซ้อนทับกับเส้นไอโซเทิร์นในช่วงขาขึ้น ทำให้เกิดบริเวณหรือพื้นที่ที่เรียกว่า hysteresis loop ซึ่งเกิดจากปรากฏการณ์ capillary condensation โดยที่ค่าความดันสัมพัทธ์ใกล้หนึ่ง (ความดันย่อของตัวดูดซับในวัสดุ) แก่สมิค่าใกล้กับค่าความดันไออัมตัว) ตัวถูกดูดซับจะอยู่ในสภาวะคล้ายของเหลวที่บรรจุอยู่ในหลอดหรือช่องของรูพรุน ซึ่งจะมีแรงตึงผิวตรงบริเวณที่สัมผัสกับผนังของรูพรุนเข้ามาเกี่ยวข้อง การจะไล่ตัวถูกดูดซับออกจากรูพรุนจึงต้องลดความดันให้น้อยกว่าค่าความดันในช่วงขาขึ้น เพื่ออาชันแรงตึงผิวคงกล่าว เป็นสาเหตุให้เส้นไอโซเทิร์นของขาขึ้นและขาลงไม่ซ้อนทับกันเกิดเป็นloop ขึ้น พื้นที่ของ hysteresis loop จะเปรียบเสมือนสัดส่วนของปริมาตรรูพรุนขนาดกลางเมื่อเทียบกับปริมาตรรูพรุนทั้งหมดของตัวดูดซับ

แบบที่ 5 (Type V)

ลักษณะของไอโซเทิร์มจะคล้ายกับแบบที่ 3 แต่จะมีจุดเปลี่ยนกราฟที่ค่าความดันสัมพัทธ์มากกว่า 0.5 หรืออาจมากกว่านั้นและยังแสดงลักษณะของ hysteresis loop เมื่อ่อนไอโซเทิร์มแบบที่ 4 ดังที่กล่าวมาแล้ว เช่นเดียวกับแบบที่ 3 ไอโซเทิร์มแบบที่ 5 นี้ เกิดกับระบบคุณซับที่แรงดึงดูดระหว่างตัวคุณซับและตัวอูกคุณซับมีค่าอ่อน ตัวอย่างได้แก่ การคุณซับไอน้ำ ซึ่งจัดเป็นสารมีข้อ (polar) โดยถ้านกัมมันต์ซึ่งเป็นสารไม่มีข้อ (nonpolar) เป็นต้น

แบบที่ 6 (Type VI)

เป็นเส้นไอโซเทิร์มแบบขั้นบันได (Stepped isotherm) เกิดกับตัวคุณซับที่ไม่มีความพรุน (Non-porous) และมีลักษณะพื้นผิวที่สม่ำเสมอ ทำให้เกิดการคุณซับเป็นช่วง ๆ ตามความดันที่พิ่มขึ้น ซึ่งจะแตกต่างจากไอโซเทิร์มแบบที่ 2 ที่มีการคุณซับเป็นขั้น ๆ อย่างต่อเนื่อง ตัวอย่างได้แก่ การคุณซับของแก๊สคริปตอนบัน carbon black หรือผลึก cadmium bromide เป็นต้น



รูปที่ 2.6 ชนิดของไอโซเทิร์มการดูดซับ

2.2.2 การคุณชันไอน้ำ

การศึกษากระบวนการคุณชันไอน้ำเป็นหัวข้อที่น่าสนใจเนื่องจาก โดยทั่วไปแล้วถ่านกัมมันต์จะมีสมบัติไม่มีประจุ แต่เนื่องจากการมีหมู่ฟังก์ชันบนพื้นผิวอยู่ปริมาณหนึ่ง ซึ่งมากหรือน้อยขึ้นกับปัจจัยการเตรียมถ่านกัมมันต์ ทำให้ถ่านกัมมันต์คุณชันสารที่มีข้าวได้ เช่น ไอน้ำ ส่งผลให้มีอนามีถ่านกัมมันต์ไปใช้งานจะมีประสิทธิภาพการคุณชันสารลดลง เพราะไอน้ำเข้ามายังพื้นที่ในการคุณชันไปด้วย ซึ่งเหตุการณ์นี้เป็นปัญหาที่พบได้ในการใช้งานระดับอุตสาหกรรม เนื่องจากส่วนประกอบของสารที่ต้องการคุณชันแยกออกมาจะมีไอน้ำປะปนอยู่เสมอซึ่งอาจจะอยู่ในรูปของความชื้น⁽¹⁶⁻¹⁸⁾ จากปัญหานี้การศึกษาถ่านกัมมันต์คุณชันของไอน้ำจึงมีความสำคัญ

Puri⁽¹⁹⁾ เสนอว่าการคุณชันไอน้ำบนพื้นผิวที่มีหมู่ฟังก์ชัน เกิดจากการสร้างพันธะไฮดรเจนระหว่างน้ำและหมู่ฟังก์ชันออกไซด์บนพื้นผิว และพบว่าปริมาณการคุณชันไอน้ำเพิ่มขึ้นตามจำนวนหมู่ฟังก์ชันที่เพิ่มขึ้น ต่อมามีการศึกษาโดยใช้แบบจำลองโนเมกูล⁽²⁰⁻²²⁾ พบว่ากลไกการคุณชันไอน้ำในถ่านกัมมันต์ที่มีหมู่ฟังก์ชันบนพื้นผิว เป็นไปตามกลไกที่ Puri ได้เสนอไว้ จากกลไกนี้ได้มีการเสนอแบบจำลอง โดย Dubinin and Serpinsky (DS equation)⁽²³⁾

เนื่องจากลักษณะพื้นผิวถ่านกัมมันต์มีหมู่ฟังก์ชันในสัดส่วนไม่มากเมื่อเทียบกับพื้นที่ผิวหรือปริมาตรรูพ魯น ดังนั้นการคุณชันไอน้ำบางส่วนต้องเกิดในรูพ魯นหรือช่องว่างที่มีในโครงสร้างถ่านกัมมันต์ Kaneko⁽²⁴⁾ ได้เสนอว่า การคุณชันไอน้ำในรูพ魯นขนาดเล็ก ลักษณะของโนเมกูลของไอน้ำจะรวมตัวกันเป็นกลุ่มก้อน (Cluster) จากการศึกษาการคุณชันไอน้ำในถ่านกัมมันต์แบบเส้นไข 2 ชนิด ที่มีขนาดรูพ魯นเท่ากับ 0.8 nm และ 1.1 nm พบว่าปริมาณการคุณชันไอน้ำในถ่านกัมมันต์ชนิดที่หนึ่ง มีค่า 0.2 g/g และในชนิดที่สองมีค่า 0.8 g/g จากผลนี้จึงได้มีการเสนอว่าขนาดของกลุ่มก้อนโนเมกูลจะมีไอน้ำอยู่ 5 โนเมกูล (Pentamer cluster, $(\text{H}_2\text{O})_5$)⁽²⁵⁾ ซึ่งการศึกษาที่สนับสนุนแนวคิดการก่อกลุ่มก้อนโนเมกูลของไอน้ำได้มาจากการวิเคราะห์ Small angle X-ray scattering, X-ray diffraction และ Differential scanning calorimeter จากผลการเสนอถ่านกัมมันต์ได้มีการเสนอแบบจำลองโดย Do and Do⁽¹⁷⁾ เพื่ออธิบายการคุณชันไอน้ำที่เกิดขึ้นทั้งกับหมู่ฟังก์ชันและภายในรูพ魯น

2.3 งานวิจัยที่เกี่ยวข้อง

การเตรียมถ่านกัมมันต์จากวัสดุชีวมวล โดยวิธีกระตุ้นด้วยกรดฟอฟอริก ได้มีการศึกษากันมาบ้างแล้ว ซึ่งส่วนใหญ่ก็พบว่าเป็นวิธีการที่สามารถลดค่าถ่านกัมมันต์คุณภาพดีได้ นอกจากรูปแบบการเตรียมถ่านกัมมันต์โดยวิธีการนี้ ยังพบว่าถ่านกัมมันต์ที่ได้อาจมีหมู่ฟังก์ชันต่างๆ เกิดขึ้นโดยมีปริมาณมาก หรือน้อยขึ้นกับสภาพการเตรียมและปริมาณสารกระตุ้นที่ใช้ เช่น Jagtoyen และ Derbyshire⁽⁵⁾ ได้ทดลองเตรียมถ่านกัมมันต์จากต้นโอลีกขาว โดยใช้ H_3PO_4 พบว่าได้ถ่านกัมมันต์ที่มีพื้นที่ผิวสูงมากถึง 1800 m^2/g โดยใช้อุณหภูมิในการกระตุ้นประมาณ 350°C Benaddi et al.⁽⁶⁾ นอกจากจะเตรียม

ถ่านกัมมันต์ด้วย H_3PO_4 แล้วบังทคล่องใช้สาร diammonium phosphate $[(NH_4)_2HPO_4]$ เป็นสารกระตุ้นด้วย และทำการกระตุ้นโดยเปรียบเทียบบรรยายกาศของแก๊สเพื่อยกับในบรรยายกาศของไอน้ำพบว่า ถ่านกัมมันต์มีสมบัติของพื้นผิวต่างกัน โดยในบรรยายกาศของไอน้ำ ให้สมบัติพื้นผิวที่เป็นกลางส่วนในบรรยายกาศของแก๊สเพื่อยกให้สมบัติพื้นผิวที่เป็นกรด Lee และ Reucroft⁽⁷⁾ ศึกษาการเตรียมถ่านกัมมันต์โดยใช้ H_3PO_4 เป็นสารกระตุ้น โดยเตรียมที่อุณหภูมิต่างๆ กัน ($300^{\circ}C$, $350^{\circ}C$ และ $450^{\circ}C$) นั้น พบว่าอุณหภูมิของการเตรียมที่ต่ำ ถ่านกัมมันต์ที่ได้จะมีหมู่ฟังก์ชันที่มีองค์ประกอบของออกซิเจนมากกว่า และดูดซับไอน้ำได้มากกว่าถ่านกัมมันต์ที่เตรียมที่อุณหภูมิสูงขึ้นและมีหมู่ฟังก์ชันน้อยกว่า Considine et al.⁽⁹⁾ ได้วิจัยในทำนองเดียวกันพบว่า ถ่านกัมมันต์ที่ปรับปรุงพื้นผิวใหม่นี้ ออกซิเจนบนพื้นผิวนากสามารถดูดซับสาร 2-methylisoborneol (MID) ออกจากสารละลายได้ดีกว่า ถ่านกัมมันต์ที่ไม่ได้ปรับปรุงสมบัติพื้นผิว

Vernersson และคณะ⁽²⁶⁾ ศึกษาการเตรียมถ่านกัมมันต์จากไไม้ไฝ (Arundo donax cane) โดยการกระตุ้นด้วยกรดฟอสฟอริก โดยศึกษาผลของการกระตุ้นระหว่าง $400-550^{\circ}C$ พบว่า ถ่านกัมมันต์ที่เตรียมได้มีพื้นที่ผิวอยู่ระหว่าง $690-1,330 m^2/g$ โดยเมื่อเพิ่มอัตราส่วนของกรดฟอสฟอริกต่อวัตถุคิดจาก 1.5:1 เป็น 2:1 โดยน้ำหนัก จะทำให้ถ่านกัมมันต์มีปริมาตรรูพูนเพิ่มขึ้นและมีโครงสร้างรูพูนเป็นแบบรูพูนขนาดกลาง แต่เมื่ออัตราส่วนของกรดต่อวัตถุคิดเพิ่มขึ้นเป็น 2.5:1 ทำให้ปริมาตรรูพูนลดลงเนื่องจากปริมาณกรดที่มากเกินไปได้เข้าไปทำลายโครงสร้างรูพูนของถ่านกัมมันต์

Gomez – Seirano และคณะ⁽²⁷⁾ ศึกษาการเตรียมถ่านกัมมันต์จากต้นเกาลัด (Chestnut wood) โดยการกระตุ้นด้วยกรดฟอสฟอริก โดยศึกษาผลของอุณหภูมิและความเข้มข้นของกรด พบว่า ถ่านกัมมันต์ที่ได้เป็นถ่านกัมมันต์แบบรูพูนขนาดเล็กโดยพื้นที่ผิวและปริมาตรรูพูนขนาดเล็กเพิ่มขึ้นเมื่ออุณหภูมิและความเข้มข้นของกรดเพิ่มขึ้น อย่างไรก็ตามที่อุณหภูมิ $600^{\circ}C$ พื้นที่ผิวและปริมาตรรูพูนขนาดเล็กลดลงเมื่อเทียบกับที่อุณหภูมิ $500^{\circ}C$

Guo และ Rockstraw⁽²⁸⁾ ศึกษาการเตรียมถ่านกัมมันต์จาก Pecan shell โดยการกระตุ้นด้วยกรดฟอสฟอริก พบว่า ถ่านกัมมันต์จะเริ่มนีการพัฒนารูพูนที่อุณหภูมินากกว่า $250^{\circ}C$ และที่ $500^{\circ}C$ ได้สมบัติรูพูนสูงสุดคือ พื้นที่ผิวเท่ากับ $1130 m^2/g$ และปริมาตรรูพูนเท่ากับ $0.34 cm^3/g$ จากการศึกษานี้พบว่าตัวแปรจากสภาพการเตรียมที่มีผลต่อการพัฒนารูพูนคือ ปริมาณสารเคมีหรืออัตราส่วนสารเคมีต่อวัตถุคิด และเวลาในการการรับอินซ์ การเกิดหมู่ฟังก์ชันกรณีสองส่วนคือหมู่ที่ไม่ทนต่ออุณหภูมิและทนต่ออุณหภูมิ โดยกลุ่มแรกจะเป็นหมู่ฟังก์ชันที่มีฟอสฟอรัสและหมู่คาร์บอนิล และทนต่อความร้อนที่อุณหภูมิไม่เกิน $300^{\circ}C$ แต่กลุ่มหลังจะมีหมู่คาร์บอนิลเป็นองค์ประกอบหลัก และทนได้แม้อุณหภูมินากกว่า $500^{\circ}C$

Budinova และคณะ⁽²⁹⁾ ศึกษาการเตรียมถ่านกัมมันต์จาก woody biomass birch โดยวิธีการกระตุนด้วยกรดฟอสฟอริกแบบทั่วไปคือการแช่ไวต์ดูดินในสารเคมีแล้วต่อด้วยการคาร์บอนไนซ์ภายใต้บรรยายกาศแก๊สในโตรเจน และการเตรียมด้วยวิธีการผสมโดยเพิ่มขั้นตอนการกระตุนทางกาบภาพอีกสองวิธีดังนี้ วิธีที่หนึ่ง กระบวนการต่อเนื่องจากการเตรียมแบบทั่วไป จะมีการกระตุนต่อด้วยไอน้ำที่อุณหภูมิเดิม วิธีที่สอง หลังจากแช่ไวต์ดูดินในสารเคมีแล้ว นำไวต์ดูดินที่ได้ไปผ่านขั้นตอนการกระตุนด้วยไอน้ำต่อเนื่องโดยไม่มีขั้นตอนการคาร์บอนไนซ์ พบว่าการเตรียมโดยวิธีการผสมโดยการเพิ่มขั้นตอนการกระตุนทางกาบภาพทำให้มีการพัฒนารูปทรงพิ่มขึ้น โดยถ่านกัมมันต์ที่เตรียมแบบทั่วไป มีค่าพื้นที่ผิวเท่ากับ $761 \text{ m}^2/\text{g}$ ส่วนถ่านกัมมันต์ที่เตรียมโดยวิธีที่หนึ่งมีค่าพื้นที่ผิวเท่ากับ $1290 \text{ m}^2/\text{g}$ และถ่านกัมมันต์ที่เตรียมโดยวิธีที่สองมีค่าพื้นที่ผิวเท่ากับ $1360 \text{ m}^2/\text{g}$ นอกจากนี้ยังพบว่าการเตรียมถ่านกัมมันต์ด้วยกรดฟอสฟอริก ชี้งทำให้เกิดหมุฟังก์ชันที่มีฟอสฟอรัสเป็นองค์ประกอบหนึ่น หมู่ฟังก์ชันกลุ่มนี้จะลดลงอย่างมากเมื่อมีการผสมขั้นตอนการกระตุนด้วยไอน้ำเข้าไปด้วย

บทที่ 3

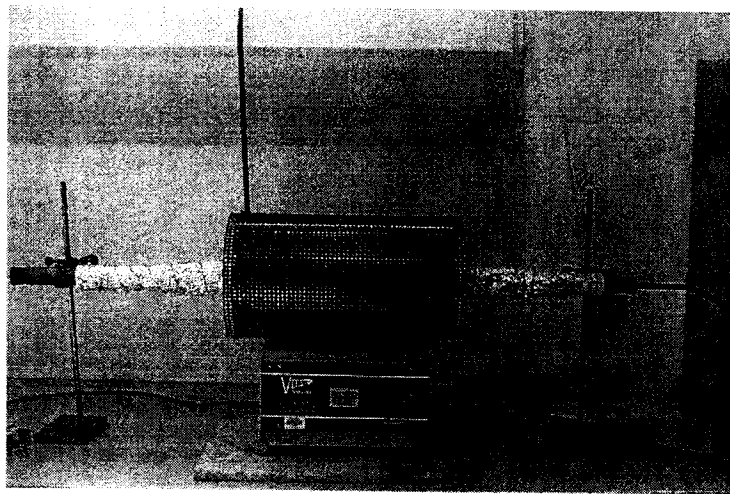
วิธีดำเนินการวิจัย

3.1 อุปกรณ์และเครื่องมือ

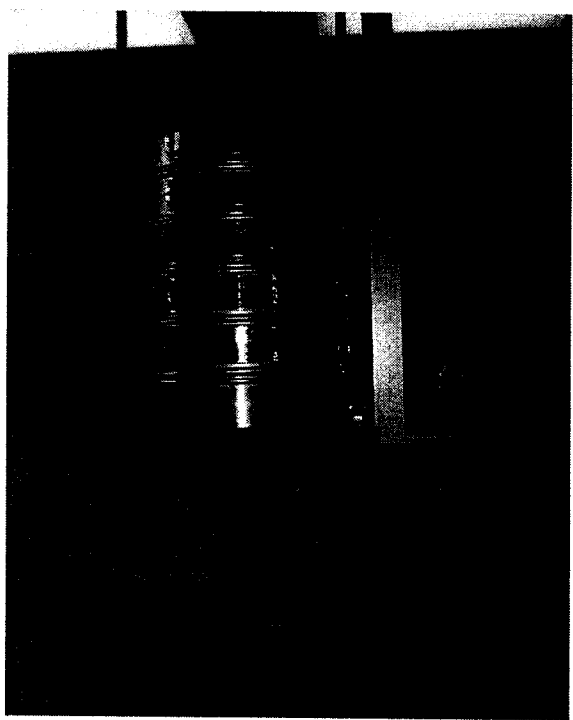
1. เตาเผาแบบท่อปืนห้อ Vectar รุ่น VCTF4 พร้อมชุดควบคุมอุณหภูมิสำหรับการเตรียมถ่านกัมมันต์ โดยวิธีกระตุนทางเคมี (รูปที่ 3.1)
2. ตู้อบยีห้อ Memmert รุ่น 600 (รูปที่ 3.2)
3. ชุดตะแกรงร้อนและเครื่องขยายตัวตะแกรงยีห้อ Retsch รุ่น AS200 digit (รูปที่ 3.3)
4. เครื่องวัดค่าความเป็นกรดค้าง (pH meter) ยีห้อ Schott รุ่น NCG840 (รูปที่ 3.4)
5. เครื่องวิเคราะห์ทางความร้อน (Thermogravimetric analyzer) ยีห้อ Perkin Elmer รุ่น TGA7 Series (รูปที่ 3.5)
6. กล้องจุลทรรศน์อิเล็กตรอนแบบส่องกราด (SEM) ยีห้อ JEOL รุ่น JSM 6400 (รูปที่ 3.6)
7. เครื่องวัดพื้นที่ผิวและช่วงขนาดครูพูล (Surface area analyzer) ยีห้อ Micromeritics รุ่น ASAP2010 (รูปที่ 3.7)
8. เครื่องวิเคราะห์ไอโซเทิร์มการดูดซับสถานะแก๊สหารือไอ (Intelligent Gravimetric Analyzer, IGA) ยีห้อ Hiden Analytical รุ่น IGA-002 (รูปที่ 3.8)

3.2 วัสดุและสารเคมี

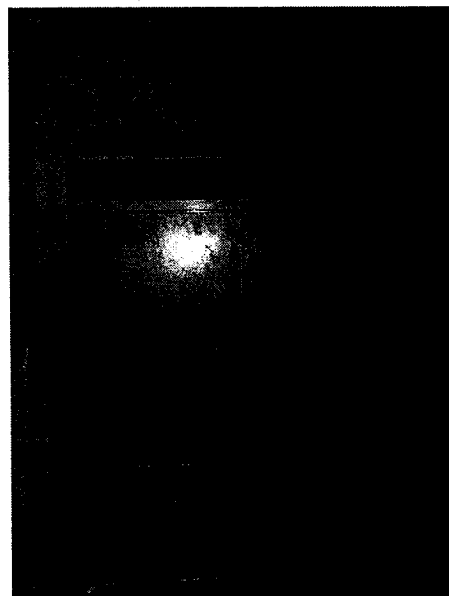
1. ไนโตรเจน คลีปตัส ดังรูปที่ 3.9
2. แก๊สไนโตรเจน (N_2) บรรจุถังมีความบริสุทธิ์ 99.95% ของบริษัท TIG
3. กรดฟอสฟอริก (H_3PO_4)



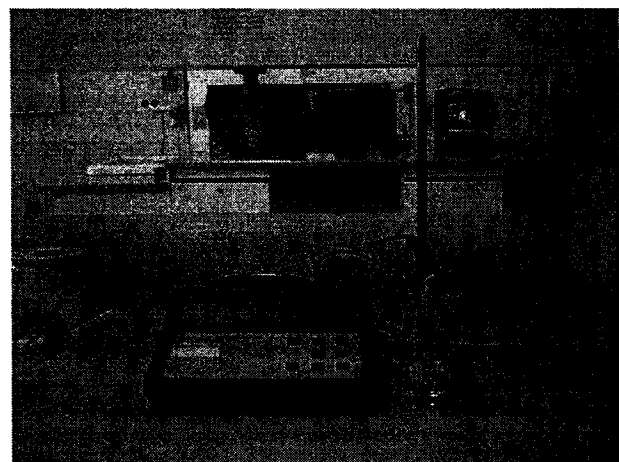
รูปที่ 3.1 เตาเผาแบบท่อที่ใช้เตรียมถ่านกัมมันต์



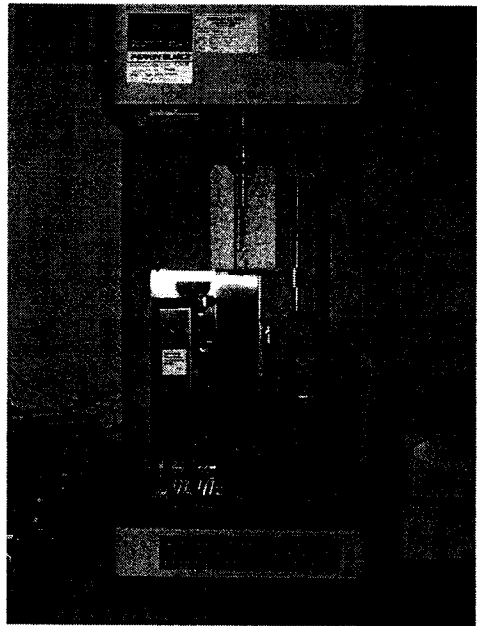
รูปที่ 3.3 ชุดตะแกรงร่อน และเครื่องเบย่าตะแกรง



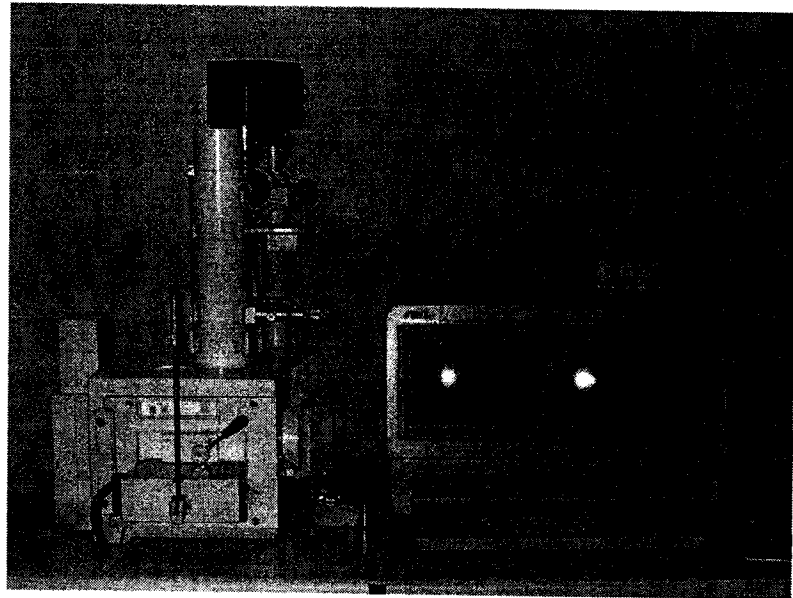
รูปที่ 3.2 ตื้ออบสาร



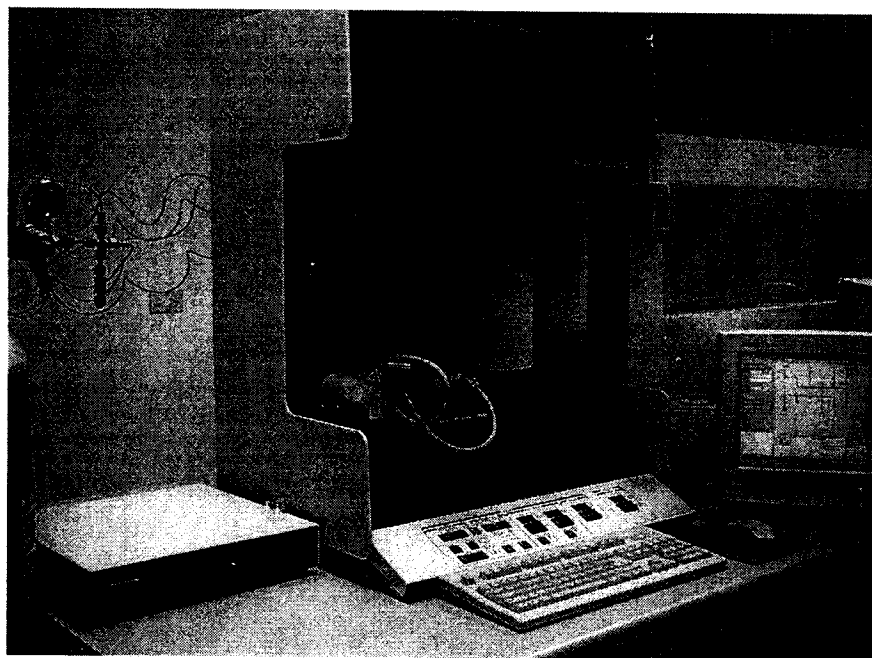
รูปที่ 3.4 เครื่องวัดค่าความเป็นกรดด่าง



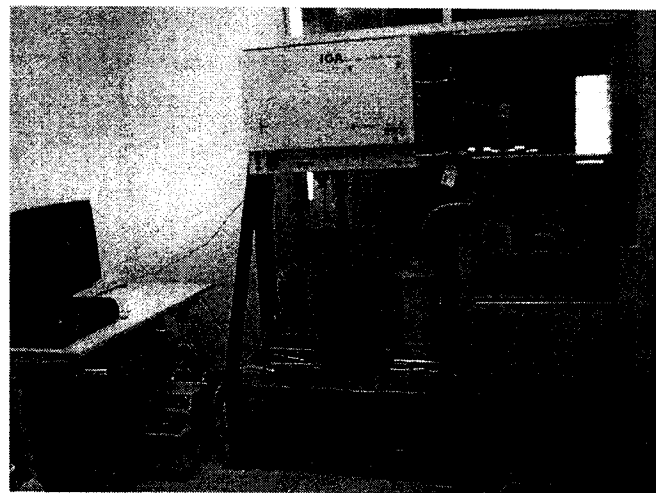
รูปที่ 3.5 เครื่องวิเคราะห์ทางความร้อน (TGA)



รูปที่ 3.6 กล้องจุลทรรศน์อิเล็กตรอนแบบส่องกราด (SEM)



รูปที่ 3.7 เครื่องวัดพื้นที่ผิวและช่วงขนาดพรุน (ASAP2010)



รูปที่ 3.8 เครื่องวิเคราะห์ไอโซเทิร์มการดูดซับสถานะแก๊สหรือไอ (IGA)



รูปที่ 3.9 ไม้ขุкалิปตัส (ก) ในสภาพเป็นชิ้นใหญ่ (ข) ในสภาพลดขนาด

3.3 วิธีทดลอง

3.3.1 การวิเคราะห์สมบัติของไม้ยูคาลิปตัส

1. นำเศษไม้ยูคาลิปตัสมาสับและบดเป็นชิ้นเล็ก และนำมาคัดขนาดโดยเลือกศักยภาพที่ขนาดเฉลี่ยเท่ากับ 0.714 มิลลิเมตร(20×30 mesh) ซึ่งเป็นขนาดที่มีการผลิตในระดับอุตสาหกรรม
2. วิเคราะห์องค์ประกอบแบบประมาณของไม้ยูคาลิปตัสที่คัดขนาดแล้ว โดยเครื่อง Thermogravimetric analyzer (TGA) โดยวิเคราะห์เป็นปริมาณร้อยละ โดยนำหนักได้แก่ ความชื้น สารระเหย เถ้า และ คาร์บอนคงตัว (โดยผลต่าง)
3. วิเคราะห์องค์ประกอบเชลลูลอสและเอมิเซลลูลอสของไม้ยูคาลิปตัสที่คัดขนาดแล้ว โดยใช้วิธีการของ Browning⁽³⁰⁾ และวิเคราะห์องค์ประกอบลิกนินโดยใช้วิธี TAPPI (T222-om-98)⁽³¹⁾
4. วิเคราะห์การสลายตัวทางความร้อนของไม้ยูคาลิปตัสที่คัดขนาดแล้ว โดยเครื่อง Thermogravimetric analyzer (TGA) ภายใต้สภาวะบรรยายกาศในไตรเจน อัตราการเพิ่มขึ้นของอุณหภูมิเท่ากับ 25°C ต่อนาที และอุณหภูมิสูงสุดเท่ากับ 600°C

3.3.2 การเตรียมถ่านกัมมันต์จากไม้ยูคาลิปตัสโดยวิธีกระตุ้นทางเคมี

1. นำเศษไม้ยูคาลิปตัสมาสับและบดเป็นชิ้นเล็ก และนำมาคัดขนาดโดยเลือกศักยภาพที่ขนาดเฉลี่ยเท่ากับ 0.714 มิลลิเมตร และนำไปอบแห้งที่ 100°C เป็นเวลา 24 ชั่วโมง
2. นำไม้ยูคาลิปตัสที่ได้จากข้อ 1 แช่ในสารละลายนครคฟอสฟอริกตามอัตราส่วนสารเคมีต่อวัตถุคุณิต ดังนี้ 0.5:1, 1:1, 1.5:1, และ 2:1 และศึกษาเวลาการแช่สารเคมี ดังนี้ 0.5, 1, 1.5 และ 2 ชั่วโมง
3. ทำการคาร์บอนไนซ์ไม้ยูคาลิปตัสที่ได้จากข้อ 2 ภายใต้บรรยายกาศแก๊สไนโตรเจน ที่อุณหภูมิ $300, 400, 500$, และ 600°C และเลือกเวลาการคาร์บอนไนซ์ 1 ชั่วโมง
4. ถังสารเคมีที่ยังคงอยู่ในถ่านกัมมันต์ ด้วยน้ำกลั่นจนกว่า pH จะคงที่
5. อบถ่านกัมมันต์ให้แห้ง แล้วเก็บไว้ในโดดความชื้น

3.3.3 การวิเคราะห์สมบัติของถ่านกัมมันต์

1. การคำนวณหาร้อยละผลผลิตรวมของถ่านกัมมันต์จากสมการ

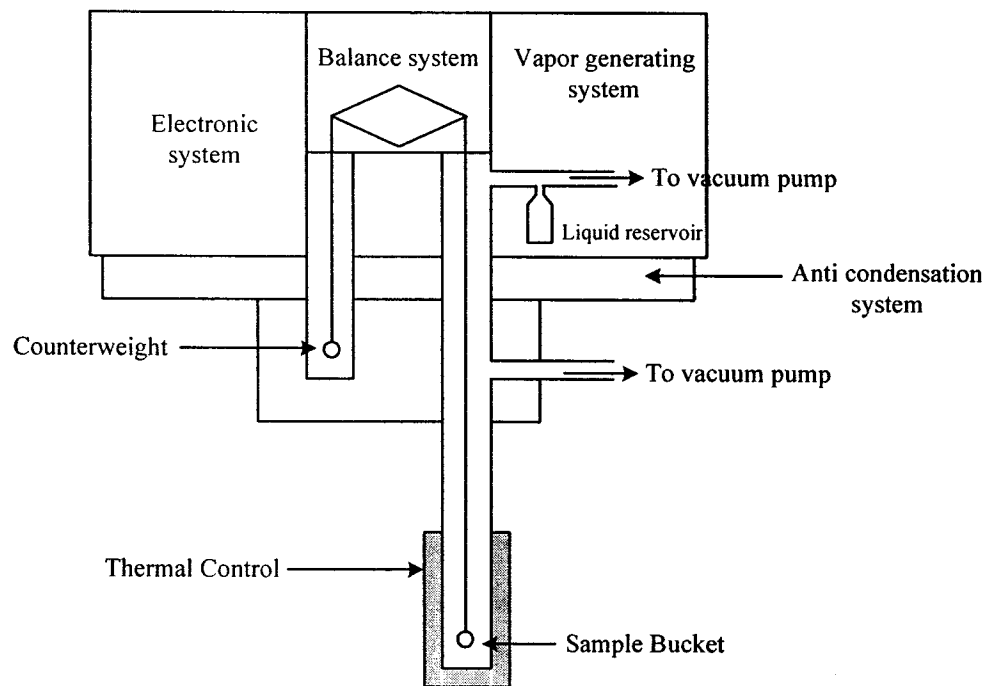
$$\text{ร้อยละผลผลิตรวม} = \frac{\text{น้ำหนักของถ่านกัมมันต์}}{\text{น้ำหนักของวัตถุคุณิต}} \times 100$$

2. วิเคราะห์องค์ประกอบแบบประมาณของถ่านกัมมันต์ โดยเครื่อง Thermogravimetric analyzer (TGA) โดยวิเคราะห์เป็นปริมาณร้อยละ โดยน้ำหนัก ได้แก่ ความชื้น สารระเหย เต้า และ การบ่อนองค์ตัว (โดยผลต่าง)
3. วิเคราะห์พื้นที่ผิวและปริมาตรรูพรุนถ่านกัมมันต์ โดยเครื่อง Surface area analyzer (ASAP 2010) โดยใช้ข้อมูลไอโซเทิร์มการดูดซับแก๊สในไตรเจน ที่อุณหภูมิ -196°C (77 K) สมบัติรูพรุนที่วิเคราะห์มีดังนี้
 - 3.1 พื้นที่ผิวจำเพาะ คำนวณจากสมการของ Brunauer-Emmett-Teller (BET)
 - 3.2 ปริมาตรรูพรุนรวม คำนวณจากปริมาตรของ N_2 ที่ถูกดูดซับที่ค่าความดันสัมพัทธ์ (P/P^0) 0.98 แล้วแปลงเป็นปริมาตรของ N_2 ในสถานะของเหลว
 - 3.3 ปริมาตรรูพรุนขนาดเล็ก คำนวณจากสมการของ Dubinin-Radushkevich (DR)
 - 3.4 ปริมาตรรูพรุนขนาดกลางและใหญ่ คำนวณจากผลต่างของปริมาตรรูพรุนรวม และปริมาตรรูพรุนขนาดเล็ก
4. วิเคราะห์ปริมาณหมู่ฟังก์ชันกรดรวม พร้อมที่วิเคราะห์หมู่ฟังก์ชันกรดแยกเป็นชนิดต่างๆ ดังนี้ หมู่ฟังก์ชัน carboxylic acid หมู่ฟังก์ชัน lactonic และหมู่ฟังก์ชัน phenolic และหมู่ฟังก์ชันเบสร่วม โดยวิธี Boehm Titration ⁽³²⁾ ซึ่งวิธินี้มีสมมุติฐานในการวิเคราะห์ปริมาณหมู่ฟังก์ชันดังนี้ สารละลายนาโน NaOH ใช้วิเคราะห์หมู่ฟังก์ชันกรดร่วม สารละลายนาโน NaHCO_3 ใช้วิเคราะห์หมู่ฟังก์ชัน carboxylic acid และสารละลายนาโน Na_2CO_3 ใช้วิเคราะห์หมู่ฟังก์ชัน carboxylic acid และ lactonic และสารละลายนาโน HCl ใช้วิเคราะห์หมู่ฟังก์ชันเบสร่วม โดยมีขั้นตอนการวิเคราะห์ดังนี้
 - 4.1 ชั่งน้ำหนักถ่านกัมมันต์ปริมาณ 1 กรัม จำนวน 4 ชุด โดย
 - ชุดที่หนึ่ง เช่นในสารละลายนาโน NaOH ความเข้มข้น 0.1 M ปริมาตร 100 cc
 - ชุดที่สอง เช่นในสารละลายนาโน NaHCO_3 ความเข้มข้น 0.1 M ปริมาตร 100 cc
 - ชุดที่สาม เช่นในสารละลายนาโน Na_2CO_3 ความเข้มข้น 0.05 M ปริมาตร 100 cc
 - ชุดที่สี่ เช่นในสารละลายนาโน HCl ความเข้มข้น 0.1 M ปริมาตร 100 cc
 จากนั้นเบย่าของผสมทั้งสองชุดเป็นเวลา 24 ชั่วโมง
 - 4.2 กรองถ่านกัมมันต์ออกจากสารละลายน้ำ
 - 4.3 ทำการไทเกอร์ตสารละลายน้ำที่ได้หลังจากการกรองถ่านกัมมันต์ ของแต่ละชุดดังนี้
 - ชุดที่หนึ่ง สอง และสาม ไทเกอร์ด้วยสารละลายนาโน HCl ความเข้มข้น 0.1 M
 - ชุดที่สี่ ไทเกอร์ด้วยสารละลายนาโน NaOH ความเข้มข้น 0.1 M

- 4.4 ปริมาณหมู่ฟังก์ชันกรดรวม คำนวณจากปริมาณ สารละลายน HCl ที่ใช้ในการ
ไหเทรตสารละลายนชุดที่หนึ่ง
- 4.5 ปริมาณหมู่ฟังก์ชัน carboxylic acid คำนวณจากปริมาณ สารละลายน HCl ที่ใช้ในการ
ไหเทรตสารละลายนชุดที่สอง
- 4.6 ปริมาณหมู่ฟังก์ชัน lactonic คำนวณจากปริมาณผลต่างของ ปริมาณหมู่ฟังก์ชัน
carboxylic acid และ lactonic ที่คำนวณจากสารละลายน HCl ที่ใช้ในการไหเทรต
สารละลายนชุดที่สาม กับปริมาณหมู่ฟังก์ชัน carboxylic acid จากข้อ 4.5
- 4.7 ปริมาณหมู่ฟังก์ชัน phenolic คำนวณจากผลต่างของปริมาณหมู่ฟังก์ชันกรดรวม
จากข้อ 4.4 กับปริมาณหมู่ฟังก์ชัน carboxylic acid และ lactonic
- 4.8 ปริมาณหมู่ฟังก์ชันเบสรวม คำนวณจากปริมาณสารละลายน NaOH ที่ใช้ในการ
ไหเทรตสารละลายนชุดที่สี่

3.3.4 การคุณซับไอน้ำด้วยถ่านกัมมันต์

1. การคุณซับไอน้ำ ได้ทำการวิเคราะห์โดยใช้เครื่อง Intelligent Gravimetric Analyzer (IGA) ซึ่งเป็นเครื่องมือที่ใช้วัดไอโซเทร์มการคุณซับแก๊สหรือไอดับบลิกการการซั่ง
นำหนัก และทำงานแบบอัตโนมัติโดยผ่านการควบคุมจากคอมพิวเตอร์ ซึ่งมีแพนผัง
ดังรูปที่ 3.10
2. ถ่านกัมมันต์ที่ใช้ในการวิเคราะห์ จะมีปริมาณเท่ากับ 0.1 กรัม โดยใส่ในที่ใส่สาร
ตัวอย่างของเครื่อง IGA
3. ขั้นตอนแรกของการวิเคราะห์ คือการ ไล่สิ่งเจือปนที่มีอยู่ในถ่านกัมมันต์ ด้วย
กระบวนการ Degas ที่อุณหภูมิ 250°C ภายใต้สภาวะสุญญากาศ เป็นเวลาอย่างน้อย 5
ชั่วโมง
4. ช่วงความดันสัมพัทธ์ที่ศึกษา ไอโซเทร์มนี้ค่าเท่ากับ 0.0-0.94 และอุณหภูมิการคุณซับที่
ศึกษาในงานวิจัยนี้คือ 30°C



รูปที่ 3.10 แผนผังเครื่อง Intelligent Gravimetric Analyzer (IGA)

บทที่ 5

สรุปผลและข้อเสนอแนะ

งานวิจัยนี้ในเบื้องต้นมุ่งศึกษาการปรับปรุงสมบัติเคมีพื้นผิวของถ่านกัมมันต์ที่เตรียมจากไม้ยูคาลิปตัสโดยวิธีกระตุนทางเคมีด้วยกรดฟอสฟอริก แต่เนื่องจากโครงการได้รับอนุมัติในช่วงปีแรกเท่านั้น ในรายงานวิจัยนี้จึงได้ศึกษาเฉพาะในส่วนของการเตรียมถ่านกัมมันต์จากไม้ยูคาลิปตัสโดยวิธีกระตุนทางเคมีด้วยกรดฟอสฟอริก โดยศึกษาสภาวะการเตรียมได้แก่ อุณหภูมิการรับอินซ์ อัตราส่วนสารเคมีต่อวัตถุดิบ และเวลาการแช่สารเคมี ต่อสมบัติถ่านกัมมันต์ และการคุณภาพไอน้ำด้วยถ่านกัมมันต์ที่เตรียมได้ โดยเปรียบเทียบลักษณะไอโซเทรีนของการคุณภาพไอน้ำบนถ่านกัมมันต์ที่มีค่าปริมาณหมู่ฟังก์ชันและค่าพื้นที่ผิวและลักษณะความพรุนที่แตกต่างกัน ผลการวิจัยสรุปได้ดังนี้

1. ไม้ยูคาลิปตัสมีสมบัติพื้นฐานที่ดีสำหรับใช้เป็นวัตถุดิบในการผลิตถ่านกัมมันต์คือมีปริมาณการรับอินซ์ตัวสูง และปริมาณเด้าน้อย จัดอยู่ในประเภทไม้เนื้อแข็ง และมีช่วงการสลายตัวเชิงความร้อนหลัก อยู่ในช่วงอุณหภูมิ $280-380^{\circ}\text{C}$ ซึ่งในช่วงอุณหภูมนี้น้ำหนักหายไปประมาณร้อยละ 55 สอดคล้องกับร้อยละผลผลิตที่ได้ซึ่งอยู่ในช่วง 41-49

2. การเตรียมถ่านกัมมันต์จากไม้ยูคาลิปตัสโดยวิธีกระตุนทางเคมีด้วยกรดฟอสฟอริก โดยใช้สภาวะอุณหภูมิการรับอินซ์ $300-600^{\circ}\text{C}$ อัตราส่วนสารเคมีต่อวัตถุดิบ 0.5-2 และเวลาการแช่สารเคมี 0.5-2 ชั่วโมง พนว่าสภาวะการเตรียมที่ได้พื้นที่ผิวสูงสุดและปริมาณหมู่ฟังก์ชันมากที่สุด ได้แก่ อุณหภูมิการรับอินซ์ 400°C อัตราส่วนสารเคมีต่อวัตถุดิบ 1.5:1 และเวลาในการแช่สารเคมี 1.5 ชั่วโมง

3. การเพิ่มขึ้นของค่าสภาวะที่ใช้ในการเตรียมถ่านกัมมันต์ทั้งสามตัวแปร ได้แก่ อุณหภูมิการรับอินซ์ อัตราส่วนสารเคมีต่อวัตถุดิบ และเวลาการแช่สารเคมี ส่งผลต่อสมบัติถ่านกัมมันต์ที่ได้เป็นไปในลักษณะแนวโน้มเดียวกันคือ สมบัติความพรุน เช่น พื้นที่ผิวและปริมาตรรูพรุนมีค่าเพิ่มขึ้น

4. การนำถ่านกัมมันต์ที่มีปริมาณหมู่ฟังก์ชันและพื้นที่ผิวและลักษณะความพรุนแตกต่างกันไปทดสอบการคุณภาพไอน้ำ พนว่าการคุณภาพไอน้ำของถ่านกัมมันต์ทั้งสองชนิดแสดงลักษณะไอโซเทรีนแบบ Type III ถ่านกัมมันต์ที่มีพื้นที่ผิวและปริมาณหมู่ฟังก์ชันมากกว่าคุณภาพไอน้ำได้น้อยกว่า ในช่วงความดันสัมพัทธ์ไอน้ำน้อยกว่า 0.5 แต่มีความดันไอน้ำเพิ่มขึ้นกว่านี้ ถ่านกัมมันต์ชนิดนี้สามารถคุณภาพไอน้ำได้เพิ่มมากขึ้นตามค่าความดันที่สูงขึ้น ซึ่งต่างกับถ่านกัมมันต์ที่มีพื้นที่ผิวและปริมาณหมู่ฟังก์ชันลดลงน้อยกว่า พนว่าการคุณภาพไอน้ำมีแนวโน้มคงที่

5. จากกลไกการคุณภาพไอน้ำทำให้พบว่าที่ความดันไอน้ำต่ำความหนาแน่นของการกระจายหมู่ฟังก์ชัน gruben พื้นผิวถ่านกัมมันต์เป็นตัวแปรสำคัญต่อการคุณภาพไอน้ำ โดยถ้ามีความหนาแน่นอยู่มากจะทำให้คุณภาพไอน้ำได้มากและเร็วกว่า แต่ที่ความดันไอน้ำสูง ค่าพื้นที่ผิวและลักษณะความพรุน

ของถ่านกัมมันต์เป็นตัวแปรที่สำคัญ โดยถ้ามีพื้นที่ผิวนากกว่าและรูพรุนขนาดใหญ่กว่าจะมีปริมาณการดูดซับไอน้ำได้มากกว่า

ข้อเสนอแนะ

1. ควรนำถ่านกัมมันต์ที่เตรียมโดยวิธีกระตุ้นทางเคมีที่ได้จากการวิจัยนี้ไปศึกษาการปรับสภาพเคมีพื้นผิวดองถ่านกัมมันต์เพื่อเพิ่มชนิดและปริมาณของหมู่ฟังก์ชันซึ่งจะทำให้พื้นผิวถ่านกัมมันต์มีความเป็นขั้วนากขึ้น เพื่อให้สามารถนำถ่านกัมมันต์ไปใช้ในการดูดซับสารต่าง ๆ ที่มีความเป็นขั้วได้อย่างหลากหลายยิ่งขึ้น
2. ควรศึกษาการเตรียมถ่านกัมมันต์โดยวิธีกระตุ้นทางกายภาพ โดยใช้ไอน้ำ หรือ แก๊สการบูน ไดออกไซด์ เพื่อศึกษาถึงกลไกการพัฒนารูปรุนของถ่านกัมมันต์จากวิธีการกระตุ้นทางกายภาพ เนื่องจากมีสมบัติรูปรุนและเคมีพื้นผิวที่แตกต่างจากถ่านกัมมันต์ที่เตรียมโดยวิธีกระตุ้นทางเคมีของงานวิจัยนี้ และปรับสภาพสภาพเคมีพื้นผิวดองถ่านกัมมันต์ เพื่อผลิตถ่านกัมมันต์มีสมบัติต่าง ๆ ได้ตามที่ต้องการ ทั้งนี้เพื่อเปรียบเทียบกับผลวิจัยที่ได้ในข้อเสนอแนะที่ 1 ซึ่งจะนำไปสู่การผลิตถ่านกัมมันต์ที่มีคุณภาพดีและตรงกับการใช้งานมากที่สุด
3. จากงานวิจัยนี้ทำให้ทราบว่า ไม่มีค่าลิปตัสมีศักยภาพสูงในการนำมาผลิตถ่านกัมมันต์ที่มีคุณภาพดี จึงควรมีการศึกษาการเตรียมถ่านกัมมันต์และปรับสภาพเคมีพื้นผิวในระบบต่อเนื่อง เช่น ระบบเบดเคลลี่อันที่หรือระบบฟลูอิไดซ์เบด เพื่อเป็นข้อมูลเพิ่มฐานสำหรับการศึกษาการผลิตถ่านกัมมันต์ในระดับอุตสาหกรรมต่อไป

បររាយអ្នករោម

1. The Customs Department, Ministry of Finance. 2005. Import/Export Statistics (Online). Available from: www.customs.go.th/Statistic/Statistic_Index.jsp
2. Freedonia Group. 2006. New global industry forecast to 2010 & 2015: World activated carbon (Online). Available from: http://freedonia.ecnext.com/coms2/summary_0285-335109_ITM
3. Yang R. T. (2003). Adsorbents Fundamentals and Applications. John Wiley & Sons: USA.
4. Bansal R. C., Donnet J. B. and Stoeckli F. (1998). Active Carbon. Marcel Dekker Inc: New York.
5. Jagtoyen M., Derbyshire F. (1988). Activated carbons from yellow poplar and white oak by H_3PO_4 activation. Carbon. 36. 1085-1097.
6. Benaddi H., et al. (2000). Surface functionality and porosity of activated carbons obtained from chemical activation of wood. Carbon. 38. 669-674.
7. Lee W. H. and Reucroft P. J. (1999). Vapor adsorption on coal- and wood-based chemically activated carbons (I) Surface oxidation states and adsorption of H_2O . Carbon. 37. 7-14.
8. Salame I. I. and Bandosz T. J. (2001). Surface chemistry of activated carbons: Combining the results of Temperature programmed desorption, Boehm, and Potentiometric titrations. Journal of Colloid and Interface Science. 240. 252-258.
9. Considine R., Denoyel R., Pendleton P., Schumann R. and Wong S. H. (2001). The influence of surface chemistry on activated carbon adsorption of 2-methylisoborneol from aqueous solution. Colloids and Surfaces A. 179. 271-280.
10. Wu S. H. and Pendleton P. (2001). Adsorption of anionic surfactant by activated carbon: Effect of surface chemistry, ionic strength, and hydrophobicity. Journal of Colloid and Interface Science. 243. 306-315.
11. Cordero T., et al. (2002). Influence of surface composition and pore structure on Cr(III) adsorption onto activated carbons. Industrial & Engineering Chemistry Research. 41. 6042-6048.
12. El-Sayed Y. and Bandosz T. J. (2004). Adsorption of valeric acid from aqueous solution onto activated carbons: Role of surface basic sites. Journal of Colloid and Interface science. 273. 64-72.

13. Marsh H. (2001). Activated carbon compendium. Elsevier Science: Amsterdam.
14. Bandosz T. J., et al. (2003). Molecular models of porous carbons. In Radovic L.R. (ed.). Chemistry and Physics of Carbon. 28. 41-228.
15. Brunauer S., Deming L. S., Deming W. E. and Teller E. (1940). On a theory of the van der Waals adsorption of gases. J. Amer. Chem. Soc. 62. 1723-1732.
16. Foley N. J., Thomas K. M., Forshaw P. L., Stanton D. and Norman P. R. (1997). Kinetics of water vapor adsorption on activated carbon. Langmuir 13. 2083-2089.
17. Do D. D. and Do H. D. (2000). A model for water adsorption in activated carbon. Carbon. 38. 767-773.
18. Brennan J. K., Bandosz T. J., Thomson K. T., Gubbins K. E. (2001). Review: water in porous carbons. Colloids Surf. A. 187-188. 539-568.
19. Puri B. R. (1966). Chemisorbed oxygen evolved as carbon dioxide and its influence on surface reactivity of carbons. Carbon. 4. 391-400.
20. McCallum C. L., Bandosz T. J., McGrother S. C., Muller E. A. and Gubbins K. E. (1999). A molecular model for adsorption of water on activated carbon: comparison of simulation and experiment. Langmuir. 15. 533-544.
21. Muller E. A. and Gubbins K. E. (1998). Molecular simulation study of hydrophilic and hydrophobic behavior of activated carbon surfaces. Carbon. 36. 1433-1438.
22. Muller E. A., Rull L. F., Vega L. F. and Gubbins K. E. (1996). Adsorption of water on activated carbons: a molecular simulation study. J. Phys. Chem. 100. 1189-1196.
23. Dubinin M. M. and Serpinsky V. V. (1981). Isotherm equation for water vapor adsorption by microporous carbonaceous adsorbents. Carbon. 19. 402-403.
24. Kaneko K. (2000). Specific intermolecular structure of gases confined in carbon nanospace. Carbon. 38. 287-303.
25. Iiyama T., Ruike M. and Kaneko K. (2000). Structural mechanism of water adsorption in hydrophobic micropores from situ small angle X-ray scattering. Chemical Physics letters. 331. 359-364.
26. Vernersson T., Bonelli P. R., Cerrella E. G. and Cukierman A. L. (2002). Arundo donax cane as a Precursor for Activated Carbons Preparation by Phosphoric Acid Activation. Bioresource Technology. 83. 95-104.

27. Gomez-Serrano V., Cuerda-Correa E. M., Fernandez-Gonzalez M. C., Alexandre-Franco M. F. and Macias-Garcia A. (2005). Preparation of Activated Carbon from Chesnut Wood by Phosphoric Acid-Chemical Activation. *Materials Letters*. 59. 846-853.
28. Guo Y. and Rockstraw D. A. (2007). Physicochemical properties of carbons prepared from pecan shell by phosphoric acid activation. *Bioresource Technology*. 98. 1513-1521.
29. Budinova T., et al. (2006). Characterization and application of activated carbon produced by H_3PO_4 and water vapor activation. *Fuel Processing Technology*. 87. 899-905.
30. Lee B. G. and Rowell R. M. (2004). Removal of heavy metal ions from aqueous solutions using lignocellulosic fibers. *Journal of Natural Fibers*. 1. 97-108.
31. Jimenez L, Garcia J. C., Perez I., Ariza J. and Lopez F. (2001). Acetone pulping of wheat straw: Influence of the cooking and beating conditions on the resulting paper sheets. *Industrial and Engineering Chemistry Research*. 40. 6201-6206.
32. Boehm H. P. (2002). Surface oxides on carbon and their analysis: a critical assessment. *Carbon*. 40. 145-149.
33. Daud W. M. A. W. and Ali W. S. W. (2004). Comparison on pore development of activated carbon produced from palm shell and coconut shell. *Bioresource Technology*. 93. 63-69.
34. Chang C. F., Chang C. Y., and Tsai W. T. (2000). Effects of burn-off and activation temperature on preparation of activated carbon from corn cob agrowaste by CO_2 and steam. *J. Colloid Interface Sci.* 232. 45-49.
35. Lua A. C. and Guo J. (2000). Activated carbon prepared from oil palm stone by one-step CO_2 activation for gaseous pollutant removal. *Carbon*. 38. 1089-1097.
36. Siamtree. 2003. Known (Online). Available from: <http://www.siamtree.com/known.htm>
37. Colman J. 2001. Acacia-Wattle (Online). Available from: <http://www.janinesgarden.com/plants/A/acacia.html>
38. Toles C. A., Marshall W. E. and Johns M. M. (1999). Surface functional groups on acid-activated nutshell carbons. *Carbon*. 37. 1207-1214.
39. Mowla D., Do D. D. and Kaneko K. (2003). Adsorption of water vapor on activated carbon: A brief overview. In Radovic L.R. (ed.). *Chemistry and Physics of Carbon*. 28. 229-262.
40. Salame I. I. and Bandosz T. J. (1999). Experimental study of water adsorption on activated carbons. *Langmuir*. 15. 587-593.

41. Rouquerol F., Rouquerol J. and Sing K. (1999). Adsorption by powder and porous solids: Principles, methodology and applications. Academic Press: London.
42. Miyawaki J., Kanda T. and Kaneko K. (2001). Hysteresis-associated pressure-shift-induced water adsorption in carbon micropores. Langmuir. 17. 664-669.

ภาคผนวก ก ประวัตินักวิจัย

ประวัติหัวหน้าโครงการวิจัยและผู้ร่วมวิจัย

1. ประวัติหัวหน้าโครงการวิจัย

นางมาลี ตั้งสัทธิกุลชัย (Malee Tangsathitkulchai)

ตำแหน่งปัจจุบัน

รองศาสตราจารย์ ประจำสาขาวิชาเคมี

สำนักวิชาวิทยาศาสตร์ มหาวิทยาลัยเทคโนโลยีสุรนารี

ประวัติการศึกษา

| ปีที่จบ | ระดับปริญญา | ชื่อปริญญา | สาขาวิชา | สถาบันที่จบ |
|-----------|-------------|------------|---------------------|---------------------------------------|
| พ.ศ. 2515 | ตรี | วทบ. | เคมี | มหาวิทยาลัยเชียงใหม่ |
| พ.ศ. 2517 | โท | วทม. | เคมีอนินทรีย์ | จุฬาลงกรณ์มหาวิทยาลัย |
| พ.ศ. 2523 | โท | M.S. | Inorganic Chemistry | Flinders University, Australia. |
| พ.ศ. 2529 | เอก | Ph.D. | Fuel Science | Pennsylvania State University, U.S.A. |

สาขาวิชาที่มีความชำนาญพิเศษ

- เทคโนโลยีถ่านหิน
- ถ่านก๊ามันต์และการดูดซับ

ประสบการณ์งานวิจัย

งานวิจัยที่ทำเสร็จแล้ว

(1) Reactions at Noble Metal/Ceramic Interfaces

(ผู้ร่วมวิจัย, พ.ศ. 2520-2523)

(2) Fundamental Studies of the Mechanisms of Slag Deposit Formation

(ผู้ร่วมวิจัย, พ.ศ. 2525-2529)

- (3) Sintering and Slag Deposit Formation of Thai Lignite Ashes
(ผู้ร่วมวิจัย, พ.ศ. 2534-2537)
- (4) กระบวนการซินเทอเริงของถ่านหินภายใต้สภาวะการเผาใหม่แบบฟลูอิดไซซ์เบด
(ผู้ร่วมวิจัย, ทุนอุดหนุนการวิจัย มหาวิทยาลัยเทคโนโลยีสุรนารี ปี 2540-2542)
- (5) การผลิตถ่านกัมมันต์จากถ่านหินลิกไนท์
(ผู้ร่วมวิจัย, ทุนอุดหนุนการวิจัย มหาวิทยาลัยเทคโนโลยีสุรนารี 2541-2542)
- (6) การผลิตถ่านกัมมันต์จากถ่านหินลิกไนท์โดยวิธีกระตุนทางเคมี
(ผู้ร่วมวิจัย, ทุนอุดหนุนการวิจัย มหาวิทยาลัยเทคโนโลยีสุรนารี 2543-2544)
- (7) การเตรียมถ่านกัมมันต์จากวัสดุชีวมวลและการวัดสมบัติโครงสร้างรูพรุน
(ผู้ร่วมวิจัย, ทุนอุดหนุนการวิจัยปี 2545-2546 มหาวิทยาลัยเทคโนโลยีสุรนารี)

งานวิจัยที่กำลังดำเนินการ

- (1) การปรับสภาพเคมีพื้นผิวของถ่านกัมมันต์จากไม้ยุคก่อนประวัติเพื่อเพิ่มประสิทธิภาพการดูดซับ
(หัวหน้าโครงการวิจัย, ทุนอุดหนุนการวิจัยจากกองทุนสนับสนุนการวิจัย

และ

- (2) การพัฒนาการขึ้นเส้นใหม่ด้วยสารสกัดจากแก่นฝาง
(หัวหน้าโครงการวิจัย, ทุนอุดหนุนการวิจัยปี 2550 มหาวิทยาลัยเทคโนโลยีสุรนารี)

ผลงานวิจัยที่ตีพิมพ์

มีผลงานวิจัยเกี่ยวกับการใช้ประโยชน์ถ่านหิน กระบวนการซินเทอเริงและพัฒนารวม 40 เรื่อง (ดังเอกสารแนบ)

บทความวิจัย (รศ.ดร.มาลี ตั้งสุติย์กุลชัย)

1. Bruin, H.J. de. and Tangtreeratana, M., "Diffusion of Palladium Into MgO", Technical note, J. of Physics and Chemistry of Solids, vol. 42(4), 333-334, 1981.
2. Austin, L.G., Kinnman, W.P., Abbott, M.F., and Tangsathitkulchai, M., "Ash Deposition in Syngas Coolers of Slagging Gasifiers", Electric Power Research Institute Project 1654-11, Final Report, 1984.

3. Tangsathitkulchai, M. and Austin, L.G., "Studies of Sintering of Coal Ash Relevant to Pulverized Coal Utility Boilers: Part 2: Preliminary Studies of Compressive Strength of Fly Ash Sinters", Fuel, vol 64, 86-92, 1985.
4. Tangsathitkulchai, M. and Austin, L.G., "Studies of Slag Deposit Formation Using a Laboratory Furnace", American Society of Mechanical Engineering Paper No. 85.- JPGC - Pwr-45 presented at the Jt. ASME/IEEE Power Generation Conference, Milwaukee, Wisconsin, USA, 20-24 Oct, 1985.
5. Tangsathitkulchai, M. and Austin, L.G., "Nature of the Surface Involved in Fly Ash Adhesion on Boiler Steel", Short Communications, Fuel, vol. 64, 1764-1765, 1985.
6. Benson, S.A., Tangsathitkulchai, M., and Austin, L.G., "Studies of Ash Deposit Formation Using a Laboratory Furnace", Proceeding of an Annual Pittsburgh Coal Conference, 689-694, 1985.
7. Austin, L.G., Benson, S.A., Schobert, H.H., and Tangsathitkulchai, M., "Fundamental Studies of the Mechanism of Slag Deposit Formation", U.S. Department of Energy Report DOE/FE-70770, 1987.
8. Tangsathitkulchai, M. and Tangsathitkulchai, C., "Studies of Boiler Slag Deposit Formation Using a Vertical Externally-Heated Tube Furnace", International Conference of Energy and Environment, Tara Hotel, Bangkok, November 27-30, 1990.
9. Tangsathitkulchai, C., Kuvarananchareon, C., and Tangsathitkulchai, M., "Sintering Study of Thai Lignite Ashes", 2nd Technical Meeting, Faculty of Engineering, King Mongkut Institute of Technology Thonburi, 7-8 Jun, 1994.
10. Tangsathitkulchai, M. and Tangsathitkulchai, C., "Sintering of Coal Ashes: Effects of Temperature and Atmosphere", 4th National Chemical Engineering Conference, Khon Kaen University, 20-21 Oct, 1994.
11. Tangsathitkulchai, M. and Tangsathitkulchai, C., "Sintering of Coal Ashes: Effects of Extraction and Addition of Alkali - Glass Materials", Suranaree Journal of Science and Technology, vol. 1, No.2, 123-132, 1994.
12. Tangsathitkulchai, C. and Tangsathitkulchai, M., "Effect of Environment Atmosphere on The Sintering of Thai Lignite Fly Ashes", Presented at the Engineering Foundation Conference: Application of Advanced Technology to Ash - Related Problems in Boilers, 16-21 July, New Hampshire, USA, 1995.

13. Tangsathitkulchai, C. and Tangsathitkulchai, M., "Study of Slag Deposit Formation Using Synthetic Coals", Presented at the 7th Asian Pacific Confederation of Chemical Engineers, Congress of Taipei Chem Exhibition. Taipei, Taiwan, March 4-6, 1996.
14. Tangsathitkulchai, C. and Tangsathitkulchai, M., "Sintering Behavior of Coal Ashes under Fluidized Bed Combustion Conditions", 8th National Chemical Engineering Conference, Mahidol University, 17-18 Dec, 1998.
15. Tangsathitkulchai, C. and Tangsathitkulchai, M., "Effect of Fluidized Bed Materials on the Sintering Behavior of Coal Ashes", Regional Symposium on Chemical Engineering, Prince of Songkla University, Songkla, 22-24 Nov, 1999.
16. Tangsathitkulchai, C. and Tangsathitkulchai, M., "Effect of Bed Materials and Additives on the Sintering of Coal Ashes Relevant to Agglomeration in Fluidized Bed Combustion", Fuel Processing Technology, 72, 163-183, 2001.
17. Tangsathitkulchai, C., Sittichaitaweekul, Y., and Tangsathitkulchai, M., "Temperature Effect on the Viscosities of Palm Oil and Coconut Oil Blended with Diesel Oil", J.Am. Oil Chemists' Soc., 81, 401-405, 2004.
18. Junpirom, S., Tangsathitkulchai, C., and Tangsathitkulchai, M., "Activated Carbon from Longan Seed by Carbon Dioxide Activation", Proceedings of the Regional Symposium on Chemical Engineering (RSCE2004), Bangkok, Thailand, 1-3 Dec, 2004.
19. Junpirom, S., Do, D.D., Tangsathitkulchai, C., and Tangsathitkulchai, M., "A Carbon Activation Model with Application to Longan seed Char Gasification", Carbon, 43, 1936-1943, 2005.
20. Ngernyen, Y., Tangsathitkulchai, C., and Tangsathitkulchai, M., "The Modification of Acidic Surface Functionality of Wood-Based Activated Carbon", International Carbon Conference (Carbon 2005), Hilton Hotel, Gyoongju, Korea, 3-7 Jul, 2005.
21. Luangkiattikhun, P., Tangsathitkulchai, C., and Tangsathitkulchai, M., "Porous Characteristics of Activated Carbon Produced from Oil-Palm Solid Wastes by Carbon Dioxide Activation", International Carbon Conference (Carbon 2005), Hilton Hotel, Gyengju, Korea, 3-7 Jul, 2005.
22. Junpirom, S., Tangsathitkulchai, C., and Tangsathitkulchai, M., "Water Adsorption Equilibrium of Longan Seed Activated Carbons", International Congress of Chemistry and Environment, Indore, India, 24-26 Dec, 2005.

23. Ngernyen, Y., Tangsathitkulchai, C., and Tangsathitkulchai, M., "Porous properties of Activated Carbon Produced from Eucalyptus and Wattle wood by Carbon dioxide Activation", *The Korean Journal of Chemical Engineering*, 23, 1046-1054, 2006.
24. Punsuwan, N., Tangsathitkulchai, C., and Tangsathitkulchai, M., "Chemically Activated Carbon from Bagasse and the Removal of Chromium from Aqueous Solution with Activated Carbon" (in Thai), *Suranaree Journal of Science and Technology*, 13, 143-158, 2006.
25. Jiwalak, N., Tangsathitkulchai, C., and Tangsathitkulchai, M., "Activated Carbon from Lignite Coal by Chemical Activation with Potassium Hydroxide" (in Thai), *Suranaree Journal of Science and Technology*, 13, 207-218, 2006.
26. Junpirom, S., Tangsathitkulchai, C., and Tangsathitkulchai, M., "Carbonization Temperature Effect on the Porous properties of Physically Activated Carbon from Longan Seed", *International Carbon Conference (CARBON2006)*, Aberdeen, Scotland, 16-21 July, 2006.
27. Luangkiattikhun, P., Ngernyen, Y., Junpirom, S., Tangsathitkulchai, C., and Tangsathitkulchai, M., "A Char Gasification Model for Predicting the Porous properties of Activated Carbons", *Proceedings of the Regional Symposium on Chemical Engineering (RSCE2006)*, Singapore, 3-5 Dec, 2006.
28. Ngernyen, Y., Tangsathitkulchai, C., and Tangsathitkulchai, M., "Water Vapor Adsorption on Wood-based Activated Carbon", *Proceedings of the Regional Symposium on Chemical Engineering (RSCE2006)*, Singapore, 3-5 Dec, 2006.
29. Weerachanchai, P., Tangsathitkulchai, C., and Tangsathitkulchai, M., "Characteristics of bio-oil from biomass pyrolysis", *The Conference on Energy Technology Network of Thailand (E-NETT)*, Suranaree University of Technology, Nakhon Ratchasima, 27 July, 2006.
30. Wongsooksin, K., Rattanaphani, S., Tangsathitkulchai, M., Rattanaphani, V., Tangsathitkulchai, C., and Bremner, J.B., "Spectroscopic investigation of complexes of sappanwood dyes with alum", *4th PSU Symposium on graduate research*, Prince of Songkla University, Songkla, 31 March, 2006.
31. Junpirom, S., Tangsathitkulchai, C., and Tangsathitkulchai, M., "Preparation of Activated Carbons from Longan Seed by Physical and Chemical Methods" (in Thai), *Suranaree Journal of Science and Technology*, 14, 63-76, 2007.
32. Ngernyen, Y., Tangsathitkulchai, C., Khaoya, S., Intasa-ard, W., and Tangsathitkulchai, M., "Effect of Surface Functional Groups on Water Vapor Adsorption of Eucalyptus Wood-based Activated Carbon", *Suranaree Journal of Science and Technology*, 14, 9-23, 2007.

33. Weerachanchai, P., Tangsathitkulchai, C., and Tangsathitkulchai, M., "Fuel Properties and Chemical Compositions of Bio-oils from Biomass Pyrolysis", JSAE/SAE International Fuels and Lubricants Meeting, Japan, 23-27 July, 2007.
34. Wongsooksin, K., Rattanaphani, S., Tangsathitkulchai, M., Rattanaphani, V., and Bremner, J.B., "Aluminium ion complexing with the plant dye brazilin: A UV-VIS spectroscopy study", 33rd Congress on Science and Technology of Thailand (STT33), Walailuk University, Nakhon Sri Thammarat, 18-20 Oct, 2007.
35. Luangkiattikhun, P., Tangsathitkulchai, C., and Tangsathitkulchai, M., "Non-isothermal Thermogravimetric Analysis of Oil-palm Solid Wastes", Bioresource Technology, 99, 986-997, 2008.
36. Junpirom, S., Tangsathitkulchai, C., Tangsathitkulchai, M., and Ngernyen, Y., "Water Adsorption in Activated Carbons with Different Burn-off and Its Analysis using a Cluster Model", The Korean Journal of Chemical Engineering, 25, 2008.
37. Wongsooksin, K., Rattanaphani, S., Tangsathitkulchai, M., Rattanaphani, V., and Bremner, J.B., "Study of an AL(III) complex with the plant dye Brazilein from *Ceasalpinia sappan* Linn", Suranaree Journal of Science and Technology, in press, 2008.
38. Tangsathitkulchai, M., Ngernyen, Y., and Tangsathitkulchai, C., "Incorporation of oxygen functional groups on activated carbon surfaces by air and nitric oxidation", 2nd EuChems Chemistry Congress, Torino, Italy, 16-20 Sep, 2008.
39. Tangsathitkulchai, C., Ngernyen, Y., and Tangsathitkulchai, M., "Adsorption of heavy metal ions on surface-modified activated carbon", 2nd EuChems Chemistry Congress, Torino, Italy, 16-20 Sep, 2008.
40. Wongsooksin, K., Tangsathitkulchai, M., Rattanaphani, S., Rattanaphani, V., and Tangsathitkulchai, C., "Treatment of dye effluent using activated carbons with different surface chemistries", 2nd EuChems Chemistry Congress, Torino, Italy, 16-20 Sep, 2008.

๒. ประวัติผู้ร่วมงานวิจัย

นายชัยยศ ตั้งสัตติกุลชัย (Chaiyot Tangsathitkulchai)

ตำแหน่งปัจจุบัน รองศาสตราจารย์สาขาวิศวกรรมเคมี

สำนักวิชาชีวกรรมศาสตร์

มหาวิทยาลัยเทคโนโลยีสุรนารี

ประวัติการศึกษา

| <u>ปีที่จบ</u> | <u>ระดับปริญญา</u> | <u>ชื่อปริญญา</u> | <u>สาขาวิชา</u> | <u>สถาบันที่จบ</u> |
|----------------|--------------------|-------------------|--------------------|--|
| พ.ศ. 2519 | ตรี | วทบ.(เกียรตินิยม) | วิศวกรรมเคมี | จุฬาลงกรณ์มหาวิทยาลัย |
| พ.ศ. 2523 | โท | M.App.Sc. | วิศวกรรมเคมี | University of Adelaide, Australia. |
| พ.ศ. 2529 | เอก | Ph.D. | Mineral Processing | Pennsylvania State University, U.S.A. |

สาขาวิชาที่มีความชำนาญพิเศษ

- เทคโนโลยีถ่านหิน
- การบดเบี่ยงวัสดุ
- ถ่านกัมมันต์และการคุณภาพ

ผลงานวิจัยที่ตีพิมพ์

มีผลงานวิจัยด้านถ่านหินและเทคโนโลยีอนุภาค รวม ๖๖ เรื่อง (ดังเอกสารแนบ)

ประสบการณ์ที่เกี่ยวข้องกับงานวิจัย

งานวิจัยที่ทำเสร็จแล้ว

| ชื่อเรื่อง | แหล่งทุน | ปีที่ทำเสร็จ | สถานภาพ |
|--|--|--------------|----------------|
| 1. Improved Producer Gas Cleaning System | USAID | 2533 | ผู้ร่วมวิจัย |
| 2. การพัฒนาระบบฟลูอิดไดซ์เบด หมุนเวียน | สถาบันวิจัยแห่งชาติ | 2535 | หัวหน้าโครงการ |
| 3. ระบบผลิตพลังงานความร้อนจากแกลบข้าว | สถาบันวิจัยแห่งชาติ | 2537 | ผู้ร่วมวิจัย |
| 4. การพัฒนาหม้อกํานิดไอน้ำฟลูอิดไดซ์เบดสำหรับอุตสาหกรรมขนาดเล็ก | ASEAN-Australian Energy Program | 2537 | ผู้ร่วมวิจัย |
| 5. การจำแนกถ้าโลยลิกไนท์ที่เหมาะสมจากแม่เมะเพื่อใช้ในงานคอนกรีต | การไฟฟ้าฝ่ายผลิตแห่งประเทศไทย | 2541 | ผู้ร่วมวิจัย |
| 6. กระบวนการซินเทอริงของถ้าถ่านหินภายใต้สภาพการเผาใหม่แบบฟลูอิดไไดซ์เบด | ทุนอุดหนุนการวิจัย มหาวิทยาลัยเทคโนโลยีสุรนารี | 2542 | หัวหน้าโครงการ |
| 7. การผลิตถ่านกัมมันต์จากถ่านหินถิกไนท์โดยวิธีกระตุ้นทางเคมี | ทุนอุดหนุนการวิจัย มหาวิทยาลัยเทคโนโลยีสุรนารี | 2542 | หัวหน้าโครงการ |
| 8. การผลิตถ่านกัมมันต์จากถ่านหินถิกไนท์โดยวิธีกระตุ้นทางเคมีของน้ำมันปาล์ม | ทุนอุดหนุนการวิจัย มหาวิทยาลัยเทคโนโลยีสุรนารี | 2544 | หัวหน้าโครงการ |
| 9. คุณสมบัติทางเชื้อเพลิงและทางเคมีของน้ำมันปาล์ม | สำนักงานกองทุนสนับสนุนการวิจัย (สกว.) | 2546 | หัวหน้าโครงการ |

| ชื่อเรื่อง | แหล่งทุน | ปีที่กำกับธุริจ | สถานภาพ |
|--|---|-----------------|----------------|
| 10. การผลิตถ่านกัมมันต์จากถ่านหิน ลิกไนท์ด้วยวิธีกระตุนทางเคมี | ทุนอุดหนุนการวิจัย มหาวิทยาลัย เทคโนโลยีสุรนารี | 2543-2544 | หัวหน้าโครงการ |
| 11. การเตรียมถ่านกัมมันต์จากวัสดุ ชีวมวลและการวัดสมบัติโครง สร้างรูพรุน | ทุนอุดหนุนการวิจัย มหาวิทยาลัย เทคโนโลยีสุรนารี | 2545-2546 | หัวหน้าโครงการ |
| 12. สมดุลย์และจalonพลศาสตร์การ ดูดซับของถ่านกัมมันต์ที่เตรียม ¹ จากเม็ดลำไย | ทุนโครงการปริญญา เอกภาษาจีนากิเม็ก รุ่นที่ 3 | 2543-2547 | หัวหน้าโครงการ |
| 13. การเตรียมและวัดสมบัติของ ถ่านกัมมันต์จากกล้าและเส้น ใบปาล์มน้ำมัน | ทุนโครงการปริญญา เอกภาษาจีนากิเม็ก รุ่นที่ 4 | 2544-2548 | หัวหน้าโครงการ |
| 14. การปรับสภาพพื้นผิวของถ่าน ² กัมมันต์จากไม้โคลเรว | ทุนโครงการปริญญา เอกภาษาจีนากิเม็ก รุ่นที่ 5 | 2545-2549 | หัวหน้าโครงการ |

งานวิจัยที่กำลังดำเนินการ

| เรื่อง | แหล่งทุน | ระยะเวลา | สถานภาพ |
|--|---|-----------|----------------|
| 1. กระบวนการไฟฟ้าโลชีสของ วัสดุชีวมวล | ทุนโครงการปริญญาเอก ภาษาจีนากิเม็ก รุ่นที่ 6 | 2546-2550 | หัวหน้าโครงการ |
| 2. วัสดุแก้วพรุนจากถ่านอยลิกไนท์ | ทุนโครงการปริญญาเอก ภาษาจีนากิเม็ก รุ่นที่ 7 | 2547-2551 | หัวหน้าโครงการ |

บทความวิจัย (รศ.ดร.ชัยยศ ตั้งสุทธิ์กุลชัย)

1. C. Tangsathitkulchai and L.G. Austin, "The Effect of Slurry Density on Breakage Parameters of Quartz, Coal and Copper Ore in a Laboratory Ball Mill", Powder Technology, vol. 42, 287-296, 1985.
2. C. Tangsathitkulchai, "The Rheological Behavior of Homogeneous Suspensions of Coal and Quartz Slurries", KMITT Research and Development Bulletin, vol.10, No.1, 34-59, 1987.
3. L.G. Austin and C. Tangsathitkulchai, "Comparison of Methods for Sizing Ball Mills Using Open-Circuit Wet Grinding of Phosphate Ore as a Test Example", Ind. Eng. Chem. Res., vol.26, 997-1003, 1987.
4. T. Sakulpanich, P. Thitthiwong, D. Khummongkol, and C.Tangsathitkulchai, "Gasification of Coconut Shell with a Purpose of Charcoal Production", Proceedings of the Regional Symposium on Petrochemical Technology' 87, Chulalongkorn University Bangkok, Thailand, 14-17 Dec, 1987.
5. C. Tangsathitkulchai, "Fluidized - Bed Cooling Tower", Proceedings of the Regional Symposium on Petrochemical Technology' 87, Chulalongkorn University Bangkok, Thailand, 14-17 Dec, 1987.
6. C. Tangsathitkulchai and L.G. Austin, "Rheology of Concentrated Slurries of Particles of Natural Size Distribution Produced by Grinding ", Powder Technology, vol. 56, 293-299,1988.
7. C. Tangsathitkulchai, "Slowing - Down Effect in Fine Wet Grinding ", paper presented at Joint Technical Seminar on Powder Technology (Thai - Japan), Technological Promotion Association (Thai - Japan), Bangkok, 21 Nov, 1988.
8. C. Tangsathitkulchai and L.G. Austin, "Slurry Density Effects on Ball Milling in a Laboratory Ball Mill, Powder Tech. vol. 59, No. 4,285 -289, 1989.
9. D. Khummongkol and C. Tangsathitkulchai, "A Model for Tar - Removal Efficiency from Biomass - Produced Gas Impinging on a Water Surface", Energy, Vol. 14, No. 3, 113 -121, 1989.
10. C. Tangsathitkulchai, "Evaporative Cooling of Water in a Spouted Bed Contactor", Technical Meeting on Heat, Mass and Momentum Transfer, The Engineering Institute of Thailand, 12 - 13 Dec, 1989.
11. C. Tangsathitkulchai, " Slowing - Down Effect in Fine Wet Grinding, TIZ International Powder Magazine, vol.113, No.10,802 -804, 1989.

12. C. Tangsathitkulchai, and D. Khummongkol, "Cleaning of Producer Gas from a Rice Husk Gasifier by Impingement on a Water Surface", International Conference on Energy & Environment, Tara Hotel,Bangkok, 27 - 30 Nov, 1990.
13. M. Tangsathitkulchai and C.Tangsathitkulchai "Study of Boiler Slag Deposit Formation Using a Vertical Externally - Heated Tube Furnace", International Conference on Energy & Environment, Tara Hotel, Bangkok, 27 - 30 Nov, 1990.
14. C. Tangsathitkulchai, "Water Cooling in a Three - Phase Spouted Bed", the First National Chemical Engineering Conference, Siam Intercontinental Hotel, Bangkok, 17-19 Dec,1990.
15. S. Suwanayuen, C. Tangsathitkulchai, S. Tia, and V. Kritpiphat, "A Multifuel Fluidized Bed Boiler for Small Scale Industrial Use: System Design", the First National Chemical Engineering Conferenec, Siam Intercontinental Hotel, Bangkok, 17 -19 Dec, 1990.
16. C. Tangsathitkulchai, "Sizing of Ball Mills Using a Size - Mass Balance Approach", 2nd Japan - Thailand Symposium on Powder Technology - Applications to Environmental Protection, New Material and Industrial Pharmacy, Faculty of Engineering, Chulalongkorn University, 22 - 23 Aug, 1991.
17. ชัยยศ ตั้งสاثิตkulchai, บทความวิชาการ เรื่อง “ปัญหามลภาวะจากการใช้ถ่านในตู้และการป้องกัน”, วารสารเทคโนโลยี สาขาว., ฉบับที่ 1 ปีที่ 4 เดือนตุลาคม 2534.
18. C. Tangsathitkulchai, S. Tia, S. Suwanayuen, A. Dararuja, and P. Reungsin, "Mixing of Rice Husk in a Fluidized Bed of Sand", Conference on Advance in Chemical Engineering, B.P. Grand Tower Hotel, Songkla, 25 -26 Jun, 1991.
19. S. Suwanayuen, T. Chayawattana, Y. Surachpakorn, S. Tia, and C. Tangsathitkulchai, "Combustion of Rice Hull in a Fluidized Bed Furnace", ASEAN J. Sci & Tech., vol 9, No. 2, 107 - 115, 1992.
20. S. Suwanayuen, S. Tia, C. Tangsathitkulchai, P. Raungsin, and A. Dararuja, "Mixing of Fuel Particles in a Fluidized Bed of Sand, ASEAN J. Sci & Tech., vol 9, No.2, 143 -150, 1992.
21. S. Suwanayuen, S. Tia, C. Tangsathitkulchai, T. Pursakasemsug, and W. Promboon, "A Cold Model Study of Erosion in a Gas Fluidized Bed of Sand", Res. Dev. J. of Eng.Inst. Thailand, vol.3, No. 2, 1992.
22. S. Suwanayeun, C. Tangsathitkulchai, and S. Tia, "Lignite Fluidized Bed Combustor for Small - Scale Industrial Use", ASEAN FBC Workshop, Bundung, Indonesia, 12-14 Apr, 1993.
23. C. Tangsathitkulchai et.al., "Fluidized Bed Combustion of Rice Hull", proceeding of 1st Technical Meeting of Engineering Faculty, KMUTT, 8 - 9 Jun, 1993.

24. S. Suwanayeun, C. Tangsathitkulchai, and S. Tia. "Performance of KMITT - Prototype Fluidized Bed Boiler: Effects of Fuel Type & Size", the 5th ASEAN Conf. on Energy Tech., Tara Hotel, Bangkok, 25 -27 Apr, 1994.
25. S. Suwanayeun, C. Tangsathitkulchai, and S. Tia, "Emission Characteristics of KMITT Prototype Fluidized Bed Boiler", the 5th ASEAN Conf. on Energy Tech, Tara Hotel, Bangkok, 25 -27 Apr, 1994.
26. C. Tangsathitkulchai, C. Kuvarananchareon, and M. Tangsathitkulchai, "Sintering Study of Thai Lignite Ashes", 2nd Technical Meeting of Engineering Faculty, KMITT, 7 - 8 Jun, 1994.
27. C. Tangsathitkulchai, S. Suwanayeun, and S. Tia, "Evaluation of a 2MW Fluidized Bed Boiler Burning Thai Lignite", 4th ASIAN Conf. on Fluidized Bed and Three - Phase Reactors, Fukuoka, Japan, 28-30 Nov, 1994.
28. C. Tangsathitkulchai, "Acceleration of Particle Breakage Rate in a Laboratory Wet Ball Mill", Mining Engineering Conf., B.P. Grand Tower, Songkla, 24 - 25 Nov, 1994.
29. M. Tangsathitkulchai and C. Tangsathitkulchai, "Sintering of Coal Ashes: Effects of Temperature and Atmosphere", 4th Chem. Eng. Conf., Khonkaen Univ., 20-21Oct, 1994.
30. M. Tangsathitkulchai and C. Tangsathitkulchai "Sintering of Coal Ashes: Effects of Extraction and Addition of Alkali Glass Materials, Suranaree J. Sci. Technol.,1, No.2,123 - 132, 1994.
31. C. Tangsathitkulchai and M. Tangsathitkulchai, "Effect of Environment Atmosphere on the Sintering of Thai Lignite Fly Ashes", Eng. Found. Conf. on Application of Advanced Technologies to Ash - Related Problem in Boilers, New Hampshire, USA, 16-21 July, 1995.
32. S. Tia, C. Tangsathitkulchai, and P. Dumronglaohapun, "Continuous Drying of Slurry in a Jet Spouted Bed", Drying Technology, 13 (8&9), 1825 – 1840, 1995.
33. C. Tangsathitkulchai and M. Tangsathitkulchai, "Study of Slag Deposit Formation using Synthetic Coals", 7th APCCHE Congress, Taipei, Mar 4 - 6, 1996.
34. ไกรวุฒิ เกียรติโภณล, ชัย ชาตรพิทักษ์กุล, เอนก ศิริพานิชกร, จาเรวัตน์ วนิสรากุล , พยูร เกตุกราย , สมิตร ส่งพิริยะกิจ , พิชัย นิมิตยงสกุล , ปริญญา จินดาประเสริฐ , ชัยยศ ตั้ง สถิตย์กุลชัย , ทิน เกตุรัตนบวร “การคัดเลือกถ่านหินที่เหมาะสมสำหรับงานคอนกรีต สกัดเบ็ดกุลชัย , ทิน เกตุรัตนบวร “การคัดเลือกถ่านหินที่เหมาะสมสำหรับงานคอนกรีต (Classified Fly Ash for Concrete Utilization)”, บทความเสนอในการประชุมใหญ่ทางวิชาการประจำปี 2539 สมาคมวิศวกรรมสถานแห่งประเทศไทย , 15-18 สิงหาคม 2539, ศูนย์การประชุมแห่งชาติสิริกิติ์

35. S.Tia, S. Suwanayuen, C. Tangsatitkulchai, C. Phromvichit, and W. Nimipal, "Heat Transfer Characteristics in a Small - Scale Fluidized Bed Boiler", Int. J. Energy Research, vol.20, 521- 530, 1996.
36. C. Tangsatitkulchai and M. Tangsatitkulchai, "Sintering Behavior of Coal Ashes under Fluidized Bed Combustion Conditions", Proceedings of 8th Chemical Engineering Conference, Mahidol University, 17-18 Dec, 1998.
37. C. Tangsathitkulchai and M. Tangsathitkulchai, "Effect of Fluidized Bed Materials on Sintering Behavior of Coal Ashes", Regional Symposium on Chemical Engineering, Prince of Songkla University, 22 - 24 Nov, 1999.
38. C. Tangsathitkulchai and M. Tangsathitkulchai, "Effect of Bed Materials and Additives on the Sintering of Coal Ashes Relevant to Agglomeration in Fluidized Bed Combustion", Fuel Processing Technology, 72, 163-183, 2001.
39. C. Tangsathitkulchai, "Acceleration of Particle Breakage Rates in Wet Batch Ball Milling", Powder Technology, 124, 67-75, 2002.
40. C. Tangsathitkulchai, "The Effect of Slurry Rheology on Fine Grinding in a Laboratory Ball Mill", International Journal of Mineral Processing, 69, 29-47, 2003.
41. C. Tangsathitkulchai, "Effects of Slurry Concentration and Powder Filling on the Net Mill Power of a Laboratory Ball Mill", Powder Technology, 137, 131-138, 2003.
42. C. Tangsathitkulchai, Y. Sittichaitaweekul and M. Tangsathitkulchai, "Temperature Effect on The Viscosities of Palm Oil and Coconut Oil Blended with Diesel Oil", Journal of American Oil Chemists' Society, 81, 401-405, 2004.
43. C. Tangsathitkulchai, "The Effect of Medium Viscosity on Breakage Parameters of Quartz in a Laboratory Ball Mill, Industrial & Engineering Chemistry Research, 43, 2104-2112, 2004.
44. S. Junpirom, C. Tangsathitkulchai, and M. Tangsathitkulchai, "Activated Carbon from Longan Seed by Carbon Dioxide Activation", paper presented at the Regional Symposium on Chemical Engineering (RSCE2004), Grand Hotel, Bangkok, 1-3 Dec, 2004.
45. S. Junpirom, D. D. Do, C. Tangsathitkulchai, and M. Tangsathitkulchai, "A Carbon Activation Model with Application to Longan Seed Char Gasification", Carbon, 43, 1936-1943, 2005.
46. Y. Ngernyen, C. Tangsathitkulchai, and M. Tangsathitkulchai, "The Modification of Acidic Surface Functionality of Wood-Based Activated Carbon", International Carbon Conference (CARBON2005), Hilton Hotel, Gyeongju, Korea, 3-7 Jul, 2005.

47. P. Luangkiattikhun, C. Tangsathitkulchai, and M. Tangsathitkulchai, "Porous Characteristics of Activated Carbon Produced from Oil-Palm Solid Wastes by Carbon Dioxide Activation", International Carbon Conference (CARBON2005), Hilton Hotel, Gyeongju, Korea, 3-7 Jul, 2005.
48. S. Junpirom, C. Tangsathitkulchai, and M. Tangsathitkulchai, "Water Adsorption Equilibrium of Longan Seed Activated Carbons", International Congress of Chemistry and Environment, Indore, India, 24-26 Dec, 2005.
49. S. Kruaysawat and C. Tangsathitkulchai, "Increasing Adsorption Efficiency of Activated Carbon for H₂S Removal by Surface Oxidation and Metal Addition", The 16th International Conference on Quantitative Methods for the Environmental Sciences, Friendship Hotel, Beijing, China, 21-26 Aug, 2005.
50. Y. Ngernyen, C. Tangsathitkulchai, and M. Tangsathitkulchai, "Porous properties of Activated Carbon Produced from Eucalyptus and Wattle wood by Carbon dioxide Activation", The Korean Journal of Chemical Engineering, 23, 1046-1054, 2006.
51. N. Punsuwan, C. Tangsathitkulchai, and M. Tangsathitkulchai, "Chemically Activated Carbon from Bagasse and the Removal of Chromium from Aqueous Solution with Activated Carbon" (in Thai), Suranaree Journal of Science and Technology, 13, 143-158, 2006.
52. N. Jiwalak, C. Tangsathitkulchai, and M. Tangsathitkulchai, "Activated Carbon from Lignite Coal by Chemical Activation with Potassium Hydroxide" (in Thai), Suranaree Journal of Science and Technology, 13, 207-218, 2006.
53. S. Junpirom, C. Tangsathitkulchai, and M. Tangsathitkulchai, , "Carbonization Temperature Effect on the Porous properties of Physically Activated Carbon from Longan Seed", International Carbon Conference (CARBON2006), Aberdeen, Scotland, 16-21 July, 2006.
54. P. Luangkiattikhun, Y. Ngernyen, S. Junpirom, C. Tangsathitkulchai, and M. Tangsathitkulchai, "A Char Gasification Model for Predicting the Porous properties of Activated Carbons", Proceedings of the Regional Symposium on Chemical Engineering (RSCE2006), Singapore, 3-5 Dec, 2006.
55. Y. Ngernyen, C. Tangsathitkulchai, and M. Tangsathitkulchai, "Water Vapor Adsorption on Wood-based Activated Carbon", Proceedings of the Regional Symposium on Chemical Engineering (RSCE2006), Singapore, 3-5 Dec, 2006.

56. P. Weerachanchai, C. Tangsathitkulchai, and M. Tangsathitkulchai, "Characteristics of bio-oil from biomass pyrolysis", The Conference on Energy Technology Network of Thailand (E-NETT), Suranaree University of Technology, Nakhon Ratchasima, 27 July, 2006.
57. K. Wongsooksin, S. Rattanaphani, M. Tangsathitkulchai, V. Rattanaphani, C. Tangsathitkulchai, and J.B. Bremner, "Spectroscopic investigation of complexes of sappanwood dyes with alum", 4th PSU Symposium on graduate research, Prince of Songkla University, Songkla, 31 March, 2006.
58. Y. Ngernyen, C. Tangsathitkulchai, S. Khaoya, W. Intasa-ard, and M. Tangsathitkulchai, "Effect of Surface Functional Groups on Water Vapor Adsorption of Eucalyptus Wood-based Activated Carbon", Suranaree Journal of Science and Technology, 14, 9-23, 2007.
59. S. Junpirom, C. Tangsathitkulchai, and M. Tangsathitkulchai, "Preparation of Activated Carbons from Longan Seed by Physical and Chemical Methods" (in Thai), Suranaree Journal of Science and Technology, 14, 63-76, 2007.
60. P. Weerachanchai, C. Tangsathitkulchai, and M. Tangsathitkulchai, "Fuel Properties and Chemical Compositions of Bio-oils from Biomass Pyrolysis", JSAE/SAE International Fuels and Lubricants Meeting, Japan, 23-27 July, 2007.
61. P. Luangkiattikhun, C. Tangsathitkulchai, and M. Tangsathitkulchai, "Non-isothermal Thermogravimetric Analysis of Oil-palm Solid Wastes", Bioresource Technology, 99, 986-997, 2008.
62. S. Junpirom, C. Tangsathitkulchai, M. Tangsathitkulchai, and Y. Ngernyen, "Water Adsorption in Activated Carbons with Different Burn-off and Its Analysis using a Cluster Model", The Korean Journal of Chemical Engineering, 25, 2008.
63. P. Weerachanchai, M. Horio, and C. Tangsathitkulchai, "Effects of gasifying conditions and bed materials on fluidized bed steam gasification of wood biomass", Bioresource Technology, in press, 2008.
64. C. Tangsathitkulchai, Y. Ngernyen, and M. Tangsathitkulchai, "Adsorption of heavy metal ions on surface-modified activated carbon", 2nd EuChemS Chemistry Congress, Torino, Italy, 16-20 Sep, 2008.
65. M. Tangsathitkulchai, Y. Ngernyen, and C. Tangsathitkulchai, "Incorporation of oxygen functional groups on activated carbon surfaces by air and nitric oxidation", 2nd EuChemS Chemistry Congress, Torino, Italy, 16-20 Sep, 2008.

66. K. Wongsooksin, M. Tangsathitkulchai, S. Rattanaphani, V. Rattanaphani, and C. Tangsathitkulchai, "Treatment of dye effluent using activated carbons with different surface chemistries", 2nd EuChems Chemistry Congress, Torino, Italy, 16-20 Sep, 2008.

บทที่ 4

ผลการทดลองและวิจารณ์ผล

ผลการทดลองในงานวิจัยการเตรียมถ่านกัมมันต์จากไม้ยูคาลิปตัสโดยการกระดุนทางเครื่องดั่งยกรดฟอสฟอริกได้นำมาเรียบเรียงตามลำดับดังนี้ ในส่วนแรกจะแสดงผลวิเคราะห์องค์ประกอบแบบประมาณ องค์ประกอบของเซลลูโลส การสลายตัวทางความร้อนและความชื้นของไม้ยูคาลิปตัส ส่วนหัวข้อต่อมา แสดงผลของการเตรียมได้แก่ อุณหภูมิการรับอนไซด์ อัตราส่วนสารเคมีต่อวัตถุคิด และเวลาการเช่นสารเคมี ต่อสมบัติถ่านกัมมันต์ และในส่วนสุดท้ายแสดงผลการคุณภาพซึ่งในน้ำด้วยถ่านกัมมันต์ที่เตรียมได้ โดยเปรียบเทียบลักษณะ ไอโซเทรนของกรดซัมไอน์บนถ่านกัมมันต์ที่มีค่าพื้นที่ผิวน้อยที่สุดและมากที่สุด

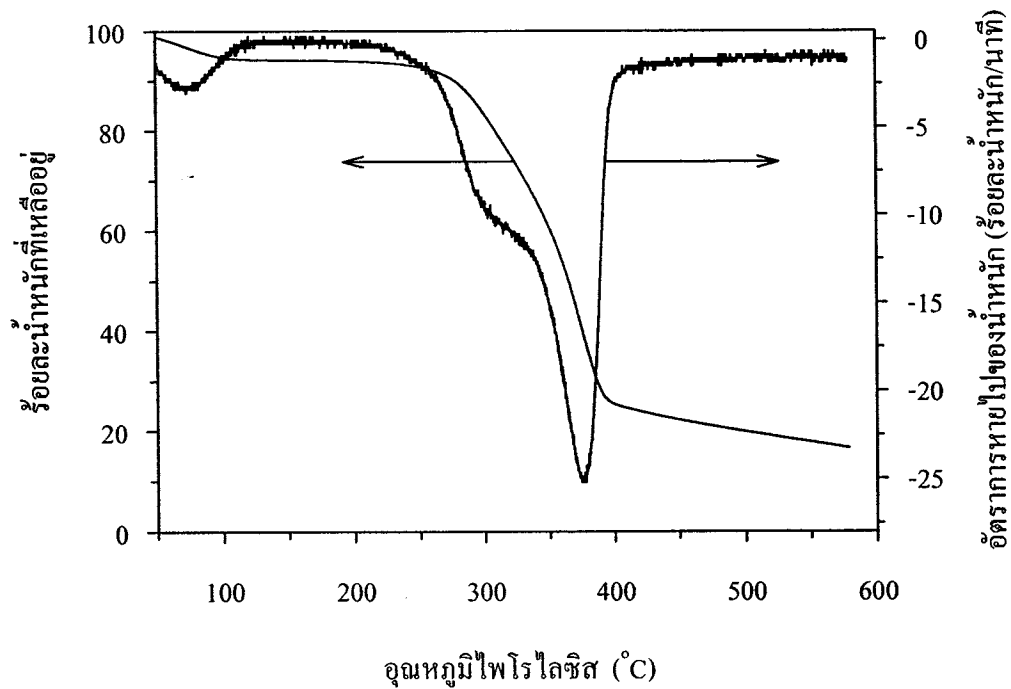
4.1 ผลวิเคราะห์องค์ประกอบแบบประมาณ องค์ประกอบเซลลูโลส และการสลายตัวทางความร้อนของไม้ยูคาลิปตัส

ผลการวิเคราะห์องค์ประกอบแบบประมาณ และ องค์ประกอบเซลลูโลส ของไม้ยูคาลิปตัส แสดงในตาราง ที่ 4.1 พบว่า มีปริมาณคาร์บอนคงตัว เท่ากับร้อยละ 18.3 พบว่าเป็นตัวเลขที่ใกล้เคียงกับวัสดุชีวมวลชนิดอื่นๆ ที่ได้มีการศึกษามาแล้วว่า สามารถนำมาผลิตเป็นถ่านกัมมันต์คุณภาพดี เช่น กะลามะพร้าว (มีปริมาณคาร์บอนคงตัว 18.6%)⁽³³⁾ ซังข้าวโพด (มีปริมาณคาร์บอนคงตัว 16.1%)⁽³⁴⁾ และ เปลือกผลปาล์มน้ำมัน (มีปริมาณคาร์บอนคงตัว 16.4%)⁽³⁵⁾ เป็นต้น นอกจากนี้ ไม้ยูคาลิปตัสซึ่งมีองค์ประกอบถ้าในปริมาณน้อย ประมาณ 1.2% ซึ่งถือได้ว่าไม้ยูคาลิปตัสมีสมบัติที่เหมาะสมในการนำมาเป็นวัตถุคิดสำหรับผลิตถ่านกัมมันต์ กล่าวคือ มีปริมาณคาร์บอนคงตัวสูง และปริมาณถ้าน้อยจากผลวิเคราะห์องค์ประกอบเซลลูโลสของไม้ยูคาลิปตัส พบว่า มีปริมาณเซลลูโลสอยู่ 57.3% เช่น เซลลูโลส 16.8% และ ลิกนิน 25.9% ซึ่งไม่ชัดเจนว่าเป็นประเภทไม้เนื้อแข็ง⁽³⁶⁻³⁷⁾

ผลการวิเคราะห์การสลายตัวเชิงความร้อนหรือการไฟโรไลซิสของไม้ยูคาลิปตัสโดยใช้เครื่อง Thermogravimetric Analyzer (TGA) และอัตราการหายไปของน้ำหนัก (DTG) พบว่ามีช่วงการเปลี่ยนแปลงน้ำหนักที่เห็นได้ชัดอยู่สองช่วงคือ ในช่วงแรก 60-110°C น้ำหนักหายไปประมาณร้อยละ 5 ซึ่งเป็นการระเหยของน้ำที่ถูกคุกคักเป็นความชื้นอยู่ในวัสดุ ในช่วงที่สอง เกิดการเปลี่ยนแปลงของขั้นตอนต่อเนื่องกัน ในชั้นตอนแรกคือช่วงอุณหภูมิ 280-320°C น้ำหนักหายไปประมาณร้อยละ 25 คาดว่าเป็นผลมาจากการสลายตัวของเอมิเซลลูโลส ส่วนขั้นตอนที่ 2 อยู่ในช่วงอุณหภูมิ 370-380°C น้ำหนักหายไปประมาณร้อยละ 30 คาดว่าเป็นผลมาจากการสลายตัวของเซลลูโลสในไม้ยูคาลิปตัส

ตารางที่ 4.1 องค์ประกอบแบบประมาณ และองค์ประกอบเชลลูโอลส์ ของไม้ข้าวกลิปตั๊ส

| ปริมาณร้อยละโดยหน่วยนัก | |
|-------------------------|------|
| องค์ประกอบแบบประมาณ | |
| - คาร์บอนคงตัว | 18.3 |
| - สารระเหย | 76.4 |
| - เด็ก้า | 1.2 |
| - ความชื้น | 4.1 |
| องค์ประกอบเชลลูโอลส์ | |
| - เชลลูโอลส์ | 57.3 |
| - เอมิเชลลูโอลส์ | 16.8 |
| - ติกนิน | 25.9 |



รูปที่ 4.1 ร้อยละน้ำหนักที่เหลืออยู่และอัตราการหายไปของน้ำหนัก ในระหว่างการไฟโรไลซิส
ไม้ขุคลิปต์ส

4.2 การเตรียมถ่านกัมมันต์จากไม้ขูดคาลิปตัสโดยการกระตุนทางเคมีด้วยกรดฟอสฟอริก

4.2.1 ผลของอุณหภูมิการรับอินเชชัน

ลักษณะพื้นผิวจากการถ่าย SEM ของถ่านกัมมันต์ที่เตรียมจากไม้ขูดคาลิปตัสโดยการกระตุนทางเคมีด้วยกรดฟอสฟอริก แสดงในรูปที่ 4.2 ซึ่งตัวอย่างถ่านกัมมันต์นี้เตรียมที่สภาวะอุณหภูมิการรับอินเชชัน 400°C อัตราส่วนสารเคมีต่อวัตถุคิด 1:0.5:1 และเวลาการแช่สารเคมี 1 ชั่วโมง สังเกตได้ว่าพื้นผิวนี้มีรูพรุนกระจายอยู่เป็นจำนวนมาก

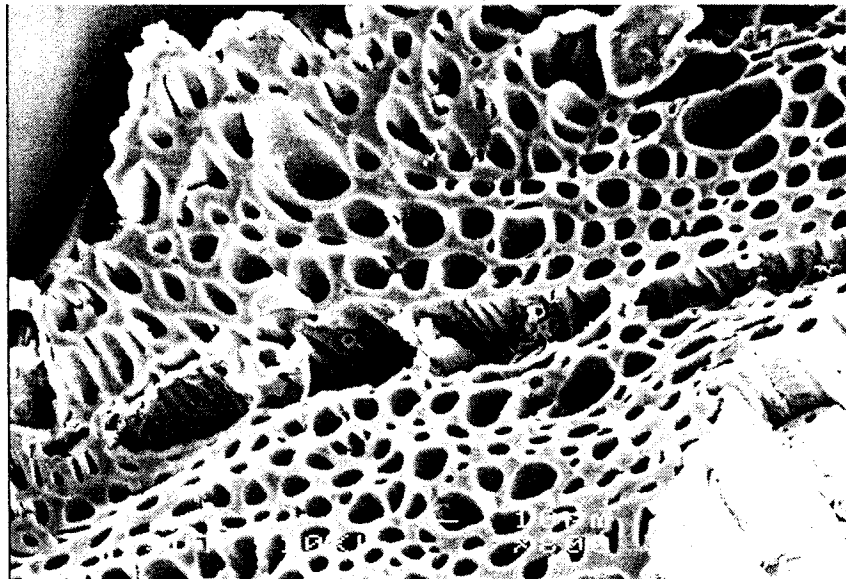
ผลของอุณหภูมิการรับอินเชชัน ได้ทำการศึกษาที่ 300 , 400 , 500 , และ 600°C โดยควบคุมสภาวะอื่นๆ ให้คงที่ดังนี้ อัตราส่วนสารเคมีต่อวัตถุคิด 1:1 เวลาการแช่สารเคมี 1 ชั่วโมง และเวลาการการรับอินเชชัน 1 ชั่วโมง ผลของตัวแปรนี้ต่อสมบัติต่างๆ ของถ่านกัมมันต์ แสดงดังตารางที่ 4.2 ค่าร้อยละผลผลิตของถ่านกัมมันต์ ซึ่งเป็นผลมาจากการสภาวะอุณหภูมิการรับอินเชชันต่างกันแสดงในรูปที่ 4.3 สรุปโดยภาพรวมคือ เมื่ออุณหภูมิเพิ่มขึ้นทำให้ค่าร้อยละผลผลิตลดลง แต่จะสังเกตได้ว่าการลดลงในแต่ละช่วงอุณหภูมนั้นแตกต่างกัน คือในช่วง $300\text{-}400^{\circ}\text{C}$ (ผลต่างช่วงอุณหภูมิ 100°C) ผลผลิตลดลง 3.8% แต่ในช่วง $400\text{-}600^{\circ}\text{C}$ (ผลต่างช่วงอุณหภูมิ 200°C) ผลผลิตลดลง 3.9% ซึ่งลักษณะการลดลงของร้อยละผลผลิตตามอุณหภูมิที่เพิ่มขึ้นนี้ มีลักษณะเดียวกันกับผลของการศึกษาการถ่ายตัวเริงความร้อนในหัวข้อที่ 4.1 คือในช่วง $300\text{-}400^{\circ}\text{C}$ จะมีการลดลงของน้ำหนักมากที่สุด แต่เมื่อเปรียบเทียบค่าร้อยละผลผลิตถ่านกัมมันต์ในตารางที่ 4.2 กับค่าร้อยละผลผลิตของกระบวนการไฟโรไลซิส (ในรูปที่ 4.1) พบร่วยว่าร้อยละผลผลิตถ่านกัมมันต์ที่เตรียมได้ ($300\text{-}600^{\circ}\text{C}$) มีค่าเฉลี่ยประมาณ 45% ซึ่งมีค่ามากกว่าค่าร้อยละผลผลิตของกระบวนการในไฟโรไลซิสซึ่งมีค่าประมาณ 20% แสดงว่ากรดฟอสฟอริกที่ผสมกับวัตถุคิด จะต้องมีการเกิดปฏิกิริยากับวัตถุคิดและเปลี่ยนแปลงโครงสร้างวัตถุคิดให้มีความคงทนต่ออุณหภูมินากขึ้น การถ่ายตัวเริงเกิดได้น้อยลง (ร้อยละผลผลิตมากขึ้น)

ไอโซเทิร์นการคุณชั้นในโครงสร้างถ่านกัมมันต์ที่เตรียมจากการศึกษาผลของตัวแปรอุณหภูมิการรับอินเชชัน แสดงในรูปที่ 4.4 พบว่าเมื่ออุณหภูมิเพิ่มจาก 300 เป็น 400°C ปริมาณการคุณชั้นเพิ่มมากขึ้น แต่เมื่ออุณหภูมิสูงขึ้นกว่านี้ ปริมาณการคุณชั้นมีแนวโน้มลดลง รูปร่างของไอโซเทิร์นทั้งหมดเป็นแบบที่ 1 (Type I) ซึ่งชี้ให้เห็นว่า ถ่านกัมมันต์ที่ผลิตได้จากสภาวะเหล่านี้ มีโครงสร้างส่วนใหญ่เป็นรูพรุนขนาดเล็ก

จากผลการศึกษาซึ่งแสดงในรูปที่ 4.5 พบว่าเมื่ออุณหภูมิการรับอินเชชันเพิ่มขึ้นจาก 300°C เป็น 400°C ถ่านกัมมันต์มีสมบัติพื้นผิว ทั้งพื้นที่ผิวและปริมาตรรูพรุนทุกขนาดมีค่าเพิ่มขึ้นตามอุณหภูมิ และมีค่าสูงสุดที่ 400°C แต่เมื่ออุณหภูมิเพิ่มขึ้นเป็น 500°C สมบัติพื้นผิวนี้แนวโน้มลดลง อย่างชัดเจน จากนั้นในช่วงอุณหภูมิ $500\text{-}600^{\circ}\text{C}$ สมบัติพื้นผิวนี้ยังมีแนวโน้มลดลง ยกเว้นปริมาตรรูพรุนขนาดเล็กมีค่าเพิ่มขึ้นเล็กน้อย จากการทดลองนี้ชี้ให้เห็นว่าอุณหภูมิที่เหมาะสมต่อการกระตุ้น

ทางเคมีโดยใช้กรดฟอสฟอริก จะไม่สูงมากนัก อุ่นที่อุณหภูมิ 400°C ซึ่งจะให้ถ่านกัมมันต์ที่มีพื้นที่ผิวและปริมาตรรูพรุนมากที่สุด

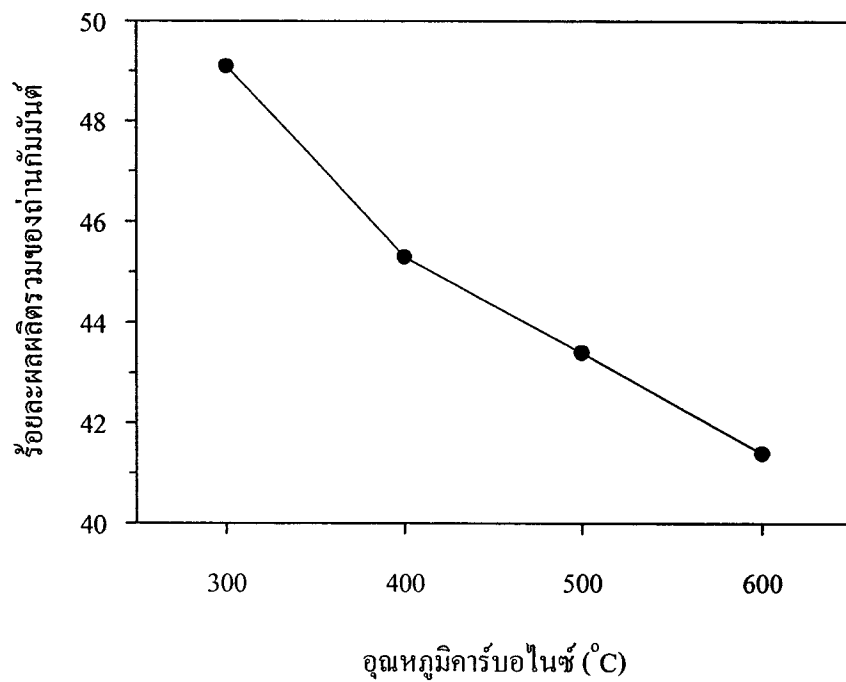
การอธิบายการพัฒนารูพรุนในถ่านกัมมันต์ ที่เตรียมจากการกระตุ้นด้วยกรดฟอสฟอริกนั้น ได้มีการอธิบายกลไกโดย Jagtoyen และ Derbyshire⁽⁵⁾ ซึ่งได้มีการเสนอว่า ปฏิกิริยาระหว่างไม้และกรดฟอสฟอริกนั้น เกิดขึ้นตั้งแต่สารตั้งต้นทั้งสองชนิด ได้ผสมกัน โดยในช่วงอุณหภูมิ $50\text{-}200^{\circ}\text{C}$ กรดฟอสฟอริกจะทำหน้าที่เหมือนเป็นตัวเร่งปฏิกิริยา ทำให้พันธะที่เชื่อมโยงโครงสร้างในไม้ แตกออกจากกัน โดยกรดจะเข้าไปทำปฏิกิริยากับโครงสร้างที่ไม่แข็งแรงและไม่เป็นระเบียบก่อน เช่น เชลลูโลสและลิกนิน ต่อจากนั้นจึงเข้าไปสลายพันธะของโครงสร้างที่เป็นผลึกแข็งแรง เช่น เชลลูโลส ในช่วงอุณหภูมิ $200\text{-}450^{\circ}\text{C}$ โดยกรดฟอสฟอริกจะเข้าไปรวมกับส่วนย่อยของโครงสร้างพอลิเมอร์ (biopolymer fragment) ได้เป็นโครงสร้างใหม่ที่เชื่อมต่อกันเช่น ฟอสเฟต และโพลีฟอสเฟตอเลสเตอร์ เป็นต้น การเกิดขึ้นของโครงสร้างฟอสเฟตเหล่านี้จากปฏิกิริยาระหว่างเชลลูโลสและกรดฟอสฟอริก มีกลไกดังแสดงในรูปที่ 4.6 จะเห็นว่ากรดฟอสฟอริกจะแทรกเข้าไปในสายโซ่ของโครงสร้าง เชลลูโลส โดยการแยกที่ตำแหน่งของพันธะไไซโตรเจน ทำให้โครงสร้างมีการขยายออก เมื่ออุณหภูมิสูงขึ้นกรดฟอสฟอริกเกิดกระบวนการโพลีเมอไรเซชัน ได้เป็นโพลีฟอสเฟต จากนั้น โพลีฟอสเฟตนี้ก็เข้าไปแทรกในโครงสร้างเชลลูโลส ทำให้โครงสร้างเกิดการขยายตัวมากขึ้น ซึ่งการที่โครงสร้างมีการขยายมากขึ้นนี้ หลังจากที่ถังกรดออกในขั้นตอนสุดท้ายของการเตรียมถ่านกัมมันต์ โครงสร้างที่ถูกขยายออกจะถูกนำไปใช้ในกระบวนการรีด ต่อจากนั้นจะนำกรดฟอสฟอริกกลับมาใช้ในขั้นตอนสุดท้ายของการเตรียมถ่านกัมมันต์ นอกจากนี้กระบวนการที่การบอนเด็ดการถ่ายทอดการออกไนโตรเจน ออกมานเป็นแก๊สคาร์บอนมอนอกไซด์ คาร์บอนไดออกไซด์ และพวากแก๊สไไซโตรคาร์บอนที่นำหานอกไปเล็กน้อย เช่น มีเทน ซึ่งกระบวนการนี้ก็เป็นส่วนหนึ่งที่ทำให้เกิดโครงสร้างรูพรุนได้ ดังนั้นจากผลการทดลองซึ่งพบว่าที่อุณหภูมิ 300°C ได้ถ่านกัมมันต์ที่มีสมบัติพื้นผิวน้อยกว่าที่ อุณหภูมิ 400°C อธิบายได้ว่าที่ อุณหภูมิ 300°C กลุ่มสาระเหยงบางส่วนยังคงตัวได้ไม่สมบูรณ์หรือบางส่วนที่ถลายออกมานแต่ยังไม่หลุดออกไปอาจไปปิดหรือกั้นของรูพรุนไว้ นอกจากนี้การเกิดโครงสร้างรูพรุนในถ่านกัมมันต์ที่ถูกเตรียมโดยการใช้กรดฟอสฟอริก ซึ่งเป็นกระบวนการสำคัญในการเกิดรูพรุน เป็นปฏิกิริยาเคมีซึ่ง จะเกิดได้มากที่อุณหภูมิสูงขึ้น แต่เมื่ออุณหภูมิสูงขึ้นมากกว่า 450°C โครงสร้างของฟอสเฟตไม่สามารถทนความร้อนได้ ทำให้เกิดการแตกหักหรือพังทลายของพันธะ โครงสร้างเหล่านี้ ดังกล่าวที่แสดงในรูปที่ 4.7 จึงส่งผลให้โครงสร้างรูพรุนในถ่านกัมมันต์ลดลงเมื่ออุณหภูมิการเตรียมสูงขึ้น



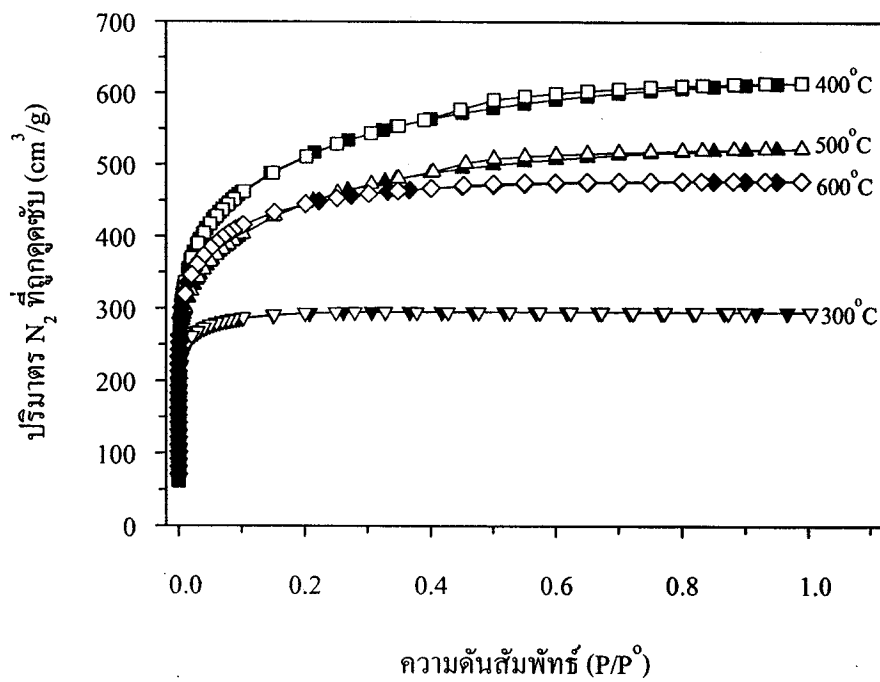
1.2 ภาพถ่าย SEM ที่กำลังขยาย 800 เท่า แสดงลักษณะพื้นผิวถ่านกัมมันต์จากไม้ยูคาลิปตัส
กระดุนด้วยกรดฟอสฟอริก เตรียมที่สภาวะอุณหภูมิการอบในเซ็น 400°C อัตราส่วน
สารเคมีต่อวัตถุคิด 0.5:1 เวลาการแช่สารเคมี 1 ชั่วโมง

ตารางที่ 4.2 ผลของอุณหภูมิการ์นองไนเชชันต่อสมบัติของถ่านกัมมันต์

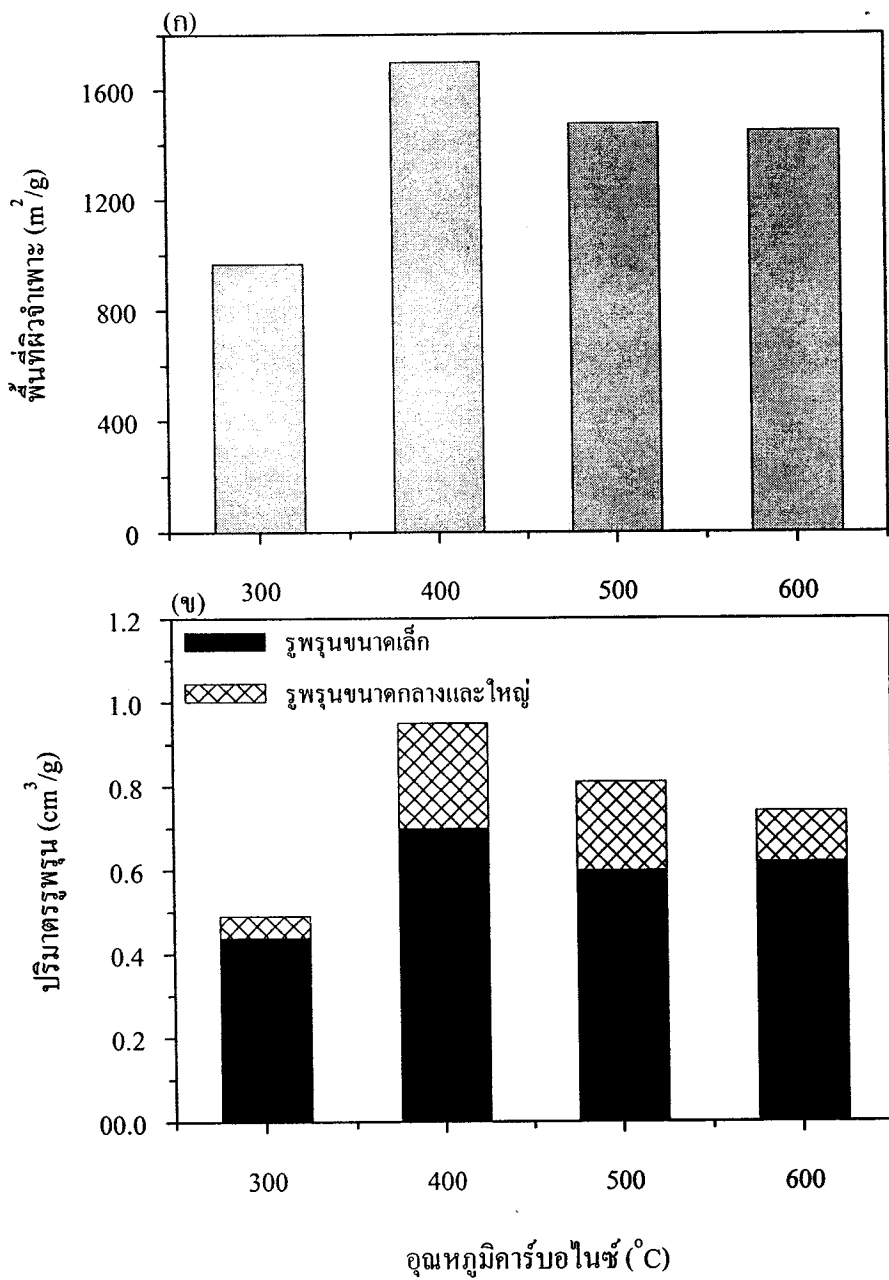
| อุณหภูมิการ์นองไนซ์ (°C) | ร้อยละผลผลิต รวมถ่านกัมมันต์ | พื้นที่ผิว (m ² /g) | ปริมาตรรูพูน (cm ³ /g) | | |
|-----------------------------|---------------------------------|-----------------------------------|-----------------------------------|------------------------------|------|
| | | | ขนาดเล็ก (< 2 nm) | ขนาดกลางและ ใหญ่ (> 2 nm) | รวม |
| 300 | 49.1 | 967 | 0.44 (89.8%) | 0.05 | 0.49 |
| 400 | 45.3 | 1699 | 0.70 (73.3%) | 0.25 | 0.95 |
| 500 | 43.4 | 1474 | 0.60 (74.1%) | 0.21 | 0.81 |
| 600 | 41.4 | 1447 | 0.62 (83.8%) | 0.12 | 0.74 |



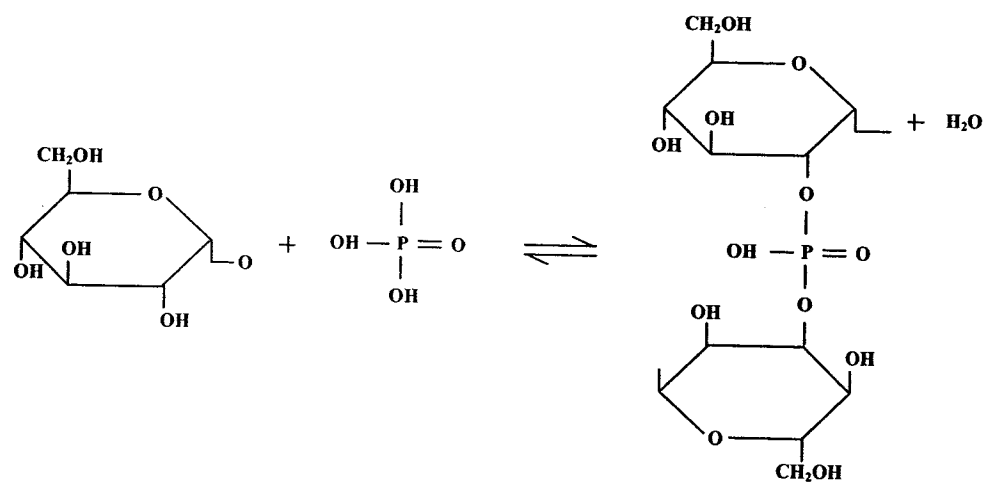
รูปที่ 4.3 ผลของอุณหภูมิการการรับอินช์ต่อร้อยละผลผลิตรวมของถ่านกัมมันต์



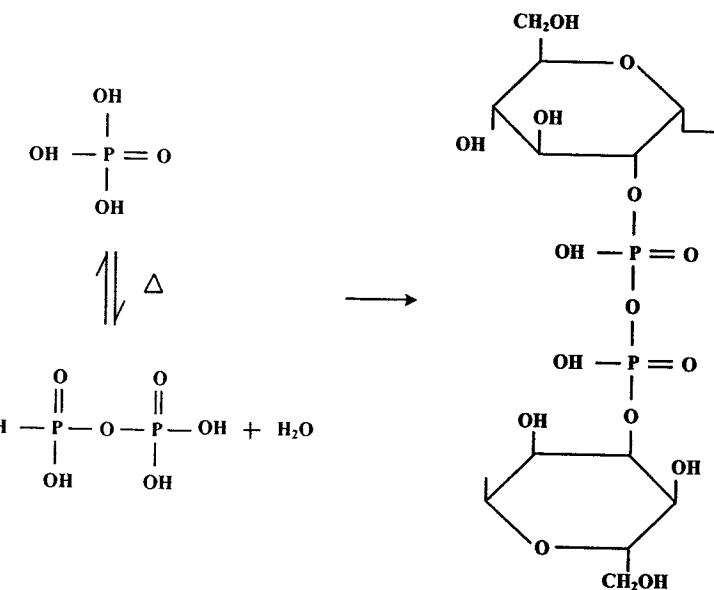
รูปที่ 4.4 ไอโซเทิร์มการดูดซึ้งแก๊สในไตรเจนที่อุณหภูมิ -196°C ของถ่านกัมมันต์ที่เตรียมจาก
สภาวะต่างๆ เพื่อศึกษาผลของ อุณหภูมิการการร้อนไนซ์



รูปที่ 4.5 สมบัติความพรุน (ก) พื้นที่ผิว และ (ข) ปริมาตรรูร่วนแบ่งตามขนาดต่างๆของถ่านกัน
นั้นค์ที่เตรียมจากสภาวะอุณหภูมิการรับอินซ์แตกต่างกัน

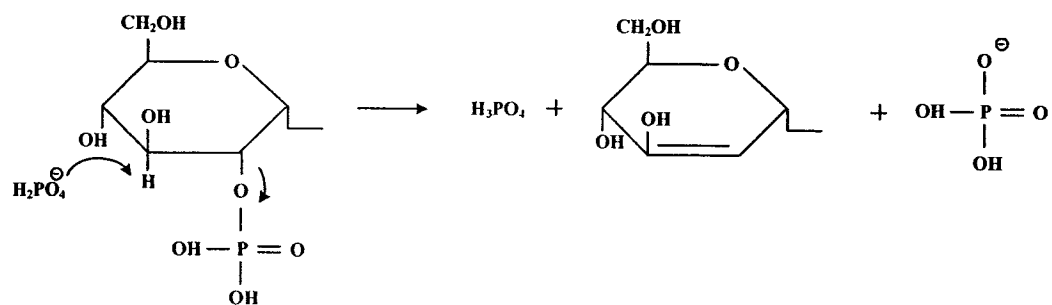


(ก) การเกิดฟอสเฟตເອສເທອຣ



(ข) การเกิดໂພລີຟຝູດີຟເສັກເອສເທອຣ ທີ່ອຸນຫຼມສູງ

ຮູບທີ 4.6 ກລົມການເກີດໂຄຮົງຂ່າຍຝູດີຟເສັກ (ກ) ເກີດຝູດີຟເສັກເອສເທອຣ (ຂ) ເກີດໂພລີຟຝູດີຟຈາກ ປົມກົງຢາຮະວ່າງເຊດລູໂລສແລະ ກຣດຝູດີຟອຣິກ ທີ່ອຸນຫຼມສູງ



รูปที่ 4.7 กลไกการแตกหักของโครงข่ายฟอสเฟต ที่อุณหภูมิสูงกว่า 450°C

4.2.2 ผลของอัตราส่วนสารเคมีต่อวัตถุคิบ

จากผลการทดลองในหัวข้อที่ 4.2.1 พบว่าที่อุณหภูมิ 400°C มีการพัฒนาโครงสร้างรูพุนดีที่สุด จึงได้เลือกสภาพการเตรียมที่อุณหภูมนี้เพื่อการศึกษาตัวแปรอื่น ๆ ต่อไป ในหัวข้อนี้เป็นการรายงานผลของอัตราส่วนน้ำหนักสารเคมีต่อวัตถุคิบ โดยได้ทำการทดลองในช่วงของอัตราส่วน $0.5:1$, $1:1$, $1.5:1$, และ $2:1$ โดยกำหนดภาวะอื่นๆคงที่ไว้ดังนี้ เวลาการแช่สารเคมีเท่ากับ 1 ชั่วโมง อุณหภูมิการอบอยู่ที่ 400°C และเวลาการรืบอยู่ที่ 1 ชั่วโมง ผลของตัวแปรนี้ต่อสมบัติค่านักมันต์ สรุปรวมในตารางที่ 4.3

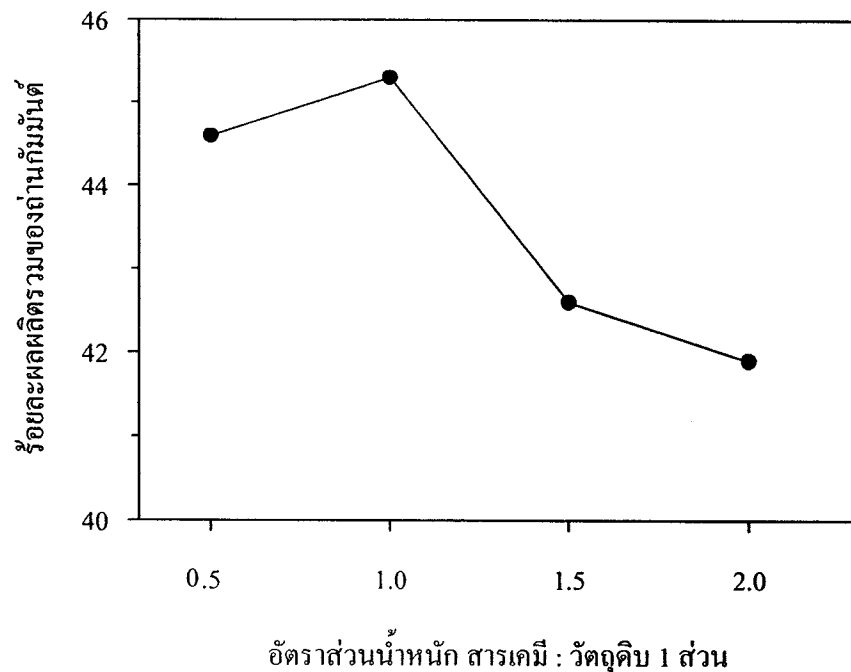
เมื่อแสดงผลของอัตราส่วนน้ำหนักสารเคมีต่อวัตถุคิบ ต่อค่าร้อยละผลผลิตรวมของค่านักมันต์ดังในรูปที่ 4.8 พบว่าการเพิ่มอัตราส่วนสารเคมีต่อวัตถุคิบจาก $0.5:1$ เป็น $1:1$ มีผลทำให้ร้อยละผลผลิตรวมค่านักมันต์เพิ่มขึ้นเล็กน้อย จากนั้นในช่วงสภาพอัตราส่วนเพิ่มขึ้นจาก $1:1$ ถึง $2:1$ ร้อยละผลผลิตรวมมีการลดลงอย่างรวดเร็ว ผลการทดลองนี้แสดงว่า ปริมาณสารเคมีที่เพิ่มขึ้นนี้ ส่วนช่วยให้วัตถุคิบเกิดปฏิกิริยาการพัฒนารูพุนได้เพิ่มขึ้น ทำให้ร้อยละผลผลิตรวมมีแนวโน้มลดลง ไอโซเทริมการคุณภาพในตรรженของค่านักมันต์ที่เตรียมได้จากการศึกษาผลของอัตราส่วนสารเคมีต่อวัตถุคิบแสดงในรูปที่ 4.9 พบว่าปริมาณการคุณภาพในตรรженสูงสุดมีค่าเพิ่มมากขึ้นตามอัตราส่วนสารเคมีที่เพิ่มขึ้น โดยที่อัตราส่วน $0.5:1$ ให้รูปร่างไอโซเทริมการคุณภาพ เป็นแบบที่ 1 (Type I) อย่างชัดเจน แต่เมื่ออัตราส่วนสารเคมีเพิ่มขึ้น รูปร่างไอโซเทริมเปลี่ยนแปลงไปใกล้เคียงกับแบบที่ 4 (Type IV) คือมีวงชีสเทอริซิส (Hysteresis loop) ที่กว้างขึ้น การมีขนาดของวงชีสเทอริซิสที่กว้างขึ้น จะสัมพันธ์โดยตรงกับการเพิ่มขึ้นของปริมาตรรูพุนขนาดกล่องและใหญ่ในค่านักมันต์ แสดงว่าการใช้อัตราส่วนสารเคมีเท่ากับ $2:1$ จะให้รูพุนขนาดกล่องและขนาดใหญ่มากกว่าที่สภาวะขึ้นๆ

ผลการทดลอง ในรูปที่ 4.10 (ก) แสดงว่าเมื่อ อัตราส่วนสารเคมีเพิ่มขึ้นในช่วง $0.5:1$ - $1.5:1$ พื้นที่ผิวน้ำค่าเพิ่มมากขึ้น และมีแนวโน้มลดลงเมื่ออัตราส่วนสารเคมีเพิ่มขึ้นเป็น $2:1$ ส่วนในรูปที่ 4.10 (ข) ผลกระทบของแผนภูมิแท่งหมายถึงปริมาตรรูพุนรวม ซึ่งพบว่ามีค่าเพิ่มมากขึ้นตามอัตราส่วนสารเคมีลดลงช่วงสภาพการทดลอง จะสังเกตได้ว่า การที่อัตราส่วน $2:1$ มีพื้นที่ผิวน้ำเพิ่มน้อยกว่าอัตราส่วน $1.5:1$ แต่มีปริมาตรรูพุนรวมมากกว่านั้น เป็นผลมาจากการที่อัตราส่วน $2:1$ ให้รูพุนส่วนใหญ่เป็นขนาดกล่องและขนาดใหญ่นั่นเอง จากการพิจารณาในรูปที่ 4.10 (ข) พบว่า ปริมาตรรูพุนขนาดเล็ก มีแนวโน้มคงที่ในช่วงอัตราส่วน $1:1$ - $1.5:1$ จากนั้นลดลง ส่วนปริมาตรรูพุนขนาดกล่องและขนาดใหญ่ มีแนวโน้มคล้ายกับของปริมาตรรูพุนรวม คือมากที่สุดที่อัตราส่วน $2:1$ ลักษณะการพัฒนารูพุนเมื่ออัตราส่วนสารเคมีเปลี่ยนแปลงไปสามารถอธิบายได้ว่า เมื่อใช้อัตราส่วนสารเคมี $0.5:1$ รูพุนที่เกิดขึ้นส่วนใหญ่ที่พัฒนาขึ้นเป็นรูพุนขนาดเล็กเกือบทั้งหมด เมื่อเพิ่มสารเคมีมากขึ้น ในช่วงอัตราส่วน $1:1$ ถึง $1.5:1$ ในช่วงอัตราส่วนนี้มีกลไกการพัฒนารูพุนอยู่สองกลไก คือการเกิดรู

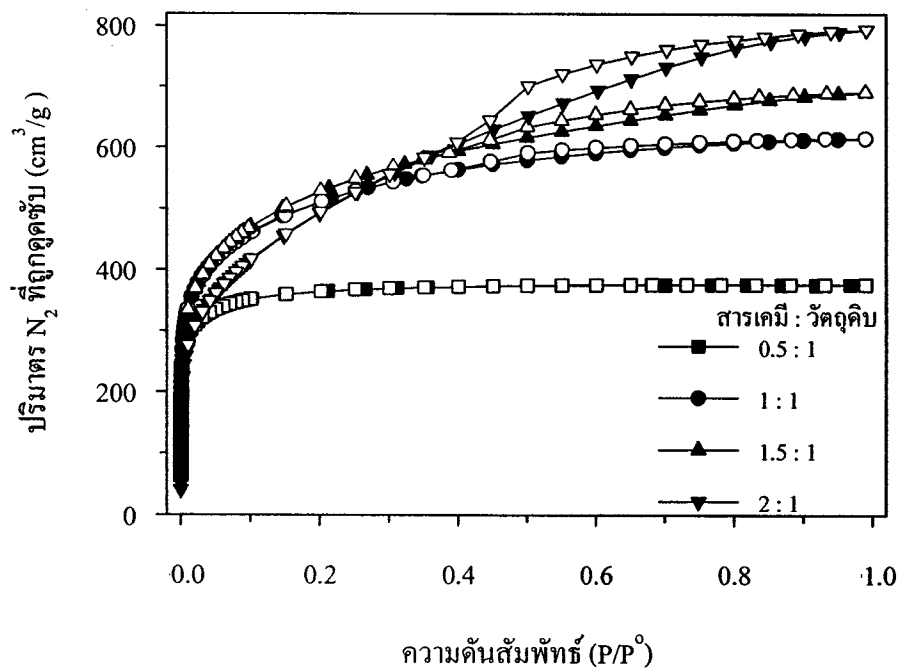
พรุนใหม่ที่เป็นรูปrunขนาดเล็ก และการพัฒนาของรูปrunขนาดกลางและใหญ่จากรูปrunขนาดเล็ก ซึ่งเกิดจากการที่กรดฟอสฟอริกเข้าทำปฏิกิริยาได้มากขึ้นกับเนื้อคาร์บอนที่ผนังของรูปrunขนาดเล็ก ทำให้รูปrunขนาดเล็กขยายขนาดเป็นรูปrunขนาดกลางและใหญ่ตามลำดับ เมื่อใช้สารเคมีที่อัตราส่วน 2:1 กลไกหลักที่สภาวะนี้คือการพัฒนารูปrunขนาดกลางและขนาดใหญ่ และจากการที่พบได้ในผลการทดลองว่า เมื่อเทียบกับที่สภาวะอัตราส่วน 1.5:1 จะมีค่าพื้นที่ผิวลดลง แต่ปริมาตรรูปrunรวมยังมีแนวโน้มเพิ่มขึ้น จึงชี้ให้เห็นว่าการพัฒนารูปrunขนาดกลางและใหญ่ออกจากจะเกิดจากการขยายของรูปrunขนาดเล็กดังที่ได้อธิบายแล้วแล้ว ยังอาจเกิดจากการเชื่อมต่อของรูปrunขนาดเล็กที่อยู่ชิดกันจาก การพัฒนาของผนังรูปrunทำให้เกิดรูปrunขนาดใหญ่เป็นรูปrunเดียว ซึ่งกลไกนี้จะส่งผลให้ค่าพื้นที่ผิวของรูปrunไม่เพิ่มขึ้นแต่ปริมาตรรูปrunรวมยังคงเพิ่มขึ้น

ตารางที่ 4.3 ผลของอัตราส่วนน้ำหนักสารเคมีต่อวัตถุดินต่อสมบัติของถ่านกัมมันต์

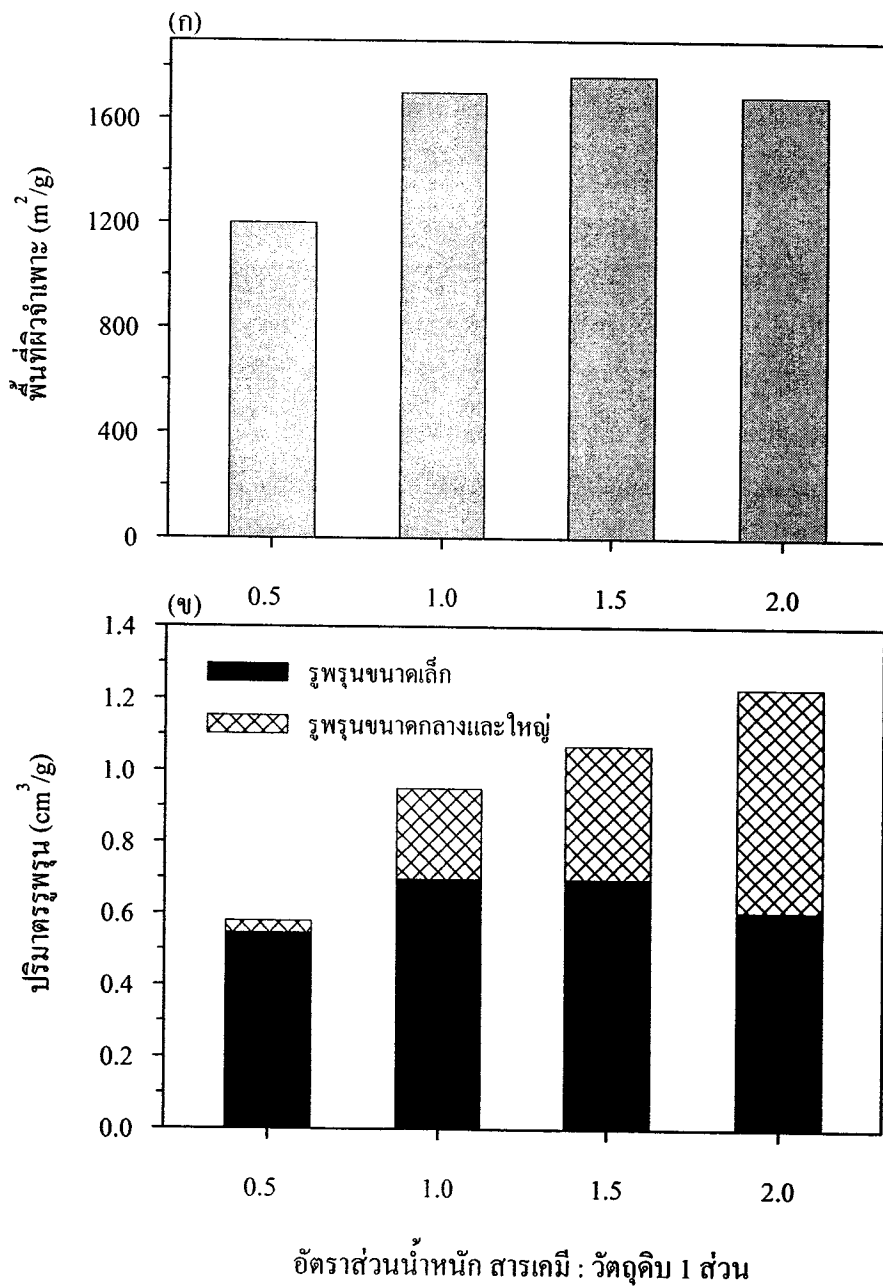
| H_3PO_4 : วัตถุดิน (อัตราส่วนน้ำหนัก) | ร้อยละผลผลิต รวมถ่านกัมมันต์ | พื้นที่ผิว (m^2/g) | ปริมาตรรูพรุน (cm^3/g) | | |
|--|---------------------------------|---------------------------|----------------------------------|--|------|
| | | | ขนาดเล็ก ($< 2 \text{ nm}$) | ขนาดกลางและ ใหญ่ ($> 2 \text{ nm}$) | รวม |
| 0.5:1 | 44.6 | 1200 | 0.55 (94.8%) | 0.03 | 0.58 |
| 1:1 | 45.3 | 1699 | 0.70 (73.7%) | 0.25 | 0.95 |
| 1.5:1 | 42.6 | 1764 | 0.70 (65.4%) | 0.37 | 1.07 |
| 2:1 | 41.9 | 1688 | 0.61 (49.6%) | 0.62 | 1.23 |



รูปที่ 4.8 ผลของอัตราส่วนสารเคมีต่อวัตถุคิบต่อร้อยละผลผลิตรวมของถ่านกัมมันต์



รูปที่ 4.9 ไอโซเทอร์มการดูดซับแก๊สในไตรเจนที่อุณหภูมิ $-196^\circ C$ ของถ่านกัมมันต์ที่เตรียมจาก สภาวะต่างๆ เพื่อศึกษาผลของ อัตราส่วนสารเคมีต่อวัตถุคิน



รูปที่ 4.10 สมบัติความพุน (ก) พื้นที่ผิว และ (ข) ปริมาตรรูพุนแบ่งตามขนาดค่างๆของถ่านกัน มันต์ที่เตรียมจากสภาพแวดล้อมอัตราส่วนสารเคมีต่อวัตถุคิบแตกต่างกัน

4.2.3 ผลของเวลาการแข็งสารเคมี

จากผลการทดลองในหัวข้อที่ผ่านมา พบว่าที่อุณหภูมิ 400°C และอัตราส่วนสารเคมีต่อวัตถุคิดเหตุกับ 1.5:1 ส่งผลให้มีการพัฒนาโครงสร้างรูปrunic ที่สุด จึงได้เลือกสถานะที่อุณหภูมนี้เพื่อศึกษาตัวแปรผลของเวลาการแข็งสารเคมีในหัวข้อนี้ โดยได้ทดลองที่สภาวะอัตราส่วนสารเคมีต่อวัตถุคิด 1.5:1 อุณหภูมิการรับอุ่นซึ่งที่ 400°C และเวลาการรับอุ่นซึ่ง 1 ชั่วโมง และเวลาการแข็งสารเคมีได้ศึกษาในช่วง 0.5, 1, 1.5 และ 2 ชั่วโมง ผลกระทบจากตัวแปรนี้ต่อสมบัติถ่านกัมมันต์ สรุปรวมในตารางที่ 4.4

ผลของเวลาการแข็งสารเคมีต่อร้อยละผลผลิตรวมของถ่านกัมมันต์ สามารถพิจารณาได้ชัดเจนยิ่งขึ้น ดังในรูปที่ 4.11 พบว่าเมื่อเวลาการแข็งสารมากขึ้น ทำให้เนื้อคราบอนเกิดปฏิกิริยาได้มากขึ้น ทำให้ค่าร้อยละผลผลิตลดลง ทั้งนี้เหตุผลนี้องมาจากว่าเมื่อเวลาการแข็งวัตถุคิดในสารเคมีนานขึ้น สารเคมีจะสามารถแทรกซึมเข้าไปในโครงสร้างของวัตถุคิดได้มากยิ่งขึ้น ส่งผลให้เกิดปฏิกิริยาได้มากยิ่งขึ้น

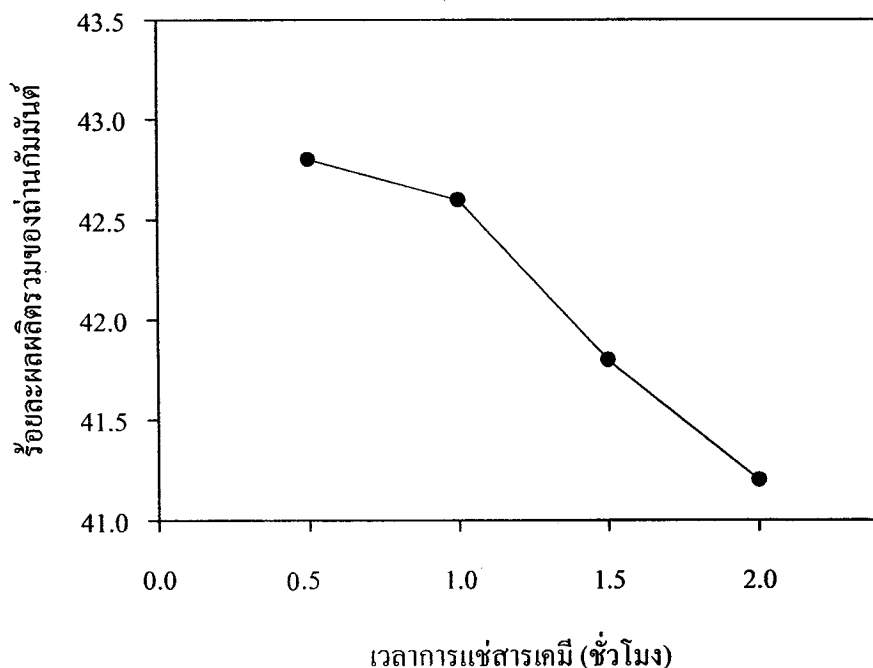
ลักษณะไอโซเทร์มการคุductชันแก๊สในไตรเจน ของถ่านกัมมันต์ที่เตรียมจากเวลาการแข็งสารเคมีต่างๆ กัน เป็นดังรูป 4.12 พบว่า เมื่อแข็งสารเคมีนานขึ้นจาก ครึ่งชั่วโมง ไปถึง 1.5 ชั่วโมง ปริมาตรการคุductชันในไตรเจนเพิ่มมากขึ้น และลักษณะเส้นไอโซเทร์มนี้แนวโน้มเปลี่ยนจากแบบ Type I เป็นแบบ Type IV แสดงว่าในช่วงนี้มีการพัฒนาการเกิดขึ้นของรูปrunic ขนาดกลางและใหญ่เพิ่มมากขึ้น แต่เมื่อเวลานานขึ้นถึง 2 ชั่วโมง ปริมาตรการคุductชันมีแนวโน้มลดลง ซึ่งอาจเกิดจากการบุบตัวของรูปrunic เมื่อใช้วิธีในการแข็งสารเคมีนานขึ้น

การพัฒนาโครงสร้างรูปrunic ของถ่านกัมมันต์ ซึ่งเป็นผลจากเวลาของการแข็งสารเคมี แสดงตั้งรูปที่ 4.13 พบว่าเมื่อเพิ่มเวลาในการแข็งสารเคมีจาก ครึ่งชั่วโมง ถึง 1.5 ชั่วโมง ค่าพื้นที่ผิวและปริมาตรรูปrunic รวมแนวโน้มเพิ่มขึ้นตามเวลาการแข็ง แต่เมื่อแข็งนานกว่านี้เป็น 2 ชั่วโมง ค่าพื้นที่ผิวและปริมาตรรูปrunic รวมลดลง จากผลที่ได้นี้ จะเห็นว่าการพัฒนารูปrunic ในเบื้องต้นหรือที่ใช้วิธีการแข็งไม่นานนัก เป็นการเกิดขึ้นของรูปrunic ขนาดเล็กโดยส่วนใหญ่ เมื่อเวลาการแข็งนานขึ้น จะช่วยให้มีการพัฒนารูปrunic ขนาดกลางและขนาดใหญ่เพิ่มมากขึ้น แต่ถ้าใช้วิธีในการแข็งนานเกินไป เช่นที่ 2 ชั่วโมง จะทำให้รูปrunic เกิดการพังทลายหรือบุบตัวเป็นรูปrunic ขนาดเล็ก

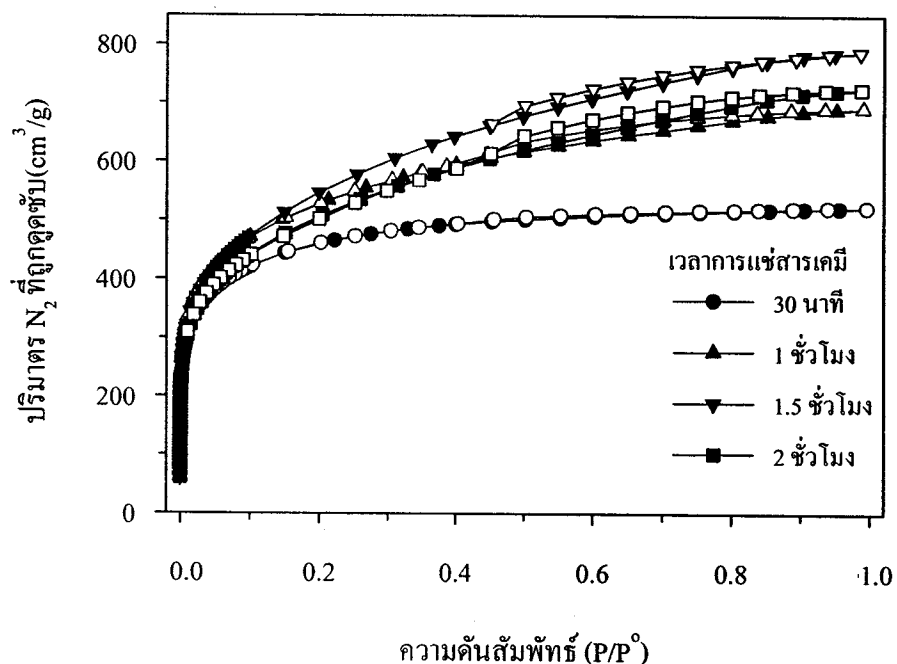
จากผลของอัตราส่วนสารเคมีต่อวัตถุคิด และเวลาในการแข็งสารเคมี จะเห็นว่าทั้งสองตัวแปรส่งผลถึงปริมาณการเข้าทำปฏิกิริยาของสารเคมีในวัตถุคิด ดังนั้นการที่จะให้กรดฟอสฟอริกเข้าทำปฏิกิริยาได้มากนั้นทำได้จากทั้ง การใส่สารเคมีในปริมาณมาก โดยใช้วิธีการแข็งไม่นาน และอีกทางหนึ่งคือการใช้สารเคมีในปริมาณไม่มากแต่ใช้วิธีการแข็งนานขึ้น

ตารางที่ 4.4 ผลของเวลาการแข็งสารเคมีต่อสมบัติของถ่านกัมมันต์

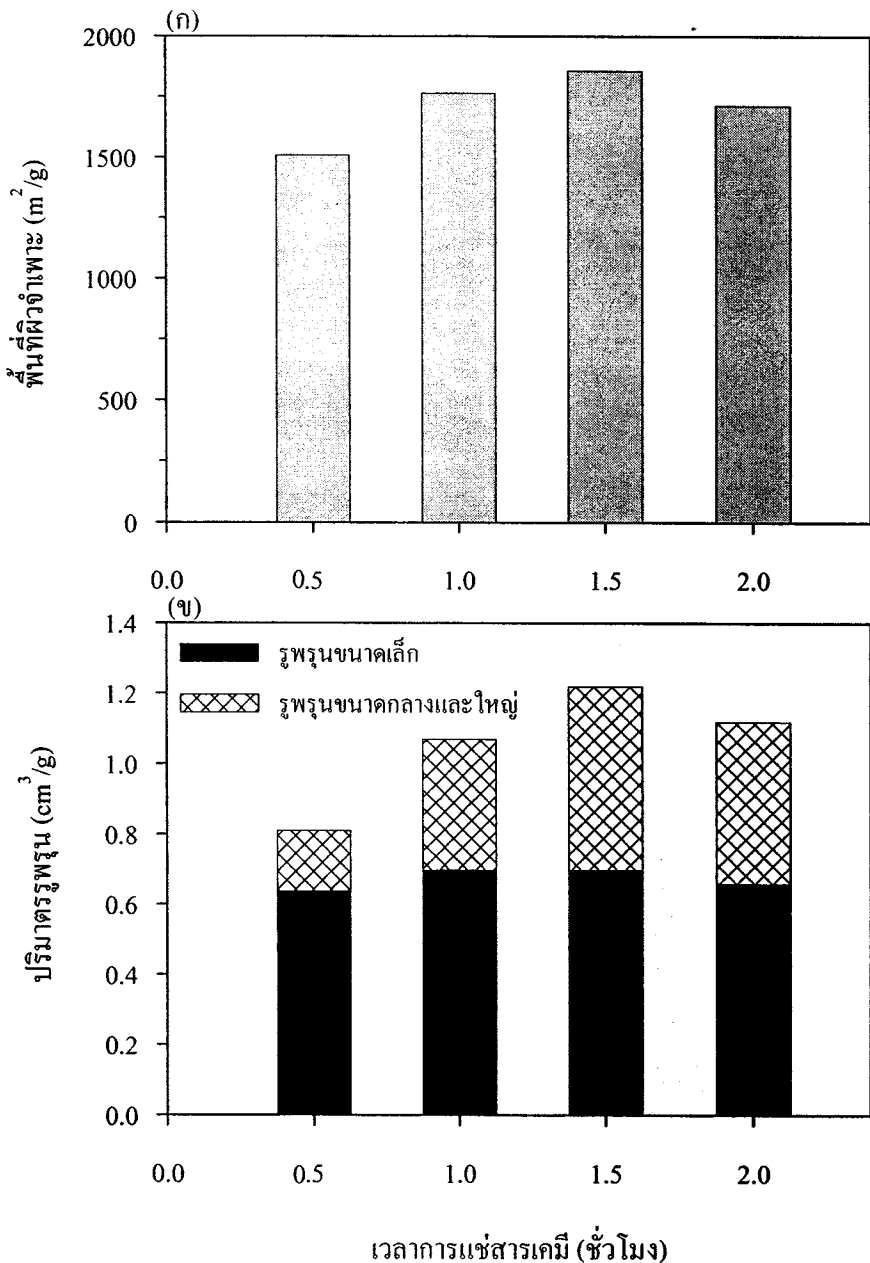
| เวลาการแข็งสารเคมี (ชั่วโมง) | ร้อยละผลผลิตรวมถ่านกัมมันต์ | พื้นที่ผิว (m^2/g) | ปริมาตรรูพรุน (cm^3/g) | | |
|------------------------------|-----------------------------|------------------------|-------------------------------|--------------------------------------|------|
| | | | ขนาดเล็ก ($< 2 \text{ nm}$) | ขนาดกลางและใหญ่ ($> 2 \text{ nm}$) | รวม |
| 0.5 | 42.8 | 1508 | 0.64 (79.0%) | 0.17 | 0.81 |
| 1 | 42.6 | 1764 | 0.70 (65.4%) | 0.37 | 1.07 |
| 1.5 | 41.8 | 1857 | 0.70 (57.4%) | 0.52 | 1.22 |
| 2 | 41.2 | 1714 | 0.66 (58.9%) | 0.46 | 1.12 |



รูปที่ 4.11 ผลของเวลาการแยกสารเคมีต่อร้อยละผลผลิตรวมของถ่านกัมมันต์



รูปที่ 4.12 ไอโซเทิร์มการดูดซับแก๊สในตอรเจนที่อุณหภูมิ $-196^{\circ}C$ ของถ่านกัมมันต์ที่เตรียมจาก สภาวะต่างๆ เพื่อศึกษาผลของเวลาการแช่สารเคมี



รูปที่ 4.13 สมบัติความพุน (ก) พื้นที่ผิว และ (ข) ปริมาตรรูพุนแบ่งตามขนาดต่างๆของถ่านกัมมันต์ที่เตรียมจากสภาวะเวลาการแข็งสารเคมีแตกต่างกัน

4.3 การคุณชับไอน้ำด้วยถ่านกัมมันต์ที่เตรียมได้

เนื่องจากถ่านกัมมันต์ที่เตรียมโดยวิธีกระตุนทางเคมี หรือวิธีกระตุนทางกายภาพ โดยทั่วไป จะพบว่า มีหมู่ฟังก์ชันบนพื้นผิวถ่านกัมมันต์อยู่ในปริมาณหนึ่งเสมอ โดยปริมาณหมู่ฟังก์ชันจะมากหรือน้อยขึ้นสภาวะที่ใช้เตรียมถ่านกัมมันต์⁽³⁸⁻³⁹⁾ การมีหมู่ฟังก์ชันบนพื้นผิวถ่านกัมมันต์ส่งผลให้ถ่านกัมมันต์ซึ่งเดินมีพื้นผิวค่อนข้างเป็นกลางสามารถแสดงสมบัติความมีข้อและสามารถดูดซับสารมีข้อต่างๆได้ดีขึ้น ดังนั้นงานวิจัยนี้จึงนำถ่านกัมมันต์ที่เตรียมได้มาทดสอบการดูดซับไอน้ำซึ่งเป็นสารมีข้อ โดยใช้เครื่องมือ Intelligent Gravimetric Analyzer (IGA) โดยทดลองดูดซับไอน้ำบนถ่านกัมมันต์ที่เตรียมได้สองชนิด โดยถ่านกัมมันต์ชนิดที่หนึ่ง มีพื้นที่ผิวมากกว่า มีลักษณะความพรุนเป็นรูพรุนขนาดเล็ก ขนาดกลาง และขนาดใหญ่ในสัดส่วนใกล้เคียงกัน และมีปริมาณหมู่ฟังก์ชันกรดรวมมากกว่า ส่วนถ่านกัมมันต์ชนิดที่สอง มีพื้นที่ผิวน้อยกว่า มีลักษณะความพรุนเป็นรูพรุนขนาดเล็ก และมีปริมาณหมู่ฟังก์ชันกรดรวมน้อยกว่า รายละเอียดสภาวะการเตรียม สมบัติพื้นผิวและรูพรุน และปริมาณหมู่ฟังก์ชันกรดรวมของถ่านกัมมันต์ทั้งสองชนิดได้แสดงไว้ในตารางที่ 4.5 นอกจากนี้ยังได้แสดงสมบัติของถ่านกัมมันต์ทางการค้า เพื่อเปรียบเทียบกับถ่านกัมมันต์ทั้งสองชนิด ซึ่งถ่านกัมมันต์ทางการค้าชนิดนี้เตรียมจาก calamphewra โดยวิธีการกระตุนทางกายภาพ

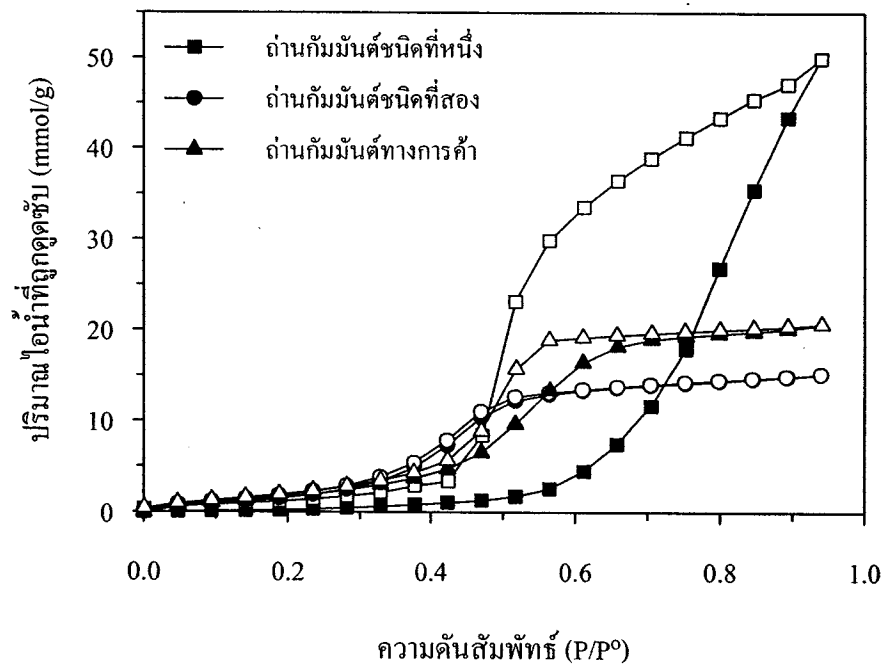
เนื่องจากถ่านกัมมันต์ชนิดที่หนึ่ง ใช้อัตราส่วนสารเคมีต่อวัตถุคุณภาพมากกว่าและเวลาในการแห้งสารเคมีนานกว่า จึงเป็นผลทำให้ถ่านกัมมันต์ชนิดที่หนึ่งมีปริมาตรรูพรุนรวมเกิดขึ้นได้มากและมีปริมาณหมู่ฟังก์ชันกรดรวมมากกว่าถ่านกัมมันต์ชนิดที่สอง สำหรับสมบัติรูพรุนพบว่า ถ่านกัมมันต์ชนิดที่หนึ่ง ซึ่งมีพื้นที่ผิวมากกว่านั้น ประกอบด้วยรูพรุนขนาดเล็ก และรูพรุนขนาดกลางและขนาดใหญ่ ในสัดส่วนที่ใกล้เคียงกัน และมีปริมาตรรูพรุนรวมมากกว่าถ่านกัมมันต์ชนิดที่สองเกือบทั้งหมด (ชนิดที่หนึ่งเท่ากับ $1.22 \text{ cm}^3/\text{g}$) ส่วนถ่านกัมมันต์ชนิดที่สอง ซึ่งมีพื้นที่ผิวน้อยกว่านั้น มีรูพรุนส่วนใหญ่เป็นรูพรุนขนาดเล็ก (94.8%) และมีปริมาตรรูพรุนรวมน้อยกว่า ($0.58 \text{ cm}^3/\text{g}$) เมื่อเปรียบเทียบถ่านกัมมันต์ทั้งสองกับถ่านกัมมันต์ทางการค้า พบร่วมกัน ถ่านกัมมันต์ทางการค้ามีพื้นที่ผิวและปริมาตรรูพรุนน้อยที่สุด ซึ่งสมบัติความพรุนที่แตกต่างกันนี้ อาจเนื่องมาจาก ชนิดของวัตถุคุณภาพและวิธีการเตรียมที่แตกต่างกัน และจากการเปรียบเทียบที่ให้เห็นว่า ไม่มีความต่างกันระหว่างถ่านกัมมันต์ทั้งสามชนิด ในช่วงความดันไอน้ำต่ำ พบร่วมกัน ถ่านกัมมันต์ชนิดที่สองและทางการค้ามีการดูดซับไอน้ำได้

เส้นไอโซเทอร์มการดูดซับไอน้ำที่อุณหภูมิ 30°C ของถ่านกัมมันต์ชนิดที่หนึ่ง ชนิดที่สอง และทางการค้า แสดงเปรียบเทียบกันในรูปที่ 4.14 พบร่วมกัน ถ่านกัมมันต์ชนิดที่หนึ่ง แสดงลักษณะไอโซเทอร์มใกล้เคียงกับแบบที่ 5 (Type V) ส่วนถ่านกัมมันต์ชนิดที่สองและทางการค้ามีลักษณะใกล้เคียงกับแบบที่ 4 (Type IV) เมื่อพิจารณาเฉพาะเส้นดูดซับขาขึ้น (Adsorption branch) แสดงลักษณะการดูดซับไอน้ำอยู่ในช่วงที่มีความดันไอน้ำต่ำ โดยเมื่อเปรียบเทียบกันระหว่างถ่านกัมมันต์ทั้งสามชนิด ในช่วงความดันไอน้ำต่ำ พบร่วมกัน ถ่านกัมมันต์ชนิดที่สองและทางการค้ามีการดูดซับไอน้ำได้

มากกว่า อาจเนื่องมาจากการถ่านกัมมันต์ทึ้งสองชนิดนี้มีการกระจายหมู่ฟังก์ชันกรด ในรูป/runขนาดเล็กอย่างหนาแน่นมากกว่าในถ่านกัมมันต์ชนิดที่หนึ่ง ทำให้เกิดการดูดซับได้เร็วกว่า และสามารถดูดซับไอน้ำจันเต็มรูป/run ได้อย่างรวดเร็ว เห็นได้จากถ่านกัมมันต์ชนิดที่สอง มีการดูดซับที่ค่อนข้างคงที่เมื่อความดันสัมพัทธ์มีค่ามากกว่า 0.5 และของถ่านทางการค้าเมื่อความดันสัมพัทธ์มีค่ามากกว่า 0.7 ดังนั้นกลไกหลักสำหรับการดูดซับไอน้ำของถ่านกัมมันต์ทึ้งสองชนิดนี้ซึ่งประกอบด้วยรูป/runขนาดเล็กเป็นส่วนใหญ่จะขึ้นกับบทบาทของหมู่ฟังก์ชันกรด โดยหมู่ฟังก์ชันเหล่านี้จะอยู่ตรงบริเวณปากทางเข้าของรูป/runขนาดเล็ก ส่วนถ่านกัมมันต์ชนิดที่หนึ่ง ซึ่งมีหมู่ฟังก์ชันกรดในปริมาณที่มากกว่า และพื้นที่พิเศษมากกว่า พนวจว่าในช่วงความดันไอน้ำต่ำมีการดูดซับไอน้ำได้น้อยกว่า อาจเป็นไปได้ว่าถ่านกัมมันต์ชนิดนี้มีการกระจายหมู่ฟังก์ชันกรดในรูป/runขนาดเล็กน้อยกว่าถ่านกัมมันต์ชนิดที่สอง และถ่านกัมมันต์ทางการค้า ทำให้ไม่สามารถใช้ประโยชน์จากหมู่ฟังก์ชันกรด ได้เต็มที่ แต่มีความดันไอน้ำสูงขึ้น พนวจว่าถ่านกัมมันต์ชนิดที่หนึ่งสามารถดูดซับไอน้ำได้มากตามความดันที่เพิ่มขึ้นและมากกว่าถ่านกัมมันต์ชนิดที่สอง และถ่านกัมมันต์ทางการค้า เป็นอย่างมาก ซึ่งอธิบายได้ด้วยสมมุติฐานว่าการดูดซับของถ่านกัมมันต์ชนิดที่หนึ่ง เกี่ยวข้องกับการดูดซับภายในรูป/runขนาดกลาง ซึ่งมีขนาดใหญ่กว่าและปริมาตรมากกว่า โดยที่การดูดซับที่เกิดขึ้นไม่ต้องอาศัยหมู่ฟังก์ชันพื้นผิว เหมือนที่เกิดในรูป/runขนาดเล็กของถ่านกัมมันต์ชนิดที่สอง แต่อาศัยกลไกการบรรจุไมโครกอลไอน้ำเข้าในรูป/runขนาดกลาง โดยตรงที่สภาวะความหนาแน่นหรือความดันสูงๆ โดยเริ่มแรกไมโครกอลไอน้ำภายในรูป/run จะดูดกันเองด้วยพันธะไฮโดรเจนบนแบบหนึ่งต่อหนึ่ง⁽⁴⁰⁾ จากนั้นไมโครกอลไอน้ำที่ถูกดูดซับอยู่ก่อนแล้ว จะดูดซับไมโครกอลไอน้ำอื่น ๆ ด้วยการสร้างพันธะไฮโดรเจนໄດ้อีกหลายพันธะ จึงเกิดการดูดซับแบบหลายชั้นจนเกิดเป็นกลุ่มก้อน (Cluster)⁽²⁴⁾ จากนั้นเมื่อการดูดซับเกิดมากขึ้นจนเต็มรูป/runขนาดกลางในช่วงต่างๆ จะเกิดปรากฏการณ์การดูดซับแบบควบแน่น (Capillary condensation) ซึ่งเป็นกลไกที่สถานะของไอน้ำที่ถูกดูดซับไว้มีลักษณะใกล้เคียงกับของเหลว และมีการยึดเกาะของไมโครกอลไอน้ำอย่างแข็งแรง ทำให้การถ่ายโอนไมโครกอลออกมานำในการลดความดันทำได้ยากขึ้น ส่งผลให้เกิดวงชีสเทอริซิส (Hysteresis loop) ที่มีความกว้างกว่าที่พนในถ่านกัมมันต์ชนิดที่สองและถ่านกัมมันต์ทางการค้า เป็นอย่างมาก (ดูรูป 4.14) ซึ่งพนวจว่าขนาดความกว้างของวงชีสเทอริซิสนี้มีความสัมพันธ์กับขนาดรูป/runคือถ้ารูป/runมีขนาดใหญ่กว่าวงชีสเทอริซิสจะกว้างกว่าในรูป/runที่มีขนาดเล็ก^(41,42)

ตารางที่ 4.5 สภาพการเตรียม สมบัติรูพรุนและเคมีพื้นผิวของถ่านกัมมันต์ที่ศึกษาการดูดซับไอน้ำ

| | ถ่านกัมมันต์ ชนิดที่หนึ่ง | ถ่านกัมมันต์ ชนิดที่สอง | ถ่านกัมมันต์ ทางการค้า |
|---|------------------------------|----------------------------|---------------------------|
| สภาพการเตรียม | | | |
| อัตราส่วนสารเคมีต่อวัตถุคิน | 1.5:1 | 0.5:1 | เตรียมจาก |
| เวลาการแช่สารเคมี (ชั่วโมง) | 1.5 | 1 | วิธีการกระตุ้น |
| อุณหภูมิการคาร์บอนไนซ์ (°C) | 400 | 400 | ทางกายภาพ |
| เวลาการคาร์บอนไนซ์ (ชั่วโมง) | 1 | 1 | |
| สมบัติรูพรุน | | | |
| พื้นที่พิว (m^2/g) | 1857 | 1200 | 923 |
| ปริมาตรรูพรุนขนาดเล็ก (cm^3/g) | 0.70 (57.4%) | 0.55 (94.8%) | 0.37 (82.2%) |
| ปริมาตรรูพรุนขนาดกลางและใหญ่ (cm^3/g) | 0.52 | 0.03 | 0.08 |
| ปริมาตรรูพรุนรวม (cm^3/g) | 1.22 | 0.58 | 0.45 |
| สมบัติเคมีพื้นผิว | | | |
| หมู่ฟังก์ชันกรดรวม (mmol/g) | 2.30 | 0.66 | 1.51 |
| หมู่ฟังก์ชันเบสรวม (mmol/g) | 0.30 | 0.63 | 1.30 |
| หมู่ฟังก์ชัน carboxylic acid (mmol/g) | 0.28 | 0.06 | NA |
| หมู่ฟังก์ชัน lactonic (mmol/g) | 1.25 | 0.43 | NA |
| หมู่ฟังก์ชัน phenolic (mmol/g) | 0.77 | 0.17 | NA |



รูปที่ 4.14 ไอโซเทิร์มการดูดซับไอน้ำที่ 30°C ของถ่านกัมมันต์จากไม้ข้าวสาลีปัตสที่มีสมบัติรูปนูน ต่างกัน และถ่านกัมมันต์ทางการค้า (สัญลักษณ์ทึบ = Adsorption, สัญลักษณ์โปร่ง = Desorption)